

Univerza
v Ljubljani

Fakulteta
*za gradbeništvo
in geodezijo*



Jamova cesta 2
1000 Ljubljana, Slovenija
<http://www3.fgg.uni-lj.si/>

DRUGG – Digitalni repozitorij UL FGG
<http://drugg.fgg.uni-lj.si/>

To je izvirna različica zaključnega dela.

Prosimo, da se pri navajanju sklicujte na
bibliografske podatke, kot je navedeno:

Kristanc, G., 2015. Energijska sanacija
enodružinske hiše z meritvami parametrov
notranje klime pred sanacijo. Diplomska
naloge. Ljubljana, Univerza v Ljubljani,
Fakulteta za gradbeništvo in geodezijo.
(mentor Kunič, R., somentorica Dovjak,
M.): 80 str.

Datum arhiviranja: 04-01-2016

University
of Ljubljana

Faculty of
*Civil and Geodetic
Engineering*



Jamova cesta 2
SI – 1000 Ljubljana, Slovenia
<http://www3.fgg.uni-lj.si/en/>

DRUGG – The Digital Repository
<http://drugg.fgg.uni-lj.si/>

This is original version of final thesis.

When citing, please refer to the publisher's
bibliographic information as follows:

Kristanc, G., 2015. Energijska sanacija
enodružinske hiše z meritvami parametrov
notranje klime pred sanacijo. B.Sc. Thesis.
Ljubljana, University of Ljubljana, Faculty
of civil and geodetic engineering.
(supervisor Kunič, R., co-supervisor
Dovjak, M.): 80 pp.

Archiving Date: 04-01-2016



Kandidat:

GREGOR KRISTANC

ENERGIJSKA SANACIJA ENODRUŽINSKE HIŠE Z MERITVAMI PARAMETROV NOTRANJE KLIME PRED SANACIJO

Diplomska naloga št.: 523/KS

ENERGY REFURBISHMENT OF A SINGLE - FAMILY HOUSE WITH INDOOR CLIMATE PARAMETERS MEASUREMENTS BEFORE THE REFURBISHMENT

Graduation thesis No.: 523/KS

Mentor:
doc. dr. Roman Kunič

Somentorica:
doc. dr. Mateja Dovjak

Ljubljana, 21. 12. 2015

STRAN ZA POPRAVKE, ERRATA

Stran z napako

Vrstica z napako

Namesto

Naj bo

IZJAVE

Podpisani, Gregor Kristanc, izjavljam, da sem avtor diplomske naloge z naslovom »ENERGIJSKA SANACIJA ENODRUŽINSKE HIŠE Z MERITVAMI PARAMETROV NOTRANJE KLIME PRED SANACIJO«.

Izjavljam, da je elektronska različica v vsem enaka tiskani različici.

Izjavljam, da dovoljujem objavo elektronske razlike v digitalnem repozitoriju.

Radeč, 10.12.2015

Gregor Kristanc

BIBLIOGRAFSKO – DOKUMENTACIJSKA STRAN IN IZVLEK

UDK: 699.8:728.3(497.4)(043.2)

Avtor: Gregor Kristanc

Mentor: doc.dr. Roman Kuni

Somentorica: doc.dr. Mateja Dovjak

Naslov: Energijska sanacija enodružinske hiše z meritvami
parametrov notranje klime pred sanacijo

Tip dokumenta: diplomska naloga - visokošolski študijski program

Obseg in oprema: 80 str., 73 pregl., 35 sl., 16 graf.

Ključne besede: meritve notranje klime, TEDI, TOST, parametri rabe energije,
PURES 2010, koeficient specifičnih transmisijskih toplotnih
izgub, udobje bivanja

POVZETEK

V diplomski nalogi obravnavam obstoje o energijsko potratno dvoetažno družinsko hišo, zgrajeno v 70. letih. Zgrajena je v skladu s takratno veljavno zakonodajo, je brez toplotne izolacije, glavna materiala konstrukcije pa sta naravni kamen in opeka.

Namen diplomskega dela je izvesti analizo v pogledu gradbene fizike, parametrov rabe energije in meritev izbranih parametrov notranje klime za obstoječe stanje. Z meritvami notranje klime sem pridobil realne iskane vrednosti parametrov obstoječe stanja, ki jih bom primerjal z izračunanimi vrednostmi iz programa TEDI. Ugotoviti želim, v kakšnem velikostnem redu so unske vrednosti odstopajo od izmerjenih. Podatke bom uporabil za izračun parametrov rabe energije, ki jih bom določil s programom TOST. Pri parametrih rabe energije sem se osredotočil samo na pogoj koeficiente specifičnih transmisijskih toplotnih izgub, ki je določen v pravilniku o uinkovitih rabi energije v stavbah (PURES 2010). Koeficient specifičnih transmisijskih toplotnih izgub bo pokazatelj, za koliko obstoječi objekt odstopa od zakonske zahteve. Z namenom izboljšanja notranje klime, posledi so izboljšanja udobja bivanja in z gradbeno-fizikalnega vidika bom na podlagi ugotovitev obstoječe stanje predlagal sanacijske ukrepe. Vrednosti za prenovljeno stanje bom ponovno izračunal s programoma TEDI in TOST in jih primerjal z obstoječim stanjem.

BIBLIOGRAPHIC - DOCUMENTALISTIC INFORMATION AND ABSTRACT

UDK: 699.8:728.3(497.4)(043.2)

Author: Gregor Kristanc

Supervisor: Asist. Prof. Roman Kuni , Ph. D.

Cosupervisor: Asist. Prof. Mateja Dovjak, Ph. D.

Title: Energy refurbishment of a single-family house with indoor climate parameters measurements before the refurbishment

Document type: Graduation Thesis – Higher professional studies

Scope and tools: 80 str., 73 pregl., 35 sl., 16 graf.

Keywords: measurement of indoor climate, TEDI, TOST, energy consumption parameters, PURES 2010, The heat transmission coefficient, comfort of living

ABSTRACT

In my diploma thesis I am dealing with an existing energy non-efficient two-storey family house built in the 1970's. The house was built in accordance with the established building regulations at that time, has no thermal insulation, and the main building materials of the construction are natural stone and brick.

The purpose of my diploma thesis is to perform an analysis of the constructional physics parameters, energy consumption parameters, and to measure the selected parameters of the indoor climate for the existing condition. I used the measurements of the indoor climate to get real desired values of the existing condition parameters which will be compared to the values calculated by TEDI program. I would like to find out, in what order of magnitude the computational values deviate from the measured ones. I intend to use these data to calculate the energy consumption parameters which I will determine using the TOST program.

When calculating the energy usage parameters I focused only on the coefficient's condition of the specific transmission heat losses which is defined in the Slovenian energy-efficient building act (PURES 2010). The heat transmission coefficient will indicate how an existing object deviates from the regulatory requirement. With the intention of improving the indoor climate, thus consequently improving the comfort of living, and from the constructional and physical point of view remedial measures will be proposed based on my findings. I will recalculate the values of the renewed condition using TEDI and TOST programs, and then compare them with an existing condition.

ZAHVALA

Zahvaljujem se mentorju doc. dr. Kuni Romanu in somentorici doc.dr. Dovjak Mateji za vso strokovno pomo , konstruktivne nasvete, pozitiven odnos in usmerjanje pri pisanju diplomske naloge.

Zahvaljujem se vsem prijateljem in sošolcem, ki so mi tekom celotnega študija pomagali, da sem dosegel svoj zastavljeni cilj.

Iskrena hvala tudi Bredi, Anki in Luki, ki so mi omogo ili obravnavo njihove stavbe, izvajanje meritev in mi priskrbeli vse informacije potrebne za obdelavo.

Nazadnje se zahvaljujem tudi družini in svojemu dekletu za vso finan no in moralno podporo v asu študija in pisanja diplomskega dela.

Kazalo vsebine

1. UVOD	1
2. CILJI DIPLOMSKE NALOGE IN HIPOTEZA	2
3. OBRAVNAVAN PRIMER ENERGETSKO POTRATNE HIŠE	2
3.1 Opis stavbe	2
4. TEORETIČNO OZADJE	4
4.1 Toplotna prehodnost U [W/m ² K]	4
4.1.1 Toplotni tok P [W]	5
4.1.2 Toplotna prevodnost λ [W/mK]	6
4.1.3 Toplotna prehodnost plasti U [W/m ² K]	6
4.1.4 Prestopni koeficient meje zračne plasti α [W/m ² K]	7
4.1.5 Toplotni upor mejne plasti R_i [m ² K/W]	7
4.1.6 Toplotni upor konstrukcijskega sklopa R_k [m ² K/W]	8
4.2 DIFUZIJA VODNE PARE	9
4.2.1 Pogoji za difuzijo vodne pare	9
4.2.2 Nastanek kondenza pri difuziji vodne pare	10
4.2.2.1 Primer kondenzacije v ravnini	11
4.2.2.2. Primer kondenzacije v plasti	11
4.2.3 izsuševanje v primeru nastanka kondenza	12
4.2.2.3. Izsuševanje v primeru nastanka kondenza v ravnini	12
4.2.2.4 Izsuševanje v primeru kondenza v plasti	13
5.0 UDOBNE BIVALNE RAZMERE	14
5.1 Toplotno okolje	16
5.2 Kakovost zraka	21
6.0 METODOLOGIJA	23
6.1 Parametri gradbene fizike	23
6.2 Parametri rabe energije	23
6.3 Meritve izbranih parametrov notranje klime	23
6.3.1 Opis in uporaba merilnih inštrumentov	25

6.3.1.1 VOLTCRAFT Infrarot-Thermometer IR 900-30S.....	25
6.3.1.2 VOLTCRAFT DT 8820	26
6.4 Zakonske zahteve	28
6.4.1 Uporabljene ključne zahteve za primerjavo obstoječega stanja z prenovo	28
7.0 SESTAVA, TOPLITNA PREHODNOST IN DIFUZIJA VODNE PARE OBSTOJEČIH KONSTRUKCIJSKIH SKLOPOV (TEDI)	29
7.1 Zunanja stena v pritličju do kote +0.75 m	29
7.2 Zunanja stena v pritličju nad koto +0.75 m	30
7.3 Zunanja stena v nadstropju	30
7.4 Tla v pritličju	31
7.5 Plošča med pritličjem in nadstropjem	31
7.6 Plošča med nadstropjem in podstrešjem	32
7.7 Specifične transmisijske izgube H_T	33
8.0 PRIMERJAVA MERITEV IN REZULTATI IZ PROGRAMA TEDI.....	36
8.1 Rezultati terenskih meritev in primerjava rezultatov iz programa TEDI na dan 23. 2. 2015.....	36
8.2 Rezultati terenskih meritev in primerjava rezultatov iz programa TEDI na dan 25. 2. 2015.....	39
8.3 Rezultati terenskih meritev in primerjava rezultatov iz programa TEDI na dan 27. 2. 2015.....	42
8.4 Rezultati terenskih meritev in primerjava rezultatov iz programa TEDI na dan 1. 3. 2015.....	45
8.5 Rezultati terenskih meritev in primerjava rezultatov iz programa TEDI na dan 8. 3. 2015.....	48
8.6 Rezultati terenskih meritev in primerjava rezultatov iz programa TEDI na dan 13. 3. 2015.....	51
8.7 Rezultati terenskih meritev in primerjava rezultatov iz programa TEDI na dan 19. 3. 2015.....	54
9.0 GLIVE IN NJIHOV VPLIV NA ZDRAVJE LJUDI V NJIHOVEM BIVALNEM OKOLJU	57
10.0 ZASNOVA PRENOVLJENIH KONSTRUKCIJSKIH SKLOPOV	59
10.1 Prenovljen zunanji zid v pritličju do višinske kote +0,75 m.....	59

10.2 Prenovljen zunanji zid v pritli ju nad višinsko koto +0,75 m	60
10.3 Prenovljen zunanji zid v nadstropju	61
10.4 Prenovljen tlak v pritli ju	62
10.5 Prenovljen strop na neogrevano podstrešje.....	62
11.0 REZULTATI	65
12. ZAKLJU EK	75

Kazalo slik

Slika 1: Pogled na južno fasado (lasten vir), 2014	3
Slika 2: Pogled na vzhodno fasado (lasten vir, 2014)	4
Slika 3: Grafi na ponazoritev toplotne prevodnosti materiala [8]	6
Slika 4: Grafi na ponazoritev toplotnega upora plasti [8].....	7
Slika 5: Grafi na ponazoritev zaporedne vezave toplotnih uporov v konstrukcijskem sklopu (lasten vir, 2014)	8
Slika 6: Toplotna prestopnost mejne zra ne plasti na zunanji in notranji strani [8].....	8
Slika 7: Grafi na ponazoritev skupnega upora konstrukcijskega sklopa [8].	9
Slika 8: Grafi en prikaz razlike parnih tlakov in potek parnega toka [8]	10
Slika 9: Grafi en prikaz nastanka kondenza v ravnini [8].....	11
Slika 10: Grafi en prikaz nastanka kondenza v plasti [8].....	11
Slika 11: Grafi en prikaz izsuševanja v primeru kondenza v ravnini (poletno obdobje) [8] ...	12
Slika 12: Grafi en prikaz izsuševanja v primeru kondenza v plasti (poletno obdobje) [8]	13
Slika 13: Dejavni, ki vplivajo na stopnjo udobja bivanja [14]	15
Slika 14: Grafi ni prikaz obmo ja notranjega okolja bivalne cone [16].....	16
Slika 15: Prikaz udobja v odvisnosti od temperature zraka in površinske temperature pri projektni zunanji temperaturi -10 °C [14]	18
Slika 16: Prikaz u inkovitosti razli nih tipov naravnega prezra evanja [14].....	21
Slika 17: Prikaz tipi nih koncentracij CO ₂ in njihovega vpliva na loveka [14]	22
Slika 19: Merilni inštrument VOLTCRAFT Infrarot-Thermometer IR 900-30S [25].....	25
Slika 18: Razmerje oddaljenost merjenja merilna površina (D/S) [26]	25
Slika 20: Merilni inštrument VOLTCRAFT DT 8820 [27].....	26
Slika 21: Prikaz izmerjenih meritev 23. 2. 2015 v spalnici pritli ja. V rumenih okvir kih je prikazana povpre na površinska temperatura [°C] na notranji strani KS	36

Slika 22: Prikaz izmerjenih meritev 23. 2. 2015 v dnevnem prostoru nadstropja. V rumenih okvir kih je prikazana povpre na površinska temperatura [°C] na notranji strani KS	37
Slika 23: Prikaz izmerjenih meritev 25. 2. 2015 v spalnici pritli ja. V rumenih okvir kih je prikazana povpre na površinska temperatura [°C] na notranji strani KS.....	39
Slika 24: Prikaz izmerjenih meritev 25. 2. 2015 v dnevnem prostoru nadstropja. V rumenih okvir kih je prikazana povpre na površinska temperatura [°C] na notranji strani KS	40
Slika 25: Prikaz izmerjenih meritev 27. 2. 2015 v spalnici pritli ja. V rumenih okvir kih je prikazana povpre na površinska temperatura [°C] na notranji strani KS.....	42
Slika 26: Prikaz izmerjenih meritev 27. 2. 2015 v dnevnem prostoru nadstropja. V rumenih okvir kih je prikazana povpre na površinska temperatura [°C] na notranji strani KS	43
Slika 27: Prikaz izmerjenih meritev 1. 3. 2015 v spalnici pritli ja. V rumenih okvir kih je prikazana povpre na površinska temperatura [°C] na notranji strani KS	45
Slika 28: Prikaz izmerjenih meritev 1. 3. 2015 v dnevnem prostoru nadstropja. V rumenih okvir kih je prikazana povpre na površinska temperatura [°C] na notranji strani KS.....	46
Slika 29: Prikaz izmerjenih meritev 8. 3. 2015 v spalnici pritli ja. V rumenih okvir kih je prikazana povpre na površinska temperatura [°C] na notranji strani KS	48
Slika 30: Prikaz izmerjenih meritev 8. 3. 2015 v dnevnem prostoru nadstropja. V rumenih okvir kih je prikazana povpre na površinska temperatura [°C] na notranji strani KS.....	49
Slika 31: Prikaz izmerjenih meritev 13. 3. 2015 v spalnici pritli ja. V rumenih okvir kih je prikazana povpre na površinska temperatura [°C] na notranji strani KS	51
Slika 32: Prikaz izmerjenih meritev 13. 3. 2015 v dnevnem prostoru nadstropja. V rumenih okvir kih je prikazana povpre na površinska temperatura [°C] na notranji strani KS.....	52
Slika 33: Prikaz izmerjenih meritev 19. 3. 2015 v spalnici pritli ja. V rumenih okvir kih je prikazana povpre na površinska temperatura [°C] na notranji strani KS	54
Slika 34: Prikaz izmerjenih meritev 19. 3. 2015 v dnevnem prostoru nadstropja. V rumenih okvir kih je prikazana povpre na površinska temperatura [°C] na notranji strani KS	55
Slika 35: Slika plesni v delu zidu z nizko površinsko temperaturo (lasten vir, 2015)	65

Kazalo preglednic

Preglednica 1: Ključni dejavniki, ki vplivajo na udobje [12]	14
Preglednica 2: Kategorizacija notranjega okolja [15]	15
Preglednica 3: Kategorije toplotnega okolja [17]	16
Preglednica 4: Kategorije notranjega toplotnega okolja, izražene z vrednostmi PMV in PPD [15]	17
Preglednica 5: Prikaz akovan odstotek nezadovoljnih v odvisnosti od vertikalnega gradienta temperature zraka [18].....	19
Preglednica 6: Prikaz udobja v odvisnosti od temperature zraka in hitrosti gibanja zraka [14]	20
Preglednica 7: Prikaz udobja v odvisnosti med relativno vlažnostjo in temperaturo notranjega zraka [14].....	20
Preglednica 8: Dopustne koncentracije notranjih onesnaževalcev zraka [13].....	22
Preglednica 9: Primer delovnega lista za pritličje (prikazan en prostor).....	24
Preglednica 10: Primer delovnega lista za meritve v nadstropju (prikazan en prostor)	24
Preglednica 11: Emisivnost materialov v merilniku VOLTCRAFT Infrarot-Thermometer IR 900-30S [26]	26
Preglednica 12: Tehnični podatki in meritne tolerance VOLTCRAFT DT 8820 [28]	27
Preglednica 13: Tabela toplotne prehodnosti [23]	28
Preglednica 14: Zunanji zid v pritličju do višinske kote +0,75 m	29
Preglednica 15: Zunanji zid v pritličju od višinske kote +0,75 m	30
Preglednica 16: Zunanji zid v nadstropju.....	30
Preglednica 17: Tla v pritličju	31
Preglednica 18: Plošča med pritličjem in nadstropjem	32
Preglednica 19: Plošča med nadstropjem in podstrešjem	32
Preglednica 20: Klimatski podatki iz programa TOST [6].....	34
Preglednica 21: Podatki o mejah obeh con iz programa TOST [6]	34
Preglednica 22: Seznam odprtin po posameznih conah iz programa TOST [6].....	35
Preglednica 23: Rezultat iz programa TOST [6], koeficient specifičnih transmisijskih toplotnih izgub stavbe.....	35
Preglednica 24: Izračunane površinske temperature na stikih plasti v [°C] (KS zid pod koto +0,8 m) 23. 2. 2015.....	36
Preglednica 25: Izračunane površinske temperature na stikih plasti v [°C] (KS zid nad koto +0,8 m) 23. 2. 2015.....	36

Preglednica 26: Izra unane površinske temperature na stikih plasti v [°C] (KS tla na terenu) 23. 2. 2015.....	36
Preglednica 27: Izra unane površinske temperature na stikih plasti v [°C] (KS medetažna ploš a) 23. 2. 2015	37
Preglednica 28: Izra unane površinske temperature na stikih plasti v [°C] (KS zid v nadstropju) 23. 2. 2015.....	37
Preglednica 29: Izra unane površinske temperature na stikih plasti v [°C] (KS ploš a proti podstrešju) 23. 3. 2015	38
Preglednica 30: Izra unane površinske temperature na stikih plasti v [°C] (KS zid pod koto +0,8 m) 25. 3. 2015.....	39
Preglednica 31: Izra unane površinske temperature na stikih plasti v [°C] (KS zid nad koto +0,8 m) 25. 3. 2015.....	39
Preglednica 32: Izra unane površinske temperature na stikih plasti v [°C] (KS tla na terenu) 25. 3. 2015.....	40
Preglednica 33: Izra unane površinske temperature na stikih plasti v [°C] (KS medetažna ploš a) 25. 3. 2015	40
Preglednica 34: Izra unane površinske temperature na stikih plasti v [°C] (KS zid v nadstropju) 25. 3. 2015	41
Preglednica 35: Izra unane površinske temperature na stikih plasti v [°C] (KS ploš a proti podstrešju) 25. 3. 2015	41
Preglednica 36: Izra unane površinske temperature na stikih plasti v [°C] (KS zid pod koto +0,8 m) 27. 3. 2015.....	42
Preglednica 37: Izra unane površinske temperature na stikih plasti v [°C] (KS zid nad koto +0,8 m) 27. 3. 2015.....	42
Preglednica 38: Izra unane površinske temperature na stikih plasti v [°C] (KS tla na terenu) 27. 3. 2015.....	43
Preglednica 39: Izra unane površinske temperature na stikih plasti v [°C] (KS medetažna ploš a) 27. 3. 2015	43
Preglednica 40: Izra unane površinske temperature na stikih plasti v [°C] (KS zid v nadstropju) 27. 3. 2015	44
Preglednica 41: Izra unane površinske temperature na stikih plasti v [°C] (KS ploš a proti podstrešju) 27. 3. 2015	44
Preglednica 42: Izra unane površinske temperature na stikih plasti v [°C] (KS zid pod koto +0,8 m) 1. 3. 2015.....	45

Preglednica 43: Izra unane površinske temperature na stikih plasti v [°C] (KS zid nad koto +0,8 m) 1. 3. 2015.....	45
Preglednica 44: Izra unane površinske temperature na stikih plasti v [°C] (KS tla na terenu) 1. 3. 2015.....	46
Preglednica 45: Izra unane površinske temperature na stikih plasti v [°C] (KS medetažna ploš a) 1. 3. 2015	46
Preglednica 46: Izra unane površinske temperature na stikih plasti v [°C] (KS zid v nadstropju) 1. 3. 2015	47
Preglednica 47: Izra unane površinske temperature na stikih plasti v [°C] (KS ploš a proti podstrešju) 1. 3. 2015	47
Preglednica 48: Izra unane površinske temperature na stikih plasti v [°C] (KS zid pod koto 48	
Preglednica 49: Izra unane površinske temperature na stikih plasti v [°C] (KS zid nad koto +0,8 m) 8. 3. 2015.....	48
Preglednica 50: Izra unane površinske temperature na stikih plasti v [°C] (KS tla na terenu) 8. 3. 2015.....	49
Preglednica 51: Izra unane površinske temperature na stikih plasti v [°C] (KS medetažna ploš a) 8. 3. 2015	49
Preglednica 52: Izra unane površinske temperature na stikih plasti v [°C] (KS zid v nadstropju) 8. 3. 2015	50
Preglednica 53: Izra unane površinske temperature na stikih plasti v [°C] (KS ploš a proti podstrešju) 8. 3. 2015	50
Preglednica 54: Izra unane površinske temperature na stikih plasti v [°C] (KS zid pod koto +0,8 m) 13. 3. 2015.....	51
Preglednica 55: Izra unane površinske temperature na stikih plasti v [°C] (KS zid nad koto +0,8 m) 13. 3. 2015.....	51
Preglednica 56: Izra unane površinske temperature na stikih plasti v [°C] (KS tla na terenu) 13. 3. 2015.....	52
Preglednica 57: Izra unane površinske temperature na stikih plasti v [°C] (KS medetažna ploš a) 13. 3. 2015	52
Preglednica 58: Izra unane površinske temperature na stikih plasti v [°C] (KS zid v nadstropju) 13. 3. 2015	53
Preglednica 59: Izra unane površinske temperature na stikih plasti v [°C] (KS ploš a proti podstrešju) 13. 3. 2015	53
Preglednica 60: Izra unane površinske temperature na stikih plasti v [°C] (KS zid pod koto +0,8 m) 19. 3. 2015.....	54

Preglednica 61: Izra unane površinske temperature na stikih plasti v [°C] (KS zid nad koto +0,8 m) 19. 3. 2015.....	54
Preglednica 62: Izra unane površinske temperature na stikih plasti v [°C] (KS tla na terenu) 19. 3. 2015.....	55
Preglednica 63: Izra unane površinske temperature na stikih plasti v [°C] (KS medetažna ploš a) 19. 3. 2015	55
Preglednica 64: Izra unane površinske temperature na stikih plasti v [°C] (KS zid v nadstropju) 19. 3. 2015	56
Preglednica 65: Izra unane površinske temperature na stikih plasti v [°C] (KS ploš a proti podstrešju) 19. 3. 2015	56
Preglednica 66: Vpliv gliv (plesni) na zdravje ljudi pri razli nih študijah [29]	57
Preglednica 67: Prenovljen zunanji zid v pritli ju do višinske kote +0,75 m.....	60
Preglednica 68: Prenovljen zunanji zid v pritli ju nad višinsko koto +0,75 m.....	60
Preglednica 69: Prenovljen zunanji zid nadstropju.....	61
Preglednica 70: Prenovljen tlak v pritli ju	62
Preglednica 71: Prenovljen strop na neogrevanem podstrešju.....	63
Preglednica 72: Rezultat iz programa TOST, koeficient specifi nih transmisijskih topotnih izgub stavbe s prenovljenimi konstrukcijskimi sklopi	64
Preglednica 73: Primerjava H_T obstoje ega in prenovljenega stanja z maksimalnim dovoljenim [6]	71

Kazalo grafov

Grafikon 1: Potek temperature skozi sloje obstoje ega zidu v pritli ju do kote +0,75 m [6] ..	66
Grafikon 2: Potek temperature skozi sloje prenovljenega zidu v pritli ju do kote +0,75 m [6]	66
Grafikon 3: Potek temperature skozi sloje obstoje ega zidu v pritli ju nad koto +0,75 m [6]	67
Grafikon 4: Potek temperature skozi sloje prenovljenega zidu v pritli ju nad koto +0,75 m [6]	67
Grafikon 5: Potek temperature skozi sloje obstoje ega tlaka v pritli ju [6].....	68
Grafikon 6: Potek temperature skozi sloje prenovljenega tlaka v pritli ju [6]	68
Grafikon 7: Potek temperature skozi sloje obstoje ega zidu v nadstropju [6]	69
Grafikon 8: Potek temperature skozi sloje prenovljenega zidu v nadstropju [6]	69
Grafikon 9: Potek temperature skozi sloje obstoje e stropne ploš e proti neogrevanemu podstrešju [6]	70

Grafikon 10: Potek temperature skozi sloje prenovljene stropne plošče proti neogrevanemu podstrešju [6]	70
Grafikon 11: Graf parnih tlakov obstoječe zidu v pritliju do kote +0,75 m [6]	72
Grafikon 12: Graf parnih tlakov prenovljenega zidu v pritliju do kote +0,75 m [6]	72
Grafikon 13: Graf parnih tlakov obstoječe zgornje plošče proti neogrevanemu podstrešju [6]	73
Grafikon 14: Graf parnih tlakov prenovljene plošče proti neogrevanemu podstrešju [6]	73
Grafikon 15: Graf parnih tlakov obstoječe zunanjega zidu v nadstropju [6]	74
Grafikon 16: Graf parnih tlakov obnovljenega zunanjega zidu v nadstropju [6]	74

1. UVOD

Analiza Gospodarsko interesnega združenja (GIZ) proizvajalcev fasadnih sistemov in topotnih izolacij in Gradbenega inštituta ZRMK, izvedena v letu 2011, je pokazala, da v Sloveniji kar 81 odstotkov stavbnega fonda potrebuje obnovo. To predstavlja okoli 14 milijonov kvadratnih metrov fasad, za njihovo obnovo pa bi bilo potrebnih 600 milijonov evrov. Obnova predstavlja torej veliko priložnost za spodbujanje rasti gospodarstva in nova delovna mesta, rešitev energetskega, konstrukcijskega in tudi okoljskega problema [1]. Obnova naj bo celovita, da se doseže energetsko varnost in hkrati tudi udobne in zdrave bivalne ter delovne razmere [2].

V diplomskem delu bom obravnaval energijsko potratno hišo, zgrajeno v 70. letih preteklega stoletja. Gradnja hiš do sredine sedemdesetih let je po kvaliteti gradnje z vidika porabe energije celo nazadovala od stavb, grajenih do leta 1940. V tem obdobju projektiranja in izgradnje stavbe ni bilo posebnih predpisov o obvezni namestitvi topotno izolativnih slojev v posamezne konstrukcijske sklope niti glede varovanja z energijo v stavbah. Veina zgradb je grajena iz naravnega kamna, prevodnega armiranega betona, modularne opeke, zidakov iz žlindre in elektrolitskega pepela. Posledi no so se zmanjšale debeline zidov. Ker niso uporabljali izolacijskih materialov, so potrebne energetske sanacije. Topotne izgube skozi ovoj stavbe predstavljajo več kot polovico vseh topotnih izgub, kjer je delež izgub skozi fasado do 35 % [3]. Že samo z izolacijo fasade torej bistveno zmanjšamo stroške za ogrevanje in hlajenje, zmanjšamo vplive na okolje in odvisnost od energetskih virov. Pri izbiri fasade je potrebno imeti v mislih, da obnavljamo objekt, zato se je potrebno prilagoditi dani situaciji. Ko se odločimo za izolacijo, je potrebno premisliti, kje jo bomo namestili, kakšna bo njena debelina in katere materiale bomo uporabili. Dobro se moramo zavedati dejstva, da z uinkovito zatesnitvijo objektov pogosto ustvarimo problem slabše kakovosti zraka. Bistvenega pomena je, da načrtujemo po postopku bioklimatskega načrtovanja, upoštevajoč značilnosti lokacije, optimalno orientacijo stavbe, organizacijo prostorov, optimalno zasnovovanje stavbe in konstrukcijskih sklopov, vgradnjo in uinkovitih sistemov ogrevanja, hlajenja in prezračevanja, pa vse do osveščanja uporabnikov v smeri varnosti ne rabiti energije [4]. Na nivoju ovoj stavbe izberemo primerno izolacijo za našo stavbo in sestavimo konstrukcijski sklop (v nadaljevanju KS) tako, da starih zidov difuzijsko ne zapremo. Stavba se gradi ali prenavlja z namenom zagotavljanja udobnih, zdravih, bivalnih ter delovnih razmer in ne samo z namenom varovanja z energijo [2].

2. CILJI DIPLOMSKE NALOGE IN HIPOTEZA

Z namenom diplomske naloge sem si zastavil naslednje cilje:

1. izra unati parametre gradbene fizike s programom TEDI [5] (površinska temperatura, toplotna prevodnost, difuzijo vodne pare),
2. izra unati parametre rabe energije s programom TOST [6] (specifične toplotne izgube).
3. izmeriti izbrane parametre notranje klime (površinska temperatura konstrukcijskih sklopov, temperatura in vlažnost zraka),
4. izra unane in izmerjene parametre primerjati z zakonskimi zahtevami,
5. na podlagi ugotovitev predlagati sanacijske ukrepe z vidika notranje klime in gradbeno-fizikalnih parametrov.

Predvidevam, da toplotna prehodnost obstoječih KS močno odstopa od dovoljenih zakonskih zahtev. KS brez toplotne izolacije bodo v naselju kurične sezone verjetno imeli nizko površinsko temperaturo. Nevarnost nizke površinske temperature sten je kondenziranje notranje vlage in posledi no nastanek ter rast plesni, zato predvidevam, da bom našel mesta, kjer prihaja do nastanka in razvoja gliv. Predvidevam, da zaradi neizoliranosti KS prihaja do velikih specifičnih izgub. Menim, da bodo meritve pokazale podobne rezultate parametrov gradbene fizike, kot jih bom dobil z uporabo programa TEDI [5]. Po sanacijskih ukrepih pa pri akujem dokaz izboljšav gradbeno-fizikalnih parametrov in posledi no notranje klime. Z izračunom specifičnih toplotnih izgub s programom TOST [6], obstoječe stanja in prenovljenega stanja pa pri akujem, da dokažem slabo stanje obstoječe objekta in nujo po sanaciji.

3. OBRAVNAVAN PRIMER ENERGETSKO POTRATNE HIŠE

3.1 Opis stavbe

V diplomskem delu sem obravnaval dvoetažno družinsko hišo. Pritli je delno vkopano v teren in je bilo prvotno projektirano kot ne-bivalno (klet, kuričnica, shramba, garaža). Kasneje so pritlije delno preuredili za bivalne prostore z minimalnimi gradbenimi posegi. Obstaja a tla iz zemlje so izkopali, nasuli 20 cm drenažnega peska, na katerega so naredili betonski estrih in finalne obloge. Sedaj v pritliju, velikem $96,5 \text{ m}^2$, biva mlad par. Celotno pritlije, razen kuričnice, ogrevata na 22°C . Ovoj pritliju je v treh fasadah do višine 75 cm pozidano s kamenjem, višje pa ometano s plemenitim fasadnim ometom debeline 6 cm. Zadnja fasada je do višine 90 cm vkopana v teren. Etaža je v celoti nad terenom in je ločena od pritlija z montažno opeko montažno ploščo. V njem prebiva lastnica, ki se večino časa zadržuje v

kuhinji, v večernem času pa v dnevnom prostoru. Spalnice in sobe za goste pozimi ne ogreva, ostale prostore pa ogreva na 21 °C. V poletnem času za zaščito pred sončnim sevanjem uporablja zunanje rolete, ki so navite v leseni škatli in pritrjene na zunani okvir lesenega okna. Ovoj nadstropja je zgrajen iz polne opeke in ometan s plemeniti fasadnim ometom debeline 6 cm. Nad pritličjem je ne-bivalno in neogrevano podstrešje, ki je ločeno od nadstropja s podobno montažno montažno ploščo, kateri so kasneje dodali še 5 cm topotne izolacije (stiropor) in pohodni estrih 5 cm. Ostrešje je neizolirano in pokrito z betonskimi strešniki. Okna so v celotnem objektu narejena iz dveh slojev. Med enim in drugim krilom je zrak, celotno okno pa je zastekljeno z enojnim steklom. Nad oknom je lesena škatla za rolete, ki je znova pomaknjena z rob okvirja, zunaj pa je obdelana v fasadni omet. Celotna hiša se ogreva s pomočjo na kurično olje preko centralnega ogrevanja z radiatorji v posameznih prostorih. Za ogrevanje sanitarnih voda uporabljajo solarne kolektorje, ki jih v primeru slabega vremena nadomestijo z ogrevanjem vode z električno energijo.



Slika 1: Pogled na južno fasado (lasten vir), 2014



Slika 2: Pogled na vzhodno fasado (lasten vir, 2014)

4. TEORETI NO OZADJE

4.1 Toplotna prehodnost U [W/m²K]

Prehod toplotne skozi stavbni ovoj kontroliramo zaradi zagotavljanja im manjših toplotnih izgub na ravni standardov in zagotavljanja prijetnih bivalnih razmer v prostorih. Za toplotno izolativnost konstrukcijskega sklopa uporabimo toplotno prehodnost ali U faktor [W/(m²K)], ki nam predstavlja toplotni tok skozi 1 m² sklopa pri temperaturni razliki 1 K na obeh straneh sklopa. Iz tega lahko ugotovimo, da je toplotna prehodnost enaka inverzni vrednosti toplotnega upora R [m²K/W].

Osnovne fizikalne koli inje za ra un prehoda toplotne skozi konstrukcijske sklope [7]:

- toplotni tok (P) [W],
- toplotna prevodnost (λ) [W/mK],
- toplotna prehodnost celotnega KS (U) [W/m²K],
- prestopni koeficient meje zra ne plasti (α) [W/m²K],
- toplotni upor mejne plasti (R_i) [m²K/W],
- toplotni upor konstrukcijskega sklopa (R_k) [m²K/W].

4.1.1 Toplotni tok P [W]

»Toplotni tok je premo sorazmeren s temperaturno razliko in s pre nim prerezom ter obratno sorazmeren z dolžino, na kateri je temperaturna razlika.« Toplotni tok vedno odteka s toplejših mest na hladnejša mesta in zmanjuje toplotne razlike v snovi, torej je pogoj za njegov pretok temperaturna razlika. Za izra un toplotne prehodnosti predpostavimo stacionarno temperaturno stanje, kar pomeni, da so v snovi stalne temperaturne razlike. Iz tega lahko predpostavimo, da skozi vsak pre ni prerez snovi te e dolo en toplotni tok. Kolikršen toplotni tok priteka v snov na eni strani, takšen na drugi iz nje odteka [7].

$$P = Q/t \quad [\text{J/s}=\text{W}].$$

Toplotni tok skozi površino konstrukcijskega sklopa dolo imo na slede na in: [9]

- gostota toplotnega toka je koli nik toplotnega toka in površine ploskve skozi katero tok te e

$$q = U^*(T_N - T_Z) \quad [\text{W/m}^2],$$

U ... toplotna prehodnost ali U faktor [$\text{W/m}^2\text{K}$],

$(T_N - T_Z)$... temperaturna razlika med notranjim in zunanjim zrakom [K]

- koeficient toplotnih transmisijskih izgub celotnega konstrukcijskega sklopa

$$H_t = A^* U \quad [\text{W/K}],$$

U ... toplotna prehodnost ali U faktor [$\text{W/m}^2\text{K}$],

A ... površina konstrukcijskega sklopa [m^2].

- Celotni toplotni tok skozi konstrukcijski sklop

$$Q_t = A^* U^*(T_N - T_Z) * t \quad [\text{Wh}],$$

U ... toplotna prehodnost ali U faktor [$\text{W/m}^2\text{K}$],

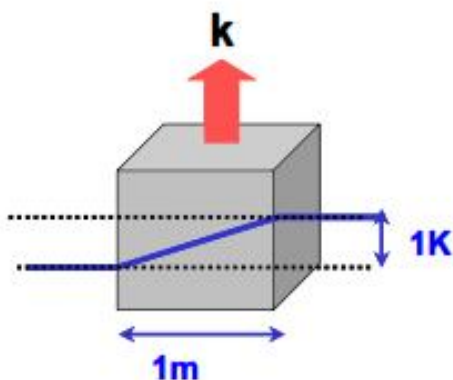
A ... površina konstrukcijskega sklopa [m^2],

$(T_N - T_Z)$... temperaturna razlika med notranjim in zunanjim zrakom [K],

t ... trajanje temperaturne razlike [h].

4.1.2 Toplotna prevodnost λ [W/mK]

»Toplotna prevodnost je specifi na lastnost materiala. Pove, kolikšen toplotni tok P [W] prete e pri stacionarnih pogojih skozi material z debelino 1 m in površino 1 m² pri temperaturni razliki 1 K v smeri pravokotno na mejno ploskev.« Podatek o toplotni prevodnosti materiala nam pove, kako hitro snov pri danih pogojih prevaja toploto. Med najboljšimi izolatorji je suh mirujo zrak, kateremu je onemogo eno cirkuliranje, ki ima okoli 0,025 [W/mK]. Tako lahko ugotovimo, da so dobri izolacijski materiali tisti, ki lahko v strukturi zadržujejo im ve suhega zraka. Za izolacije torej uporabljamo materiale s im manjšo toplotno prevodnostjo, ki se dolo i laboratorijsko z meritvami. Pri izra unih upoštevamo podatke proizvajalca, ki ima certifikat za izdelavo materiala, ali pa uporabimo standardizirane vrednosti (nap. PURES) [7].



Slika 3: Grafi na ponazoritev toplotne prevodnosti materiala [8]

4.1.3 Toplotna prehodnost plasti U [W/m²K]

»Nam pove, kolikšen toplotni tok P [W] prete e pri stacionarnih pogojih skozi plast KS debeline d [m] in površine 1 m² pri temperaturni razliki 1 K na obeh straneh zidu« [9].

$$U = \lambda/d$$

λ ... toplotna prevodnost [W/mK],

d ... debelina plasti [m].

4.1.4 Prestopni koeficient meje zra ne plasti α [W/m²K]

Površinska temperatura materiala ima običajno za nekaj stopinj drugačno temperaturo kot zrak, ki ga obdaja. Tanka plast zraka tik ob steni, izvrši prehod od temperature zraka do površinske temperature pasti. »Gostota toplotnega toka, ki se konstrukcijskega sklopa prestopa v zrak (ali obratno, če je zrak toplejši), je premo-sorazmerna z razliko temperature konstrukcijskega sklopa in obdajajočega zraka. Sorazmernostni faktor se imenuje prestopni koeficient α .« [8]

4.1.5 Toplotni upor mejne plasti R_i [m²K/W]

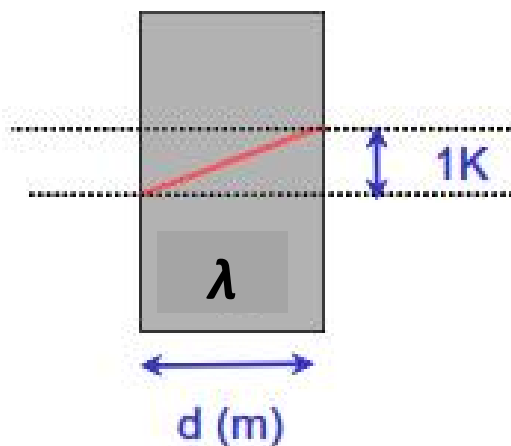
»Toplotni upor plasti nam pove, koliko K temperaturne razlike mora biti med obema stranema plasti, da skozenj stečete 1 W toplotnega toka P [W].« Kadar imamo plast, ki ima velik topotlni upor, pomeni, da se skozi plast pri dani temperaturi preteka majhen topotlni tok. [7]

$$R = 1/U \quad R_i = d_i / \lambda_i$$

U ... topotlna prehodnost plasti [W/m²K],

λ_i ... topotlna prevodnost materiala plasti [W/mK],

d_i ... debelina plasti [m],



Slika 4: Grafi na ponazoritev toplotnega upora plasti [8]

4.1.6 Toplotni upor konstrukcijskega sklopa R_k [$\text{m}^2\text{K/W}$]

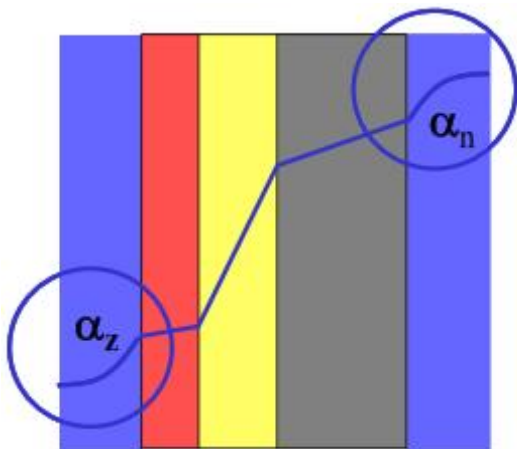
V praksi so konstrukcijski sklopi sestavljeni iz več plasti, zato te plasti obravnavamo kot zaporedno vezane toplotne upornike. Toplotni upor konstrukcijskega sklopa je torej vsota posameznih toplotnih uporov plasti, kar pomeni, da se celotna temperaturna razlika porazdeli med posamezne plasti. Tako skozi vsako plast teče isti toplotni tok, največji del temperaturne razlike pa prejme plast z največjim toplotnim uporom [8].

$$R_k = R_1 + R_2 + R_3 \dots = (d_i / \lambda_i)$$



Slika 5: Grafi na ponazoritev zaporedne vezave toplotnih uporov v konstrukcijskem sklopu (lasten vir, 2014)

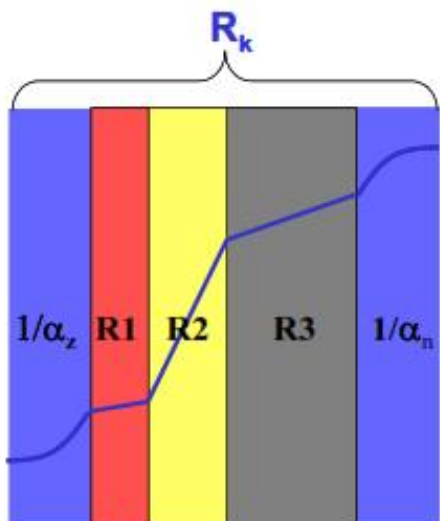
Pri izračunu celotnega toplotnega upora konstrukcijskega sklopa pa ne smemo zanemariti upora mejne zračne plasti, ki ga izrazimo z $1/\alpha$ [$\text{m}^2\text{K/W}$], torej toplotnega upora mejne zračne plasti za 1 m^2 konstrukcijskega sklopa.



Slika 6: Toplotna prestopnost mejne zračne plasti na zunanji in notranji strani [8]

Skupni upor konstrukcijskega sklopa R_k torej določimo tako, da seštejemo upore vseh plasti, ki ga sestavljajo, in upore mejnih zranih plasti.

$$R_k = 1/\alpha_z + (d_i/\lambda_i) + 1/\alpha_n \quad [\text{m}^2\text{K/W}]$$



Slika 7: Grafi na ponazoritev skupnega upora konstrukcijskega sklopa [8]

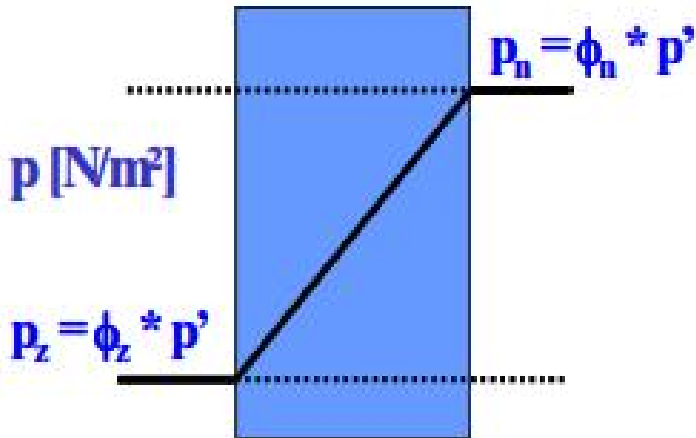
4.2 DIFUZIJA VODNE PARE

4.2.1 Pogoji za difuzijo vodne pare

»Difuzija vodne pare je pojav, ko v gradbeni konstrukciji vodna para prehaja iz plasti z večjo nasičnostjo k plastem z manjšo nasičnostjo z vodno paro. Difuzni tok spremišča toplotni tok (od toplega k hladnemu)« [7]. Pogoj, da pride do pojava difuzije vodne pare, je razlika parnih tlakov na eni in drugi strani konstrukcije.

Ločimo dva primera prehoda vodne pare [9]:

- Vodna para prehaja skozi vse plasti konstrukcijskega sklopa, torej do kondenzacije oziroma izločanja ne pride v nobeni plasti.
- Vodna para se kondenzira, torej se izloča v enem sloju ali več slojih konstrukcijskega sklopa.



Slika 8: Grafi en prikaz razlike parnih tlakov in potek parnega toka [8]

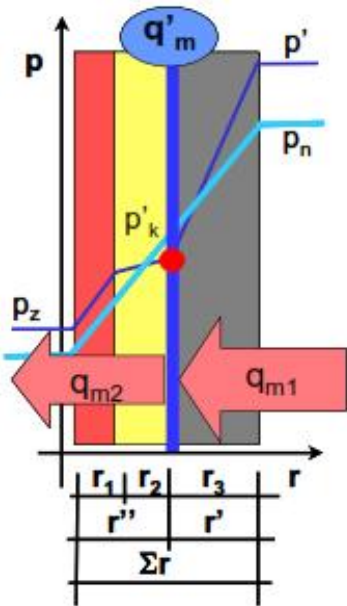
Pomen oznak na grafu:

- p ... delni (parcialni) tlak vodne pare; definira trenutno količino vlage v zraku [$N/m^2=Pa$],
- p' ... nasičen tlak vodne pare; je odvisen od temperature (višja je temperatura zraka, več pare lahko vsebuje) [$N/m^2=Pa$],
- $\phi = p/p'$... relativna vlažnost; je razmerje med delnim in nasičenim parnim tlakom pri neki temperaturi [%],
- G/V ... absolutna vlažnost; je masa vodne pare v volumnu zraka [kg/m^3] [7].

4.2.2 Nastanek kondenza pri difuziji vodne pare

Do izložanja odvečne vlage v obliki kondenza pride, ko delni tlak vodne pare doseže vrednost nasičenega tlaka vodne pare p' ($p = p'$) [$N/m^2=Pa$]. Delni parni tlak nikoli ne more biti večji od nasičenega parnega tlaka. Ker je nasičen parni tlak p' odvisen od temperature, njegov potek skozi konstrukcijski sklop ni linearen, ampak se njegove vrednosti spremenijo po posameznih plasteh konstrukcijskega sklopa [7].

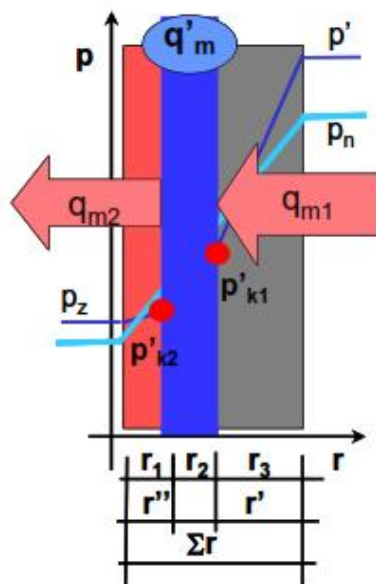
4.2.2.1 Primer kondenzacije v ravnini



Slika 9: Grafi en prikaz nastanka kondenza v ravnini [8]

Na sliki 9 vidimo, kako med prvo in drugo plastjo konstrukcijskega skopa delni parni tlak doseže vrednost nasi enega delnega tlaka, zato v tem delu pride do izlojanja odve vlage v obliki kondenza.

4.2.2.2. Primer kondenzacije v plasti



Slika 10: Grafi en prikaz nastanka kondenza v plasti [8]

Na sliki 10 vidimo, kako delni parni tlak doseže vrednost nasi enega parnega tlaka že v delu prvega sloja in jo drži skozi celotni drugi sloj. Tako dobimo primer izlojanja odne vlage v obliki kondenza v celotnem sloju KS.

Oznaka r [$\text{m}^2\text{hPa/kg}$] predstavlja relativno difuzijsko odpornost vodni pari materiala, ki je odvisna od difuzijske upornosti materiala μ [-] vodni pari in od njegove debeline. Oznaka q [$\text{kg/m}^2\text{h}$] predstavlja gostoto difuznega toka. q je se vrednosti gostote difuznega toka, ki vstopa v KS, izenačena z vrednostjo gostote difuznega toka, ki izstopa iz KS, do kondenzacije vodne pare v KS ne pride [7].

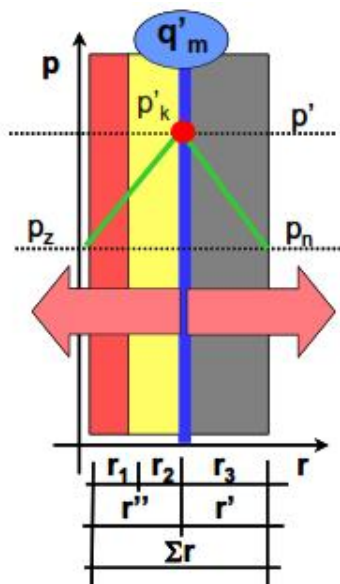
V primeru, da nam v KS nastane kondenz, izvedemo kontrole za materiale, v katerih se nam nabira vlaga [8]:

- kontroliramo koliko vlage, ki se izložijo v konstrukciji v razsahu raščasnega difuznega navlaževanja
- kontroliramo ali lahko celotna koliko vlage izpari iz KS v razsahu letnega režima – izsuševanje (raščasno poletno obdobje za izsuševanje traja 60 dni)
- kontroliramo ali lahko sloji, v katerih se nabira vlaga, sprejmejo celotno koliko vlage brez nevarnosti poškodbe konstrukcije

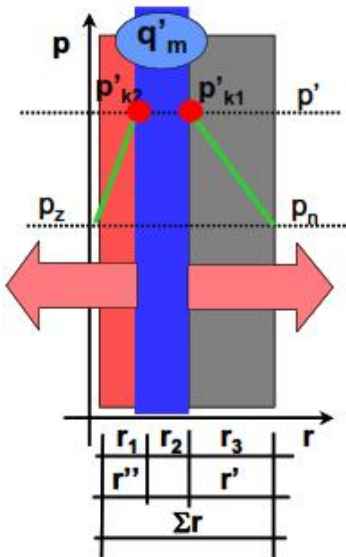
4.2.3 izsuševanje v primeru nastanka kondenza

4.2.2.3. Izsuševanje v primeru nastanka kondenza v ravnini

Slika 11: Grafičen prikaz izsuševanja v primeru kondenza v ravnini (poletno obdobje) [8]



4.2.2.4 Izsuševanje v primeru kondenza v plasti



Slika 12: Grafen prikaz izsuševanja v primeru kondenza v plasti (poletno obdobje) [8]

Na sliki 11 in 12 vidimo, da v KS ne bomo imeli kondenzacije, ko bosta gostoti difuznega toka, ki vstopa v KS, in tisti, ki izstopa iz KS, enaki. V tem primeru bo tudi delni parni tlak manjši od nasi enega parnega tlaka. Koli ina nabrane vode iz zimskega obdobja q'_m [$\text{kg}/\text{m}^2\text{h}$] in gostota difuznega toka q [$\text{kg}/\text{m}^2\text{h}$] pri izsuševanju pa vplivata na nas izsušitve d [število dni].

$$d = 1,3 * q'_m / (q_m * 24h) \quad [\text{dni}] \quad [8],$$

q'_m ... koli ina nabrane vode v zimskem obdobju [$\text{kg}/\text{m}^2\text{h}$],

q_m ... gostota difuznega toka pri izsuševanju.

5.0 UDOBNE BIVALNE RAZMERE

Ljudje porabijo približno 80-90 % svojega dnevnega asa v zaprtih prostorih [10], zato je pomembno, da se raziše možne vplive notranjih onesnaževalcev zraka in ostalih dejavnikov tveganj v notranjem okolju na zdravje. Prav tako je potrebno razmisliši o prispevkih k celotni izpostavljenosti ljudi.

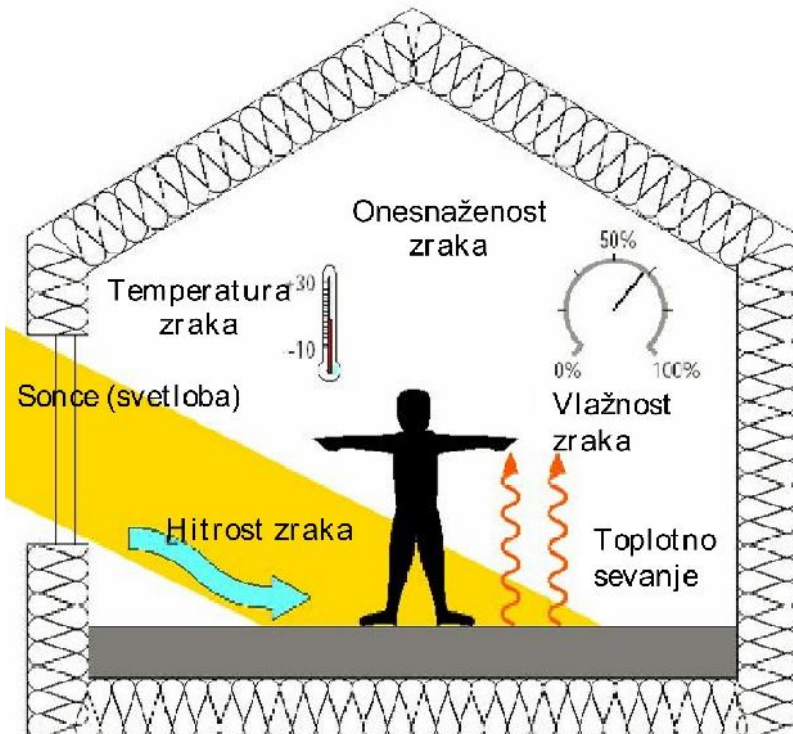
lovek v notranjem okolju preživi med 80 % in 90 % svojega asa, zato je zelo pomembno, da je to okolje zdravo [11]. Zadostiti moramo vsem parametrom kakovosti notranjega okolja v vseh bivalnih conah prostorov, t.j. parametrom topotnega udobja, svetlobnega udobja, zvočnega udobja, kakovosti zraka ter parametrom ergonomije. V razliki nih letnih asih je potrebno uskladiti ogrevanje, prezračevanje in vlaženje zraka. Med glavne dejavnike, ki vplivajo na topotno udobje v bivalnih prostorih, štejemo temperaturo zraka, temperaturo površin, vlažnost, hitrost gibanja zraka, stopnjo loveškega metabolizma in stopnjo izolativnosti obleke. Kljub naši prilagodljivosti pogojem okolice obstaja le določena kombinacija parametrov, pri katerih se po utimo udobno. Ker med lovekom in okolico obstajajo razliki medsebojni vplivi in je vsak različno ob utliv, je določanje tokih meja področja udobnega po utja težko določiti.

Preglednica 1: Ključni dejavniki, ki vplivajo na udobje [12]

FIZIKALNI POGOJI	FIZIOLOŠKI POGOJI	OSTALO
Temperatura, vlažnost, hitrost zraka	Konstitucija telesa, starost, spol	Kakovost zraka (onesnaževalci v zunanjem in notranjem zraku)
Sevalna temperatura obodnih površin prostora	Prehrana	Ergonomsko oblikovanje prostorov, naprav, pohištva, itd.
Aktivnost	Zdravstveni status	Barve sten v prostoru in ostali parametri dnevnega osvetljevanja prostorov
Oblečenost	Drugo	Hrup
Kontakt z okolico		Psihično stanje
		Letni in dnevni as

Parametra notranjega okolja, ki jih povzame pravilnik o prezračevanju in klimatizaciji stavb [13], sta **toplotno okolje** in **kakovost zraka**, ostali parametri pa so še **vlažnost**, **osvetlitev** in **zvok**.

Slika 13: Dejavniki, ki vplivajo na stopnjo udobja bivanja [14]



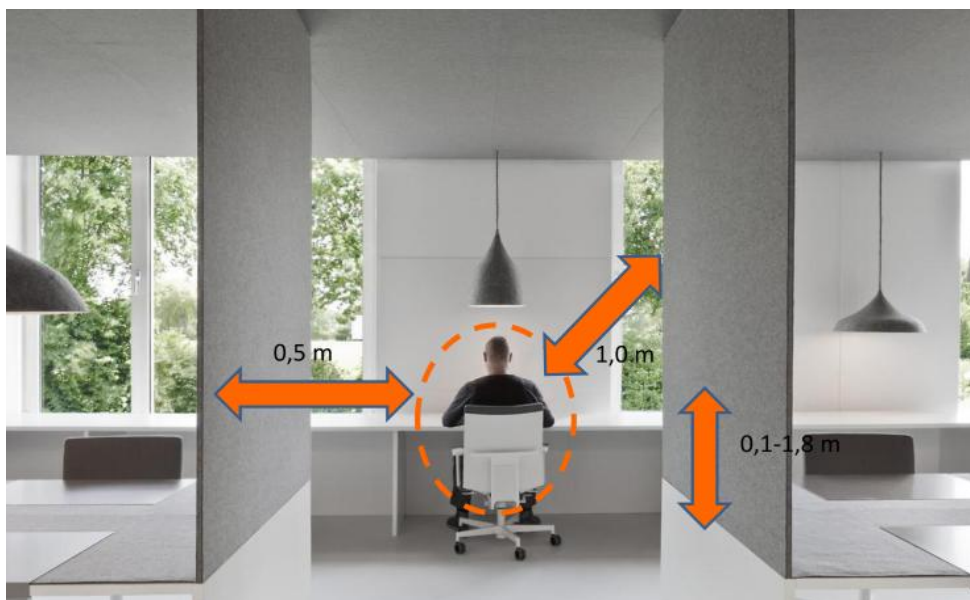
Priporočene ali zahtevane vrednosti parametrov notranjega okolja so podane glede na kategorijo pri akovanju kvalitete notranjega okolja. Kategorizacija omogoča podajanje informacij o kompleksnem notranjem okolju na enostavne načine.

Preglednica 2: Kategorizacija notranjega okolja [15]

KATEGORIJA	OPIS
I.	Visoka raven pri akovanju, upoštevana za prostore, v katerih so ob utrjeni ljudje s posebnimi zahtevami
II.	Normalna raven pri akovanju, upoštevana za nove ali prenovljene stavbe
III.	Zmerna, sprejemljiva raven pri akovanju, uporabna predvsem za obstoječe objekte
IV.	Vrednosti izven kriterijev za zgornje kategorije

5.1 Toplotno okolje

Analize toplotnega okolja se vršijo v bivalnih conah, katero določa območje notranjega okolja, kjer se nahaja uporabnik območja. Območje je definirano 1 m od zidu, vrat in grelnega ali hladilnega telesa, 0,5 m od notranjega zidu ter najmanj 0,1 m do največ 1,8 m nad tlemi [13].



Slika 14: Grafični prikaz območja notranjega okolja bivalne cone [16]

V standardu SIST EN ISO 7730:2005 Ergonomija toplotnega okolja - Analitično ugotavljanje in interpretacija toplotnega ugodja z izračunom PMV in PPD vrednosti ter merili za lokalno toplotno ugodje so predstavljeni kakovostni razredi okolja kot A (najboljši), B, C, D (najslabši) [17]. Podobno je določeno v pravilniku o preizkuševanju in klimatizaciji stavb [13].

Preglednica 3: Kategorije toplotnega okolja [17]

kategorija	integralno stanje		lokalno neugodje			
	pričakovani procent nezadovoljnih PPD	pričakovana povprečna presoja PMV	pričakovani procent nezadovoljnih zaradi prepričanja	pričakovani procent nezadovoljnih zaradi temperaturne razlike	pričakovani procent nezadovoljnih zaradi toplih ali hladnih tal	pričakovani procent nezadovoljnih zaradi asimetrije sevalne temperature
	%	-	%	%	%	%
A	< 6	-0,2 < PMV < +0,2	< 15	< 3	< 10	< 5
B	< 10	-0,5 < PMV < +0,5	< 20	< 5	< 10	< 5
C	< 15	-0,7 < PMV < +0,7	< 25	< 10	< 15	< 10

Parametre toplotnega udobja delimo na loveške parametre in okoljske parametre.

loveški parametri:

- metabolizem,
- obleka,
- individualne zna ilnosti.

Okoljski parametri:

- temperatura zraka T_a [°C] (notranjega T_{ai} , zunanjega T_{ao}),
- srednja sevalna temperatura T_{mr} [°C], son no sevanje zunaj [W/m²],
- hitrost zraka v_a [m/s],
- absolutna vlažnost p_a [kPa] (notranja p_{ai} , zunanja p_{ao}); relativna vlažnost RH (notranja RH_{in} , zunanja RH_{out}),
- površinska temperatura T_s [°C],
- ob utena temperatura T_o [°C],
- emisivnost, absorptivnost površin ϵ [20].

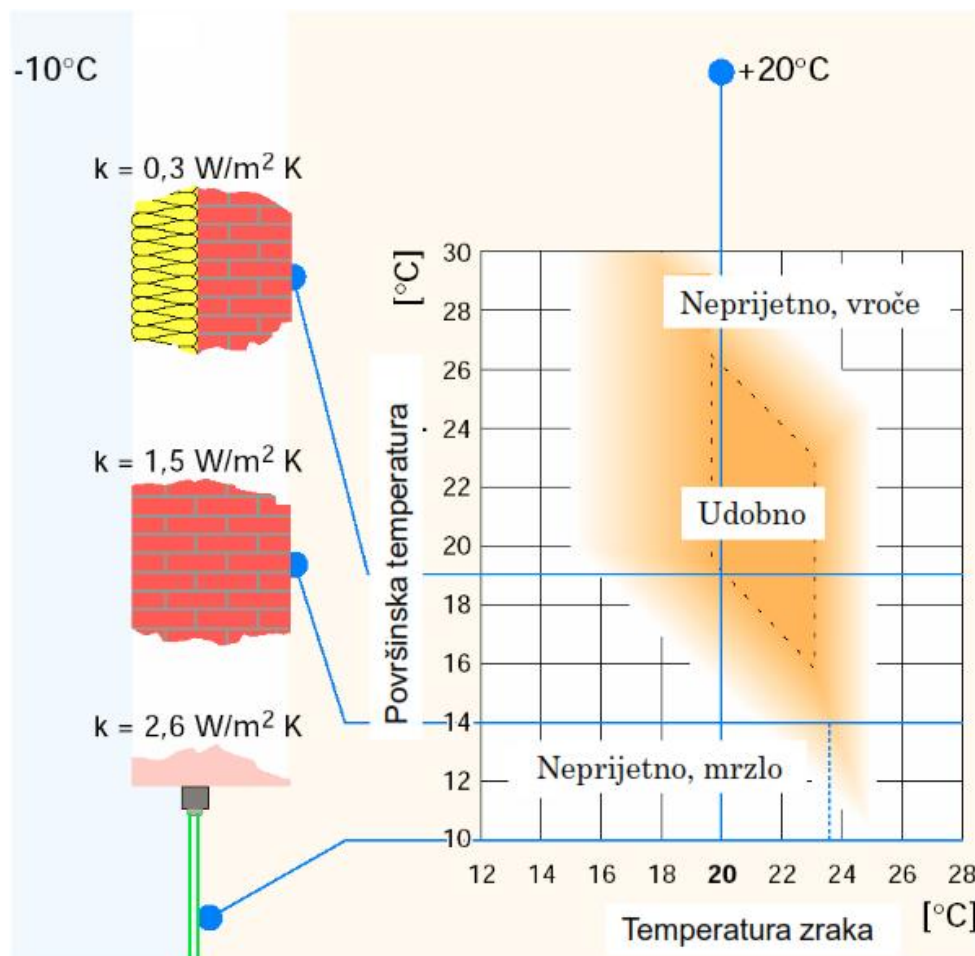
Preglednica 4: Kategorije notranjega toplotnega okolja, izražene z vrednostmi PMV in PPD [15]

Kategorija	Integrirano toplotno stanje loveka	
	PPD (pri akovan procent nezadovoljnih) v %	PMV (pri akovana povpre na presoja) v %
I.	<6	-0,2 < PMV < +0,2
II.	<10	-0,5 < PMV < +0,5
III.	<15	-0,7 < PMV < +0,7
IV.	≥15	PMV < -0,7 ali +0,7 < PMV

Toplotno okolje je še sprejemljivo, e se v njem po uti neudobno do 15 % uporabnikov prostora. PMV-PPD indeks upošteva vpliv relevantnih parametrov kot so obleka, aktivnost, temperatura zraka, srednja sevalna temperatura, relativna hitrost zraka in vlažnost zraka. Stopnja toplotnega udobja je poleg temperature zraka odvisna tudi od površinske

temperature zidov in stropov v približno tolikšni meri, da je zaznavna temperatura praktično aritmetična sredina med obema temperaturama [15].

Slika 15: Prikaz udobja v odvisnosti od temperature zraka in površinske temperature pri projektni zunanji temperaturi -10°C [14]



Temperatura notranjega zraka T_{ai} [$^{\circ}\text{C}$, K] je temperatura zraka v prostoru, merjena v sredini prostora na višini 1,1 m, in je določena za sedež osebo v bivalni coni. V nasu brez ogrevanja je določena temperatura med 19°C in 26°C , od tega je priporočljiva 23°C do 25°C . V nasu ogrevanja je določena med 19°C in 24°C , priporočljiva pa med 23°C do 22°C [13].

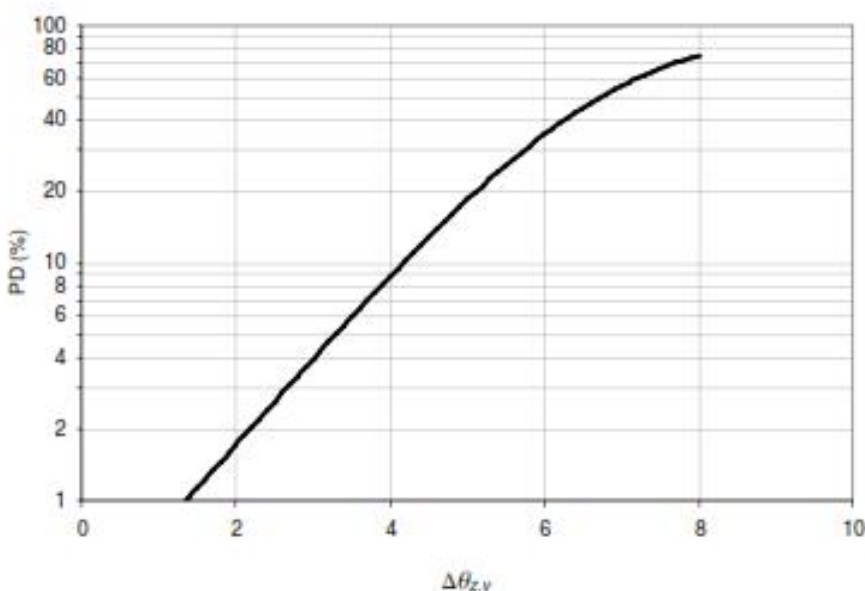
Srednja sevalna temperatura T_{mr} temelji na konceptu izmenjave sevanja med lovekom in okoljem in ima velik vpliv na zaznavno, občutno temperaturo. Največja sevalna temperaturna asimetrija, ki jo štejemo kot faktor neudobja, je: [13]

- Za hladno steno $<13^{\circ}\text{C}$,
- za hladen strop $<18^{\circ}\text{C}$.

Ljudje smo v veini najbolj ob utljivi na sevalno asimetrijo, ki jo povzroča hladen strop ali hladne stene oziroma okna v njih.

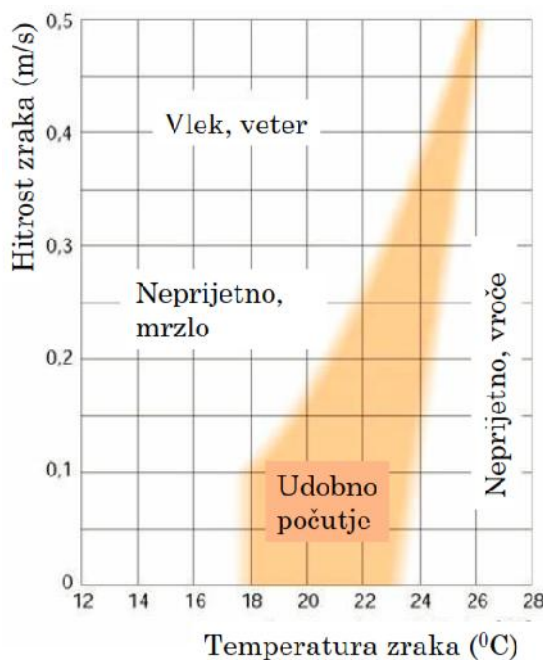
Vertikalni temperaturni gradient med glavo in gležnji za sedeče osebo (med 0,1 m in 1,1 m na podom) mora biti pod 3 K, v vseh drugih primerih pa pod 4 K [13].

Preglednica 5: Pri akovan odstotek nezadovoljnih v odvisnosti od vertikalnega gradienta temperature zraka [18]



V prostoru lahko pride do hladnega zraka v predelu gležnja in toplega zraka v višini glave, kar vodi v lokalno neudobje. V preglednici je prikazana korelacija za narašaj o temperaturo od tal. V obratni smeri je vpliv na udobje manjši.

Hitrost zraka v_a [**m/s**] v prostoru lahko vpliva na stopnjo udobja. Prepih ali drugo strujanje zraka lahko povzroči neželeno lokalno ohlajanje loveka in je eden izmed najpogostejših vzrokov za nezadovoljstvo. V primerih visokih temperatur pa se lahko prepih oziroma višje hitrosti zraka uporabljajo tudi za doseganje udobja. [16]



Preglednica 6: Prikaz udobja v odvisnosti od temperature zraka in hitrosti gibanja zraka [14]

Dopustna **relativna vlažnost** RH zraka v prostoru pri temperaturi zraka med 20°C in 26°C je med 30 % in 70 % [13]. V prostorih moramo zagotoviti takšno vlažnost, da s svojim neposrednim ali posrednim uinkom ne vpliva na udobje in zdravje. Pri klimatizaciji prostora mora biti zagotovljena relativna vlažnost zraka pod 60 % in ta meja je priporočljiva tudi za neklimatizirane prostore, ker zmanjšuje možnost rasti alergenih in patogenih organizmov. [13]

Preglednica 7: Prikaz udobja v odvisnosti med relativno vlažnostjo in temperaturo notranjega zraka [14]

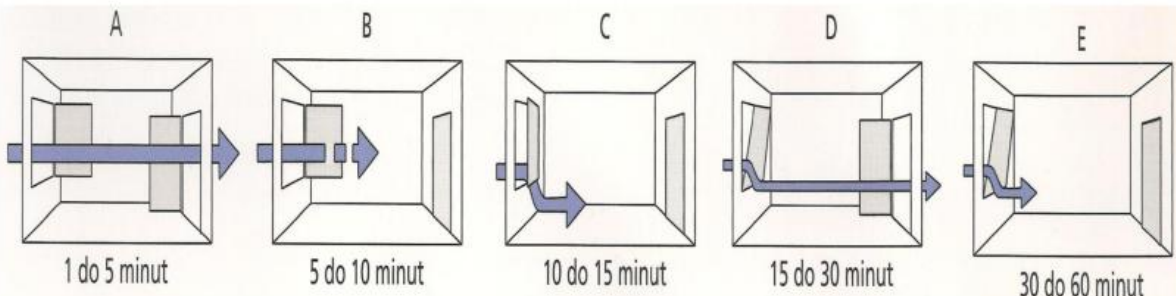


5.2 Kakovost zraka

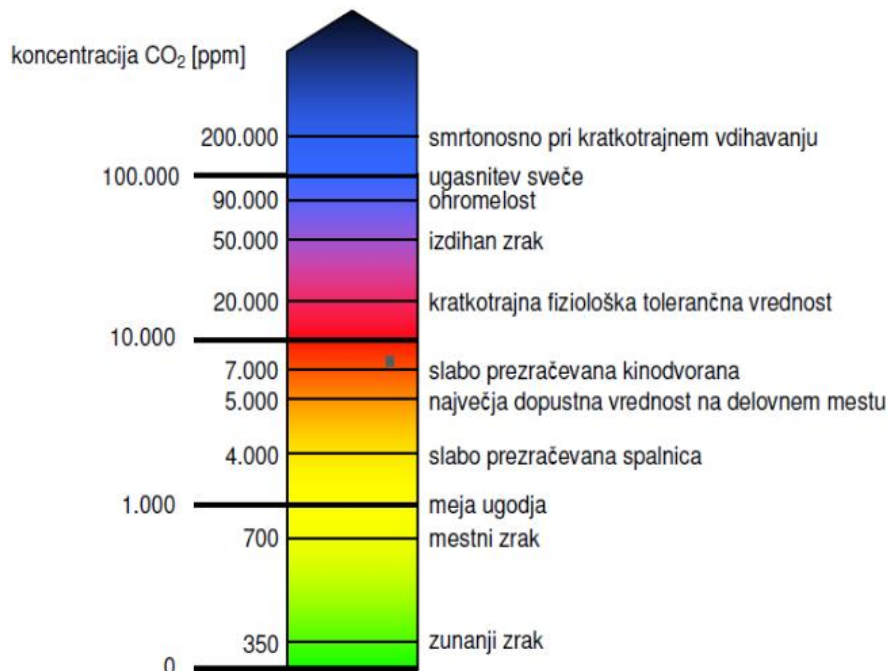
Zrak v prostoru mora biti svež in prijeten, brez vonjav in ne sme ogrožati zdravja ljudi. Najmanjši potrebnih vtok zunanjega zraka je $15 \text{ m}^3/\text{h}$ na osebo v prostorih, kjer se ne kadi. V prostorih, kjer je dovoljeno kajenje, mora najmanjša dodatna koli ina vtoka zunanjega zraka znašati $45 \text{ m}^3/\text{h}$ na osebo. V asu prisotnosti ljudi v prostorih stavbe, ki so namenjeni za delo ali bivanje, je potrebno dosegati volumensko izmenjavo zraka vsaj $0,5 \text{ h}^{-1}$. V asu odsotnosti ljudi v prostorih stavbe, ki so namenjeni za delo ali bivanje, je potrebno dosegati volumensko izmenjavo zraka vsaj $0,2 \text{ h}^{-1}$. Koli ino potrebnega svežega zraka lahko doloimo tudi glede na talno površino in mora znašati najmanj $1,5 \text{ m}^3/\text{h}$ na kvadratni meter brez upoštevanja drugih virov onesnaževanja [13].

Za kvaliteteni zrak v stanovanjih lahko poskrbimo z uinkovitim prezrajanjem ali pa z različnimi sistemi prezrajanja, ki delujejo na princip, da toplejši zrak izmenjujejo z hladnejšim in obratno, kar zmanjšuje toplotne izgube zaradi prezrajanja. Pomembno pa je tudi, da vgrajujemo gradbene materiale, ki z vidika kakovosti zraka ne povzročajo škodljivih emisij.

Slika 16: Prikaz uinkovitosti različnih tipov naravnega prezrajanja [14]



V primeru, da v bivalne prostore ne vnašamo dovolj svežega zraka ali celo ne zraimo prostorov, se moramo zavedati nevarnosti različnih notranjih onesnaževalcev zraka, ki lahko presežejo dovoljene koncentracije. Tipi en primer je ogljikov dioksid, ki ga proizvajamo ljudje.



Slika 17: Prikaz tipovnih koncentracij CO₂ in njihovega vpliva na človeka [14]

Pravilnik o prezračevanju in klimatizaciji stavb navaja dopustne vrednosti CO₂ in ostalih onesnaževalcev zraka [13].

Preglednica 8: Dopustne koncentracije notranjih onesnaževalcev zraka [13]

		Enota	Dopustna vrednost
Ogljikov dioksid*	(CO ₂)	mg/m ³	3.000
Radon**	(Rn)	Bq/m ³	400
Amoniak in amini***	(NH ₃)	µg/m ³	50
Formaldehid***	(H ₂ CO)	µg/m ³	100
Hlapne organske snovi****	(VOC)	µg/m ³	600
Ogljikov monoksid	(CO)	µg/m ³	10
Ozon	(O ₃)	µg/m ³	100
Masna koncentracija lebdečih trdnih delcev frakcije PM ₁₀ *****		µg/m ³	100

* Koncentracija vključuje CO₂ v zunanjem zraku (700 µg/m³) in emisijo CO₂ človeka.

** Povprečna letna koncentracija radona v stanovanjskih objektih. Priporočilo 200 Bq/m³.

*** Nanaša se na emisijo gradbenega materiala, ne na emisijo človeka ali človekove aktivnosti.

**** Vsaj 70 % hlapnih organskih snovi mora biti identificiranih, njihove koncentracije ne smejo prekoračiti največjih dopustnih vrednosti (npr. karcinogenov, alergenov itn.). Nanaša se na emisijo gradbenega materiala, ne na emisijo človeka ali človekove aktivnosti.

***** Masna koncentracija prostorsko nastalih lebdečih trdnih delcev se meri skladno s SIST EN 12341 nepretrgoma 24 ur pri normalni človekovi aktivnosti v prostoru.

6.0 METODOLOGIJA

6.1 Parametri gradbene fizike

V diplomskem delu sem za izra un parametrov gradbene fizike uporabil program TEDI [5].

Program TEDI se uporablja za izra un in analizo topotnega prehoda in difuzije vodne pare skozi ve plastne konstrukcijske sklope po Pravilniku o topotni zaš iti in u inkoviti rabi energije v stavbah, SIST EN ISO 6946 [21], SIST EN ISO 10211-1 [19] in SIST 1025:2002 [20]. V program vnašamo podatke o posameznih slojih konstrukcijskega sklopa, program pa nam izra una topotno prehodnost konstrukcijskega sklopa in ga sproti preverja z zakonodajnim predpisom. Program preveri tudi difuzijo vodne pare, nam poda rezultat o nastanku kondenza in izra una potreben as za izsuševanje KS. Vrednosti obeh rezultatov nam program predstavi tudi v diagramih. Program so razvili na Fakulteti za gradbeništvo in geodezijo na Katedri za stavbe in konstrukcijske elemente. Avtorja programa sta prof. dr. Aleš Krainer in Rudi Perdan.

6.2 Parametri rabe energije

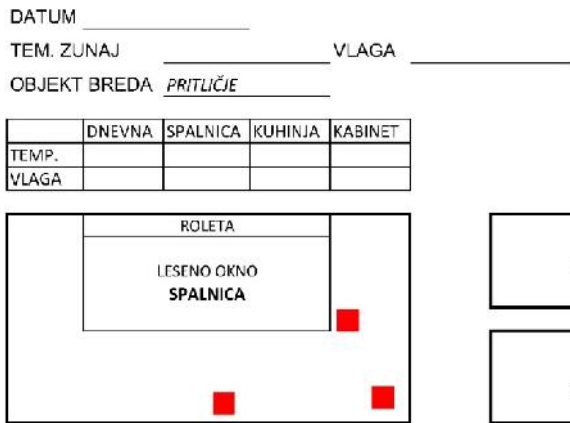
Za izra un parametrov rabe energije sem uporabil program TOST [6]. Program TOST se uporablja za izra un energetske bilance stavbe po Pravilniku o u inkoviti rabi energije v stavbah [24], upoštevajo SIST EN ISO 13790 [22] in TSG-1-004:2010 [23]. Program izra una podatke, potrebne za kon no poro ilo (v skladu s SIST EN ISO 13790) oziroma dokaz ustreznosti o topotni zaš iti stavbe (v skladu s PURES [24]). Moj namen je, da z njim preverim specifi ne transmisijske topotne izgube obstoje ih in obnovljenih KS, da zagotovim omejitev dolo eno v 7. lenu PURES [24]. Program so razvili na Fakulteti za gradbeništvo in geodezijo na Katedri za stavbe in konstrukcijske elemente. Avtorja programa sta prof. dr. Aleš Krainer in Rudi Perdan.

6.3 Meritve izbranih parametrov notranje klime

V obravnavam objektu sem izvajal meritve temperature in vlažnosti zraka v notranjih prostorih in površinsko temperaturo na notranji strani zunanjih sten, tal na terenu in stropov proti podstrešju. Meritve sem izvajal v zimskem asu od 23. 2. 2015 do 19. 3. 2015. Meritve sem izvajal vedno v istih prostorih in meril vedno ista mesta KS. Podatke o zunanji temperaturi in vlažnosti zunanjega zraka sem pridobil pri Agenciji Republike Slovenije za okolje (ARSO). Podatki za obravnavano lokacijo so meritve klimatološke postaje Celje. Podatke sem tudi izmeril z inštrumentom in tako preveril ujemanje podatkov. Pri izvajanju meritve sem bil pozoren na iskanje kriti nih predelov, kjer je bila površinska temperatura še nižja od povpre ja in tako še pove ana možnost kondenziranja vlage in nastanek plesni.

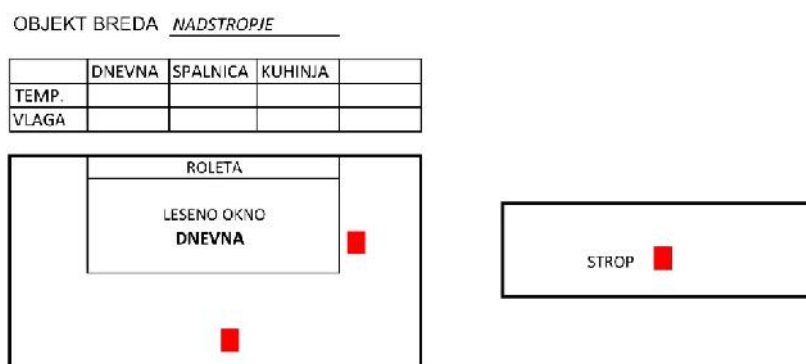
V preglednici 9 je prikazana podloga za en prostor v pritliju, na kateri sem z rdečimi kvadratki označil mesta, kjer sem izvajal meritve površinske temperature. Meritve pritlija ja sem izvajal v štirih prostorih, in sicer v spalnici, kabinetu, dnevni sobi in kuhinji.

Preglednica 9: Primer delovnega lista za pritlije (pričakan en prostor)



V preglednici 10 je prikazana podloga za en prostor v nadstropju, na kateri sem z rdečimi kvadratki označil mesta, kjer sem izvajal meritve površinske temperature. Meritve nadstropja sem izvajal v treh prostorih, in sicer v kuhinji, dnevni sobi in spalnici.

Preglednica 10: Primer delovnega lista za meritve v nadstropju (pričakan en prostor)



S terenskimi meritvami sem pridobil podatke o izbranih parametrih notranje klime obstoječega energijsko potratnega objekta. Z meritvami sem pridobil realne iskane vrednosti koli in, ki sem jih kasneje v raziskavi izračunal s programom TEDI [5]. Izračunate vrednosti sem tako lahko preveril z dejanskimi izmerjenimi.

6.3.1 Opis in uporaba merilnih inštrumentov

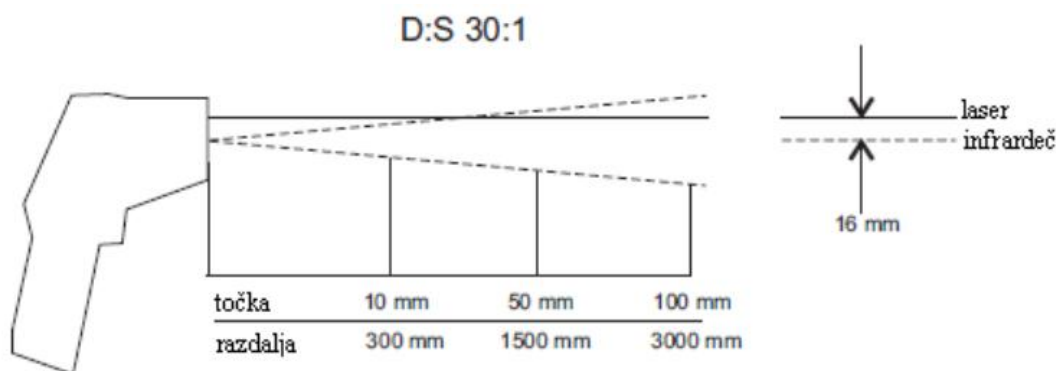
6.3.1.1 VOLTCRAFT Infrarot-Thermometer IR 900-30S

VOLTCRAFT Infrarot-Thermometer IR 900-30S je inštrument, ki na podlagi laserske tehnologije določa temperaturo površine materiala brez dotika. Površinsko temperaturo določa na podlagi infrardečne energije, ki bo odbita od objekta na podlagi njene oddaljenosti. Ugotovljena temperatura je povprečna temperatura merilne površine. Manjši kot je ciljni objekt, manjša mora biti razdalja med termometrom in ciljnimi objekti. Natančna velikost merilne površine je prikazana na sliki 19. Pri mojih meritvah sem uporabljal meritveno razdaljo 300 mm. Merilno območje je temperature termometra sega od -50 °C do 900 °C. [26]

Slika 19: Merilni inštrument VOLTCRAFT Infrarot-Thermometer IR 900-30S [25]



Slika 18: Razmerje oddaljenost merjenja merilna površina (D/S) [26]



Za natančnost meritev površinske temperature je pomembno, da se na inštrumentu izbere ustrezni material s pripadajočo emisivnostjo (ϵ) [26].

Preglednica 11: Emisivnost materialov v merilniku VOLTCRAFT Infrarot-Thermometer IR 900-30S [26]

Material	Emisivnost (ϵ)
Opeka	0,90
Beton, keramika	0,95
Les	0,94
Steklo	0,85

6.3.1.2 VOLTCRAFT DT 8820

VOLTCRAFT DT 8820 je vsestranski merilni inštrument, s katerim lahko izmerimo relativno vlažnost zraka, osvetljenost, temperaturo zraka in raven hrupa. S to napravo imamo možnost meritev več parametrov bivalnega okolja z eno napravo, ki je po velikosti tako priročna, da se lahko meritve izvajajo tudi na težje dostopnih mestih [28].



Slika 20: Merilni inštrument VOLTCRAFT DT 8820 [27]

Preglednica 12: Tehnični podatki in merilne tolerance VOLTCRATF DT 8820 [28]

Funkcije		Merilne vrednosti
dB (zvok)	Merilno območje Ločljivost Natančnost	35 do 130 dB 0,1 dB ± 3,5 dB pri 94 dB, 1 kHz
% RH (relativna vlažnost)	Merilno območje Ločljivost Natančnost Merilni čas	25 % do 95 % 0,1 % ± 5 % (25 °C, 35 %-95 %) cca. 6 minut
°C (temperatura zraka)	Merilno območje Natančnost	Od -20 °C do 750 °C ± (3 % digit +2 °C) pri 0,1 °C ± (3,5 % digit +2 °C) pri 1 °C
Lux (osvetljenost)	Merilno območje Ločljivost Natančnost	20,200,2000 Lux 20000 Lux 1 Lux / 10 Lux ± 5 % rdg + 10 dtg

Z omenjenim inštrumentom sem za potrebe mojih meritev uporabil dve funkciji, in sicer funkcijo za merjenje temperature zraka in funkcijo za merjenje relativne vlažnosti zraka.

MERJENJE TEMPERATURE ZRAKA preko tipala poteka na naslednji način; v inštrument vključimo temperaturno tipalo in postavimo gumb v pozicijo za merjenje temperature. Nastavimo na želeno enoto, v našem primeru na °C, in izmerimo temperaturo zraka. Pri meritvah sem opazil, da je potrebno približno 10 minut, da se temperatura ustavi, in tako dobimo natančno meritev.

MERJENJE RELATIVNE VLAŽNOSTI preko senzorja za vlago poteka na naslednji način; na inštrumentu prestavimo gumb v pozicijo za merjenje vlage in držimo senzor v delu, kjer želimo odmeriti relativno vlažnost. Tudi pri tej meritvi sem opazil, da je kljub navodilom za natančnost meritev merilni čas 6 minut bolje nekoliko podaljšati, da se nihanje umiri, in tako dobimo natančno meritev [28].

6.4 Zakonske zahteve

Za namen diplomske naloge sem uporabil naslednje zakonske zahteve:

- PURES; Pravilnik o uinkoviti rabi energije v stavbah. Uradni list RS št. 52/2010 [24],
- Tehnična smernica za graditev TSG-1-004:2010. Uinkovita raba energije. Ministrstvo za okolje in prostor [23],
- Pravilnik o prezračevanju in klimatizaciji stavb. Uradni list RS, št. 42/2002, Stran 4139 [13].

6.4.1 Uporabljene ključne zahteve za primerjavo obstoječega stanja z prenovo

- Toplotna prehodnost elementov zunanje površine stavbe določeno v Tehnični smernici za graditev TSG-1-004:2010 [23].

Preglednica 13: Tabela toplotne prehodnosti [23]

	Gradbeni elementi stavb, ki omejujejo ogrevane prostore	$U_{max} [\text{W/m}^2\text{K}]$
1	Zunanje stene in stene proti neogrevanim prostorom	0,28
2	Zunanja stena ogrevanih prostorov proti terenu	0,35
3	Tla na terenu (ne velja za industrijske stavbe)	0,35
4	Tla nad neogrevano kletjo, neogrevanim prostorom ali garažo	0,35
5	Tla na terenu in tla nad neogrevano kletjo, neogrevanim prostorom ali garažo pri panelnem – talnem ogrevanju (ploskovnem gretju)	0,30
6	Strop proti neogrevanem prostoru, stropi v sestavi ravnih ali poševnih streh (ravne ali poševne strehe)	0,2

- Koeficient specifičnih transmisijskih toplotnih izgub je določen v 7. členu Pravilnika o uinkoviti rabi energije v stavbah [24].

$$H_T \leq 0,28 + \frac{T_L}{300} + \frac{0,04}{f_0} + \frac{z}{4} \quad [24]$$

- Površinska temperatura T_s [$^\circ\text{C}$] je okoljski parameter, ki ima vpliv na parametre toplotnega udobja, ki so določeni v Pravilniku o prezračevanju in klimatizaciji stavb [13].

- Površinska temperatura poda med 17°C in 26°C pri sistemu talnega ogrevanja do 29°C . Praviloma velja tudi, da je maksimalna razlika med T zraka in T površin 2 K za doseg udobja.
- Površinska temperatura notranjega sloja zunanjega konstrukcijskega sistema mora biti dovolj visoka, da preprečimo nastanek in razvoj plesni.
- Vse gradbene konstrukcije stavb morajo biti projektirane in izvedene tako, da vodna para pri projektnih pogojih na njihovih površinah ne kondenzira [23].

7.0 SESTAVA, TOPLITNA PREHODNOST IN DIFUZIJA VODNE PARE OBSTOJE IH KONSTRUKCIJSKIH SKLOPOV (TEDI)

Podatke o sestavi konstrukcijskih sklopov sem vnesel v program TEDI [5] in s pomočjo navodil za uporabo programa [35] določil toplotno prehodnost in difuzijo vodne pare.

7.1 Zunanja stena v pritliju do kote +0.75 m

Zunanja stena našega objekta je sestavljena iz različnih plasti. V pritliju imamo do višine 75 cm od tal KS sestavljen iz naravnega kamna, ki je na zunani strani lepo obklesan, na notranji strani pa je izravnан z ometom iz apnene malte. Debelina in sestava konstrukcijskega sklopa sta prikazani v preglednici 14.

Preglednica 14: Zunanji zid v pritliju do višinske kote +0,75 m

SHEMA KS		SESTAVA KS		
ZUNAJ	ZNOTRAJ	št. plasti	material plasti	d (cm)
		1	naravni kamen	30
		2	apnena malta	4
TOPLITNA PREHODNOST U (W/m ² K)				
U_{izr} = 2,092 U_{max} = 0,280; NE USTREZA				

V tem KS ne pride do nastanka kondenza, zato razun izsuševanja vodne pare ni potreben.

7.2 Zunanja stena v pritli ju nad koto +0.75 m

V pritli ju imamo nad višino 75 cm od tal KS sestavljen iz naravnega kamna, ki je na zunanj strani ometan s fasadnim ometom, na notranji strani pa je izravnan z ometom iz apnene malte. Debelina in sestava konstrukcijskega sklopa sta prikazani v preglednici 15.

Preglednica 15: Zunanji zid v pritli ju od višinske kote +0,75 m

SLIKA KS		SESTAVA KS		
ZUNAJ	ZNOTRAJ	št. plasti	material plasti	d (cm)
		1	fasadni omet	6
		2	naravni kamen	30
		3	apnena malta	4
TOPLOTNA PREHODNOST U (W/m ² K)				
Uizr = 1,744 Umax = 0,280; NE USTREZA				

V tem KS ne pride do nastanka kondenza, zato razun izsuševanja vodne pare ni potreben.

7.3 Zunanja stena v nadstropju

V nadstropju je zunanji zid pozidan iz opeke z votlinami, na zunanj strani je ometan s fasadnim ometom, na notranji strani pa je izravnan z ometom iz apnene malte. Debelina in sestava konstrukcijskega sklopa sta prikazani v preglednici 16.

Preglednica 16: Zunanji zid v nadstropju

SLIKA KS		SESTAVA KS		
ZUNAJ	ZNOTRAJ	št. plasti	material plasti	d (cm)
		1	fasadni omet	6
		1	polna opeka	25
		3	apnena malta	2,5
TOPLOTNA PREHODNOST U (W/m ² K)				
Uizr = 1,625 Umax = 0,280; NE USTREZA				

V tem KS ne pride do nastanka kondenza, zato razun difuzije vodne pare ni potreben.

7.4 Tla v pritliju

V času gradnje tega objekta je bila načrtovano, da v pritliju ne bo bivalnih prostorov. Temu primerno so tla ostala v zemljini. Kasneje je bilo renovirano tudi pritlije in urejeni bivalni prostori. Iz tal je bila delno odstranjena zemljina in na tla nasut drenažni pesek, na katerega sta bila narejena betonski estrih in finalni tlak. Debelina in sestava KS sta prikazani v preglednici 17.

Preglednica 17: Tla v pritliju

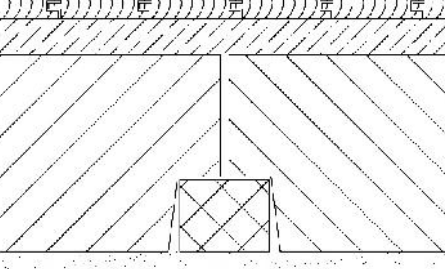
SLIKA KS	SESTAVA KS		
	št.plasti	material plasti	d (cm)
NOTER	1	hrastov parket	2
ZNOTRAJ	2	betonski estrih	8
	3	drenažno nasutje	15
	4	zemljina	
TOPLOTNA PREHODNOST U (W/m ² K)			
Uizr = 2,727 Umax = 0,350; NE USTREZA			

Razun difuzije vodne pare ni potreben, 21. len pravilnika.

7.5 Plošča med pritlijem in nadstropjem

V gradnji je bila za plošče prvega in drugega nadstropja uporabljen t.i. sistem »montažne plošče«, ki je nosilen v eni smeri. Izveden je pol montažno, kar pomeni, da so med armirano betonskimi nosilci vgrajena ope na polnila. Prostor med polnili je zapolnjen z betonom, na celotni plošči pa sta izdelana še betonski estrih in finalni tlak. Spodaj so nosilci in ope na polnila, ometana z ometom iz apnene malte. Debelina in sestava konstrukcijskega sklopa sta prikazani v preglednici 18.

Preglednica 18: Ploša med pritlijem in nadstropjem

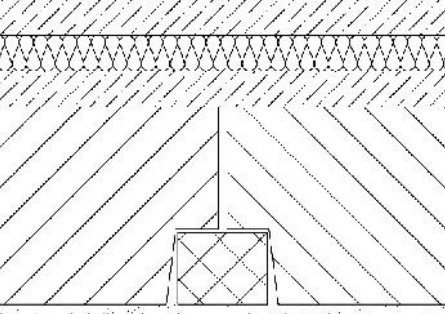
SLIKA KS		SESTAVA KS		
NADSTROPJE		št.plasti	material plasti	d (cm)
		1	hrastov parket	2
		2	betonski estrih	6,5
		3	monta ploša ope ni votlak	22
		4	apnena malta	2
PRITLI JE		TOPLOTNA PREHODNOST U (W/m ² K)		
		Uizr = 1,301 Umax = 1,350; USTREZA		

Razun difuzije vodne pare ni potreben, 21. len pravilnika.

7.6 Ploša med nadstropjem in podstrešjem

Tudi ta ploša je zgrajena po sistemu »monta ploša«. Kasneje so nad betonskim estrihom vgradili sloj topotne izolacije iz ekspandiranega polistirena (STIROPOR), nad ta sloj pa so vgradili še en betonski estrih za zašito in za lažjo hojo po podstrešju. Debelina in sestava konstrukcijskega sklopa sta prikazani v preglednici 19.

Preglednica 19: Ploša med nadstropjem in podstrešjem

SLIKA KS		SESTAVA KS		
NEOGREVANO PODSTREŠJE		št.plasti	material plasti	d (cm)
		1	betonski estrih	5
		2	PVC folija, mehka	0,1
		3	FRAGMAT EPS 50	5
		4	betonski estrih	4
		5	monta ploša ope ni votlak	22
		6	apnena malta	2
NADSTROPJE		TOPLOTNA PREHODNOST U (W/m ² K)		
		Uizr = 0,568 Umax = 0,200; NE USTREZA		

V tem konstrukcijskem sistemu pride do difuzije vodne pare. Kondenz, ki nastane, se nabira v sloju toplotne izolacije FRAGMAT EPS 50. as, ki je potreben za izsušitev konstrukcijskega sklopa, je 56 dni in je manjši od dovoljenega, ki znaša 60 dni.

7.7 Specifične transmisijske izgube H_T

Pri preverjanju toplotne bilance objekta upoštevamo mejne vrednosti iz pravilnika o uinkoviti rabi energije v stavbah, ki se nanašajo na obdobje po 1. 1. 2015. Energijska uinkovitost stavbe je dosežena, e so izpolnjeni vsi pogoji 7. Iena Pravilnika o uinkoviti rabi energije v stavbah [24]. Cilj diplomske naloge je bil zadovoljiti drugemu pogoju, ki določa maksimalni koeficient specifičnih transmisijskih toplotnih izgub stavbe, in tega bom preveril za obstoječi objekt.

Transmisijske toplotne izgube $Q(T)$ [kWh] so toplotne izgube zaradi prehoda toplote skozi ovoj stavbe. Izračun sem naredili s programom TOST [6].

$$H_T \leq 0,28 + \frac{T_L}{300} + \frac{0,04}{f_0} + \frac{z}{4} \quad [2]$$

z ... brezdimenzijsko razmerje med površino oken in površino toplotnega ovoja stavbe

f_0 ... oblikovni faktor, ki izraža razmerje med površino celotnega zunanjega ovoja in kondicionirano prostornino stavbe

T_L ... povprečna letna zunanjna temperatURA

V izračunih upoštevam, da izdelujem dokumentacijo za projekt izvedenih del in ne upoštevam toplotnih mostov, ker obstoječa stavba ni toplotno izolirana. Za ogrevanje objekta se uporablja peč na kurično olje, za katero ni to nihod podatkov za generacijo, distribucijo in emisije, zato sem omenjene vrednosti povzel iz priporočenih vrednosti, ki so podane v uporabniškem programu TOST [36]. V objektu ni naprav za hlajenje, ogrevanje sanitarnih vod pa zagotavljajo sončni kolektorji.

Obravnavan objekt stoji v Rimskih Toplicah (koordinate: X=109064, Y=515077, katere program TOST uporabi za določitev osnovnih klimatskih podatkov). V izračunu nisem upošteval senčenja.

Preglednica 20: Klimatski podatki iz programa TOST [6]

TEMPERATURNI PRIMANJKLJAJ DD [dan K]	3300
PROJEKTNA TEMPERATURA [°C]	-10
POVPREČNA LETNA TEMPERATURA [°C]	10,1
LETNA SONČNA ENERGIJA [kWh/m²]	1139
TRAJANJE OGREVALNE SEZONE [dan]	235
ZA ETEK OGREVALNE SEZONE [dan]	265
KONEC OGREVANE SEZONE [dan]	135

Objekt sem razdelil v dve coni. Za prvo cono sem določil pritlije, ki ima tla na terenu po celotni coni in zidove iz naravnega kamna od višine 0,75 m, ometane s fasadnim ometom. Uporabna površina pritlija je 88 m². Druga cona je nadstropje, ki ima strop proti neogrevanemu podstrešju po celotni coni in zidove iz polne opeke ometane s fasadnim ometom. Uporabna površina nadstropja je 92,19 m².

Preglednica 21: Podatki o mejah obeh con iz programa TOST [6]

NEPROZORNI ELEMENTI				
Oznaka elementa (skladno s Prilogom 1 tabela 1)	Orientacija, naklon	Površina (m ²)	U _i (W/m ² K)	U _{max} (W/m ² K) (Pril.1 tab.1)
1. Zunanje stene in stene proti neogrevanim prostorom, 1.OC	Vert	86,66	1,858	0,280
6. Tla na terenu, 1.OC	Horiz	114,44	2,732	0,350
1. Zunanje stene in stene proti neogrevanim prostorom, 2.OC	Vert	121,75	1,641	0,280
10. Strop proti neogrevanemu prostoru, ravne ali poševne streha, 2.OC	Horiz	118,13	0,570	0,200

V objektu so vgrajena stara lesena okna z enojno zasteklitvijo. Okna so v slabem stanju glede tesnjena; med okvirjem okna in krilom ni tesnila. Okna imajo dvoje kril; krilo na zunanjih strani, vmesni prostor in krilo na notranji strani. Glede na stanje oken sem izbral faktor toplotne prehodnosti oken U_w 2,9 W/m²K in koeficient skupnega prehoda sončne energije skozi zastekljeno steklo g 0,85.

Preglednica 22: Seznam odprtin po posameznih conah iz programa TOST [6]

PROZORNI ELEMENTI				
Oznaka elementa	Orientacija, naklon	Površina (m ²)	U _{elementa} (W/m ² K)	Faktor prehoda celotnega sončnega sevanja; g
Zunanje okno 1.OC	Jug	9,13	2,900	0,85
Zunanje okno 1.OC	Vzhod	8,58	2,900	0,85
Zunanje okno 1.OC	Zahod	1,06	2,900	0,85
Zunanje okno 2.OC	Jug	3,30	2,900	0,85
Zunanje okno 2.OC	Sever	3,30	2,900	0,85
Zunanje okno 2.OC	Vzhod	13,11	2,900	0,85
Zunanje okno 2.OC	Zahod	5,37	2,900	0,85

Za obe coni sem upošteval zahtevo 14. lena Pravilnika o prezračevanju in klimatizaciji stavb po zagotavljanju priporočljive temperature v letu ogrevanja 20 °C in v letu brez ogrevanja maksimalno 26 °C. Prezračevanje je v celotnem objektu naravno, zato sem upošteval minimalno urno izmenjavo zraka 0,5 h⁻¹, ki jo določa 8. len Pravilnika o prezračevanju in klimatizaciji stavb [13].

Preglednica 23: Rezultat iz programa TOST [6], koeficient specifičnih transmisijskih topotnih izgub stavbe

	Izračunan	Največji dovoljen
Koeficient specifičnih transmisijskih topotnih izgub stavbe	H _T = 1,38 W/m ² K	H _{Tmax} = 0,38 W/m ² K

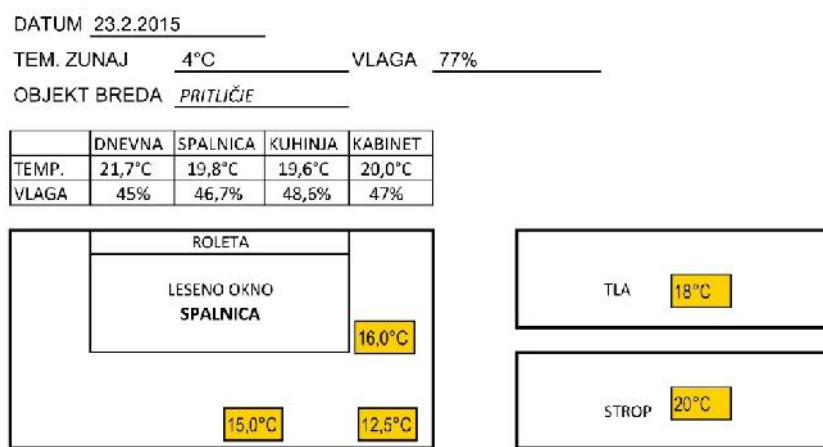
Iz rezultata vidimo, da je izračunani koeficient bistveno večji od dovoljenega. Ta rezultat nam pove, da je potrebno sanirati celotni topotni oviro, da dobimo transmisijske topotne izgube v dovoljen okvir.

8.0 PRIMERJAVA MERITEV IN REZULTATI IZ PROGRAMA TEDI

8.1 Rezultati terenskih meritev in primerjava rezultatov iz programa TEDI na dan 23. 2. 2015

Dne 23. 2. 2015 je bila zunanjna temperatura zraka 4 °C in relativna vlažnost 77 %.

Slika 21: Prikaz izmerjenih meritev 23. 2. 2015 v spalnici pritli ja. V rumenih okvir kih je prikazana povprečna površinska temperatura [°C] na notranji strani KS



Preglednica 24: Izračuna površinske temperature na stikih plasti v [°C] (KS zid pod koto +0,8 m) 23. 2. 2015

Številka plasti	NOTRI, povr. T [°C]	ZUNAJ, povr. T [°C]
1. notranji omet	15,8	14,2
2. naravni kamen	14,2	6,2

Različna površinska temperatura v tem delu KS odstopa za 3,3 °C od izmerjene.

Preglednica 25: Izračuna površinske temperature na stikih plasti v [°C] (KS zid nad koto +0,8 m) 23. 2. 2015

Številka plasti	NOTRI, povr. T [°C]	ZUNAJ, povr. T [°C]
1. notranji omet	16,4	15,1
2. naravni kamen	15,1	8,3
3. fasadni omet	8,3	6,1

Različna površinska temperatura v tem delu KS odstopa za 0,4 °C od izmerjene.

Preglednica 26: Izračuna površinske temperature na stikih plasti v [°C] (KS tla na terenu) 23. 2. 2015

Številka plasti	NOTRI, povr. T [°C]	ZUNAJ, povr. T [°C]
1. hrastov parket	16,8	14,6
2. betonski estrih	14,6	13,3
3. drenažno nasutje	13,3	10,0

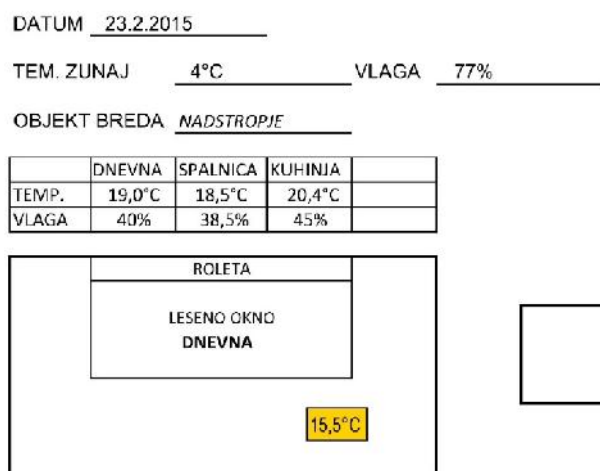
Ravninska površinska temperatura v tem delu KS odstopa za 1,2 °C od izmerjene.

Preglednica 27: Izračunane površinske temperature na stikih plasti v [°C] (KS medetažna plošča) 23. 2. 2015

Številka plasti	NOTRI, povr. T [°C]	ZUNAJ, povr. T [°C]
1. stropni omet	19,2	19,1
2. »monta plošča«	19,1	17,6
3. betonski estrih	17,6	17,5
4. hrastov parket	17,5	17,1

Ravninska površinska temperatura v tem delu KS odstopa za 0,8 °C od izmerjene.

Slika 22: Prikaz izmerjenih meritev 23. 2. 2015 v dnevnem prostoru nadstropja. V rumenih okvirkih je prikazana povprečna površinska temperatura [°C] na notranji strani KS



Preglednica 28: Izračunane površinske temperature na stikih plasti v [°C] (KS zid v nadstropju) 23. 2. 2015

Številka plasti	NOTRI, povr. T [°C]	ZUNAJ, povr. T [°C]
1. apnena malta	16,0	15,4
2. polna opeka	15,4	7,9
3. fasadni omet	7,9	5,9

Ravninska površinska temperatura v tem delu KS odstopa za 0,5 °C od izmerjene.

Preglednica 29: Izraunane površinske temperature na stikih plasti v [°C] (KS ploša proti podstrešju) 23. 3. 2015

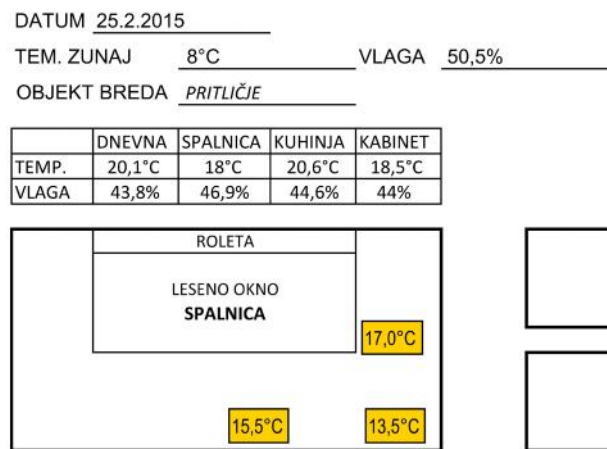
Številka plasti	NOTRI, povr. T [°C]	ZUNAJ, povr. T [°C]
1. stropni omet	18,0	17,8
2. »monta ploša«	17,8	14,9
3. betonski estrih	14,9	14,8
4. izolacija EPS 50	14,8	5,5
6. PVC FOLIJA, MEHKA	5,5	5,5
6. betonski estrih	5,5	5,3

Ravninska površinska temperatura v tem delu KS odstopa za 0,5 °C od izmerjene.

8.2 Rezultati terenskih meritev in primerjava rezultatov iz programa TEDI na dan 25. 2. 2015

Dne 25. 2. 2015 je bila zunanjna temperatura zraka 8 °C in relativna vlažnost 50,5 %.

Slika 23: Prikaz izmerjenih meritev 25. 2. 2015 v spalnici pritli ja. V rumenih okvir kih je prikazana povprečna površinska temperatura [°C] na notranji strani KS



Preglednica 30: Izračunane površinske temperature na stikih plasti v [°C] (KS zid pod koto +0,8 m) 25. 3. 2015

Številka plasti	NOTRI, povr. T [°C]	ZUNAJ, povr. T [°C]
1. notranji omet	14,5	13,1
2. naravni kamen	13,1	6,1

Računska površinska temperatura v tem delu KS odstopa za 1,0 °C od izmerjene.

Preglednica 31: Izračunane površinske temperature na stikih plasti v [°C] (KS zid nad koto +0,8 m) 25. 3. 2015

Številka plasti	NOTRI, povr. T [°C]	ZUNAJ, povr. T [°C]
1. notranji omet	15,0	13,9
2. naravni kamen	13,9	7,9
3. fasadni omet	7,9	5,9

Računska površinska temperatura v tem delu KS odstopa za 2,0 °C od izmerjene.

Preglednica 32: Izra unane površinske temperature na stikih plasti v [°C] (KS tla na terenu)

25. 3. 2015

Številka plasti	NOTRI, povr. T [°C]	ZUNAJ, povr. T [°C]
1. hrastov parket	15,6	13,8
2. betonski estrih	13,8	12,7
3. drenažno nasutje	12,7	10,0

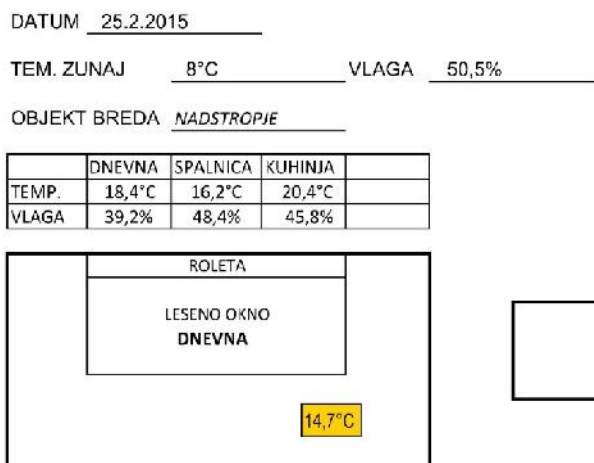
Rav unska površinska temperatura v tem delu KS odstopa za 0,8 °C od izmerjene.

Preglednica 33: Izra unane površinske temperature na stikih plasti v [°C] (KS medetažna ploš a) 25. 3. 2015

Številka plasti	NOTRI, povr. T [°C]	ZUNAJ, povr. T [°C]
1. stropni omet	17,7	17,6
2. »monta ploš a«	17,6	16,8
3. betonski estrih	16,8	16,7
4. hrastov parket	16,7	16,5

Rav unska površinska temperatura v tem delu KS odstopa za 0,3 °C od izmerjene.

Slika 24: Prikaz izmerjenih meritev 25. 2. 2015 v dnevnem prostoru nadstropja. V rumenih okvir kih je prikazana povpre na površinska temperatura [°C] na notranji strani KS



Preglednica 34: Izra unane površinske temperature na stikih plasti v [°C] (KS zid v nadstropju) 25. 3. 2015

Številka plasti	NOTRI, povr. T [°C]	ZUNAJ, povr. T [°C]
1. apnena malta	15,5	15,0
2. polna opeka	15,0	7,8
3. fasadni omet	7,8	5,9

Ravninska površinska temperatura v tem delu KS odstopa za 0,8 °C od izmerjene.

Preglednica 35: Izra unane površinske temperature na stikih plasti v [°C] (KS plošča proti podstrešju) 25. 3. 2015

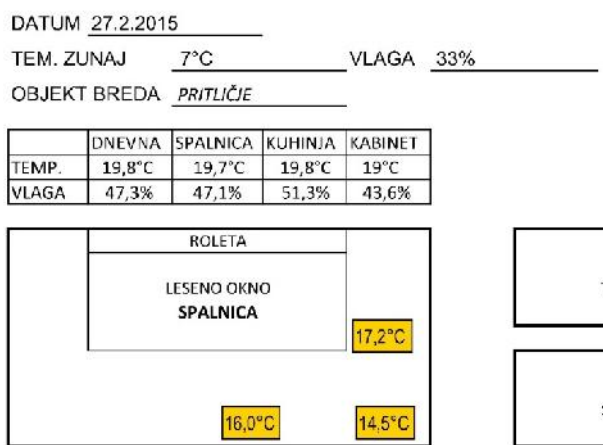
Številka plasti	NOTRI, povr. T [°C]	ZUNAJ, povr. T [°C]
1. stropni omet	17,4	17,3
2. »monta plošča«	17,3	14,5
3. betonski estrih	14,5	14,4
4. izolacija EPS 50	14,4	5,5
5. PVC FOLIJA, MEHKA	5,5	5,5
6. betonski estrih	5,5	5,3

Ravninska površinska temperatura v tem delu KS odstopa za 0,4 °C od izmerjene.

8.3 Rezultati terenskih meritev in primerjava rezultatov iz programa TEDI na dan 27. 2. 2015

Dne 27. 2. 2015 je bila zunanjna temperatura zraka 7 °C in relativna vlažnost 33 %.

Slika 25: Prikaz izmerjenih meritev 27. 2. 2015 v spalnici pritli ja. V rumenih okvir kih je prikazana povprečna površinska temperatura [°C] na notranji strani KS



Preglednica 36: Izračuna površinske temperature na stikih plasti v [°C] (KS zid pod koto +0,8 m) 27. 3. 2015

Številka plasti	NOTRI, povr. T [°C]	ZUNAJ, povr. T [°C]
1. notranji omet	15,7	14,2
2. naravni kamen	14,2	6,2

Različna površinska temperatura v tem delu KS odstopa za 1,2 °C od izmerjene.

Preglednica 37: Izračuna površinske temperature na stikih plasti v [°C] (KS zid nad koto +0,8 m) 27. 3. 2015

Številka plasti	NOTRI, povr. T [°C]	ZUNAJ, povr. T [°C]
1. notranji omet	16,3	15,0
2. naravni kamen	15,0	8,3
3. fasadni omet	8,3	6,0

Različna površinska temperatura v tem delu KS odstopa za 0,9 °C od izmerjene.

Preglednica 38: Izračune površinske temperature na stikih plasti v [°C] (KS tla na terenu)
27. 3. 2015

Številka plasti	NOTRI, povr. T [°C]	ZUNAJ, povr. T [°C]
1. hrastov parket	16,8	14,6
2. betonski estrih	14,6	13,2
3. drenažno nasutje	13,2	10,0

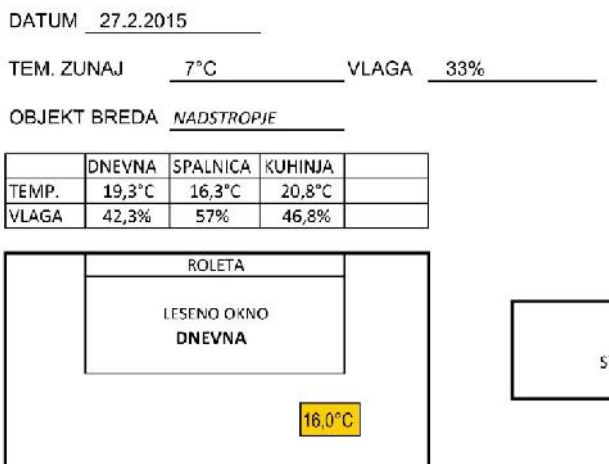
Računska površinska temperatura v tem delu KS odstopa za 1,2 °C od izmerjene.

Preglednica 39: Izračune površinske temperature na stikih plasti v [°C] (KS medetažna plošča) 27. 3. 2015

Številka plasti	NOTRI, povr. T [°C]	ZUNAJ, povr. T [°C]
1. stropni omet	19,1	19,0
2. »monta plošča«	19,0	17,4
3. betonski estrih	17,4	17,3
4. hrastov parket	17,3	16,9

Računska površinska temperatura v tem delu KS odstopa za 0,1 °C od izmerjene.

Slika 26: Prikaz izmerjenih meritev 27. 2. 2015 v dnevnem prostoru nadstropja. V rumenih okvirkih je prikazana povprečna površinska temperatura [°C] na notranji strani KS



Preglednica 40: Izra unane površinske temperature na stikih plasti v [°C] (KS zid v nadstropju) 27. 3. 2015

Številka plasti	NOTRI, povr. T [°C]	ZUNAJ, povr. T [°C]
1. apnena malta	16,2	15,7
2. polna opeka	15,7	8,0
3. fasadni omet	8,0	5,9

Ra unska površinska temperatura v tem delu KS odstopa za 0,2 °C od izmerjene.

Preglednica 41: Izra unane površinske temperature na stikih plasti v [°C] (KS ploš a proti podstrešju) 27. 3. 2015

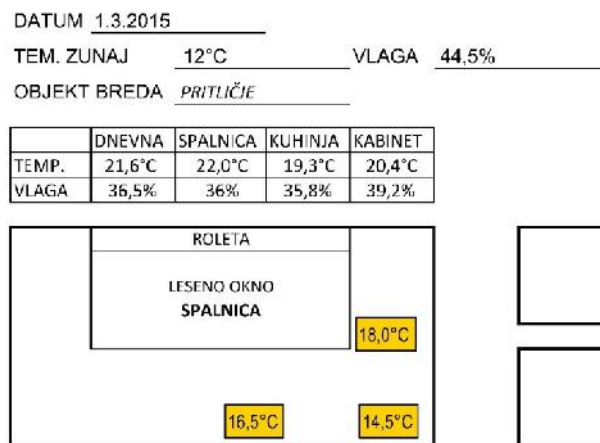
Številka plasti	NOTRI, povr. T [°C]	ZUNAJ, povr. [°C]
1. stropni omet	18,2	18,1
2. »monta ploš a«	18,1	15,2
3. betonski estrih	15,2	15,0
4. izolacija EPS 50	15,0	5,5
6. PVC FOLIJA, MEHKA	5,5	5,5
6. betonski estrih	5,5	5,3

Ra unska površinska temperatura v tem delu KS odstopa za 0,7 °C od izmerjene.

8.4 Rezultati terenskih meritev in primerjava rezultatov iz programa TEDI na dan 1. 3. 2015

Dne 1. 3. 2015 je bila zunanjega temperatura zraka 12 °C in relativna vlažnost 44,5 %.

Slika 27: Prikaz izmerjenih meritev 1. 3. 2015 v spalnici pritli ja. V rumenih okvir kih je prikazana povprečna površinska temperatura [°C] na notranji strani KS



Preglednica 42: Izračunane površinske temperature na stikih plasti v [°C] (KS zid pod koto +0,8 m) 1. 3. 2015

Številka plasti	NOTRI, povr. T [°C]	ZUNAJ, povr. T [°C]
1. notranji omet	17,4	15,6
2. naravni kamen	15,6	6,4

Računska površinska temperatura v tem delu KS odstopa za 3,1 °C od izmerjene.

Preglednica 43: Izračunane površinske temperature na stikih plasti v [°C] (KS zid nad koto +0,8 m) 1. 3. 2015

Številka plasti	NOTRI, povr. T [°C]	ZUNAJ, povr. T [°C]
1. notranji omet	18,1	16,6
2. naravni kamen	16,6	8,8
3. fasadni omet	8,8	6,2

Računska površinska temperatura v tem delu KS odstopa za 0,1 °C od izmerjene.

Preglednica 44: Izra unane površinske temperature na stikih plasti v [°C] (KS tla na terenu)

1. 3. 2015

Številka plasti	NOTRI, povr. T [°C]	ZUNAJ, povr. T [°C]
1. hrastov parket	18,4	15,7
2. betonski estrih	15,7	14,0
3. drenažno nasutje	14,0	10,0

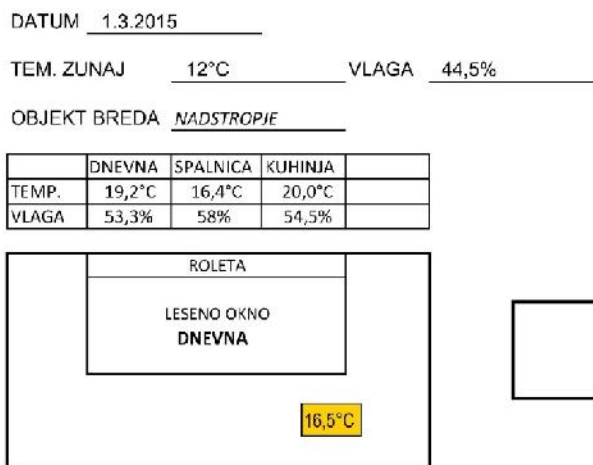
Ra unska površinska temperatura v tem delu KS odstopa za 2,1 °C od izmerjene.

Preglednica 45: Izra unane površinske temperature na stikih plasti v [°C] (KS medetažna ploš a) 1. 3. 2015

Številka plasti	NOTRI, povr. T [°C]	ZUNAJ, povr. T [°C]
1. stropni omet	21,0	20,9
2. »monta ploš a«	20,9	18,2
3. betonski estrih	18,2	18,1
4. hrastov parket	18,1	17,4

Ra unska površinska temperatura v tem delu KS odstopa za 0,8 °C od izmerjene.

Slika 28: Prikaz izmerjenih meritev 1. 3. 2015 v dnevnem prostoru nadstropja. V rumenih okvir kih je prikazana povpre na površinska temperatura [°C] na notranji strani KS



Preglednica 46: Izra unane površinske temperature na stikih plasti v [°C] (KS zid v nadstropju) 1. 3. 2015

Številka plasti	NOTRI, povr. T [°C]	ZUNAJ, povr. T [°C]
1. apnena malta	16,2	15,6
2. polna opeka	15,6	7,9
3. fasadni omet	7,9	5,9

Ravninska površinska temperatura v tem delu KS odstopa za 0,3 °C od izmerjene.

Preglednica 47: Izra unane površinske temperature na stikih plasti v [°C] (KS plošča proti podstrešju) 1. 3. 2015

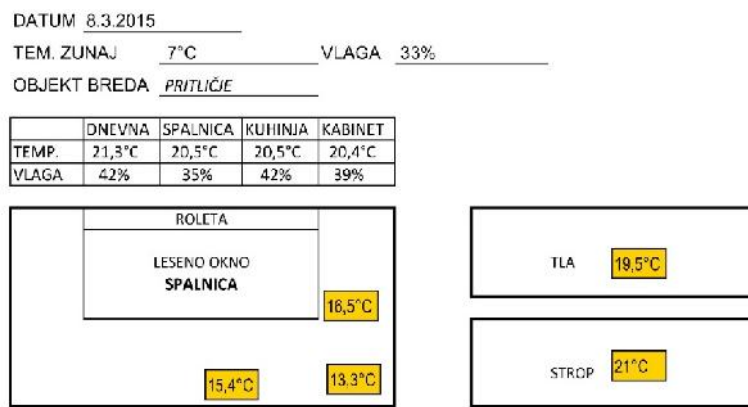
Številka plasti	NOTRI, povr. T [°C]	ZUNAJ, povr. T [°C]
1. stropni omet	18,1	18,0
2. »monta plošča«	18,0	15,1
3. betonski estrih	15,1	14,9
4. izolacija EPS 50	14,9	5,5
6. PVC FOLIJA, MEHKA	5,5	5,5
6. betonski estrih	5,5	5,3

Ravninska površinska temperatura v tem delu KS odstopa za 0,4 °C od izmerjene.

8.5 Rezultati terenskih meritev in primerjava rezultatov iz programa TEDI na dan 8. 3. 2015

Dne 8. 3. 2015 je bila zunanjna temperatura zraka 7 °C in relativna vlažnost 33%.

Slika 29: Prikaz izmerjenih meritev 8. 3. 2015 v spalnici pritli ja. V rumenih okvir kih je prikazana povprečna površinska temperatura [°C] na notranji strani KS



Preglednica 48: Izračunane površinske temperature na stikih plasti v [°C] (KS zid pod koto +0,8 m) 8. 3. 2015

Številka plasti	NOTRI, povr. T [°C]	ZUNAJ, povr. T [°C]
1. notranji omet	16,3	14,7
2. naravni kamen	14,7	6,3

Ravninska površinska temperatura v tem delu KS odstopa za 3,0 °C od izmerjene.

Preglednica 49: Izračunane površinske temperature na stikih plasti v [°C] (KS zid nad koto +0,8 m) 8. 3. 2015

Številka plasti	NOTRI, povr. T [°C]	ZUNAJ, povr. T [°C]
1. notranji omet	16,9	15,6
2. naravni kamen	15,6	8,5
3. fasadni omet	8,5	6,1

Ravninska površinska temperatura v tem delu KS odstopa za 0,4 °C od izmerjene.

Preglednica 50: Izračune površinske temperature na stikih plasti v [°C] (KS tla na terenu)
8. 3. 2015

Številka plasti	NOTRI, povr. T [°C]	ZUNAJ, povr. T [°C]
1. hrastov parket	17	14,5
2. betonski estrih	14,5	12,9
3. drenažno nasutje	12,9	10

Računska površinska temperatura v tem delu KS odstopa za 2,5 °C od izmerjene.

Preglednica 51: Izračune površinske temperature na stikih plasti v [°C] (KS medetažna plošča) 8. 3. 2015

Številka plasti	NOTRI, povr. T [°C]	ZUNAJ, povr. T [°C]
1. stropni omet	19,6	19,5
2. »monta plošča«	19,5	17,0
3. betonski estrih	17,0	16,9
4. hrastov parket	16,9	16,2

Računska površinska temperatura v tem delu KS odstopa za 1,4 °C od izmerjene.

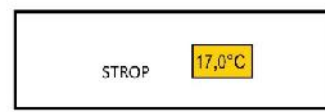
Slika 30: Prikaz izmerjenih meritev 8. 3. 2015 v dnevnem prostoru nadstropja. V rumenih okvirkih je prikazana povprečna površinska temperatura [°C] na notranji strani KS

DATUM 8.3.2015

TEM. ZUNAJ 7°C VLAGA 33%

OBJEKT BREDA NADSTROPIJE

	DNEVNA	SPALNICA	KUHINJA	
TEMP.	18,4°C	15,3°C	19,6°C	
VLAGA	39%	41,3%	38%	



Preglednica 52: Izra unane površinske temperature na stikih plasti v [°C] (KS zid v nadstropju) 8. 3. 2015

Številka plasti	NOTRI, povr. T [°C]	ZUNAJ, povr. T [°C]
1. apnena malta	15,5	15,0
2. mrežasti ope ni votlak	15,0	7,8
3. fasadni omet	7,8	5,9

Ra unska površinska temperatura v tem delu KS odstopa za 0,5 °C od izmerjene.

Preglednica 53: Izra unane površinske temperature na stikih plasti v [°C] (KS ploš a proti podstrešju) 8. 3. 2015

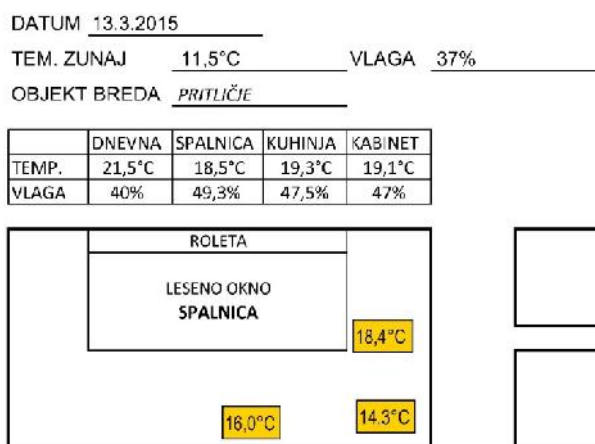
Številka plasti	NOTRI, povr. T [°C]	ZUNAJ, povr T [°C]
1. stropni omet	17,4	17,3
2. »monta ploš a«	17,3	14,5
3. betonski estrih	14,5	14,4
4. izolacija EPS 50	14,4	5,5
6. PVC FOLIJA, MEHKA	5,5	5,5
6. betonski estrih	5,5	5,3

Ra unska površinska temperatura v tem delu KS odstopa za 0,4 °C od izmerjene.

8.6 Rezultati terenskih meritev in primerjava rezultatov iz programa TEDI na dan 13. 3. 2015

Dne 13. 3. 2015 je bila zunanjega temperatura zraka 11,5 °C in relativna vlažnost 37 %.

Slika 31: Prikaz izmerjenih meritev 13. 3. 2015 v spalnici pritlija. V rumenih okvirjih je prikazana povprečna površinska temperatura [°C] na notranji strani KS



Preglednica 54: Izračunane površinske temperature na stikih plasti v [°C] (KS zid pod koto +0,8 m) 13. 3. 2015

Številka plasti	NOTRI, povr. T [°C]	ZUNAJ, povr. T [°C]
1. notranji omet	14,8	13,4
2. naravni kamen	13,4	6,1

Računska površinska temperatura v tem delu KS odstopa za 0,5 °C od izmerjene.

Preglednica 55: Izračunane površinske temperature na stikih plasti v [°C] (KS zid nad koto +0,8 m) 13. 3. 2015

Številka plasti	NOTRI, povr. T [°C]	ZUNAJ, povr. T [°C]
1. notranji omet	15,4	14,2
2. naravni kamen	14,2	8,0
3. fasadni omet	8,0	6,0

Računska površinska temperatura v tem delu KS odstopa za 3,0 °C od izmerjene.

Preglednica 56: Izra unane površinske temperature na stikih plasti v [°C] (KS tla na terenu)

13. 3. 2015

Številka plasti	NOTRI, povr. T [°C]	ZUNAJ, povr. T [°C]
1. hrastov parket	15,9	14,0
2. betonski estrih	14,0	12,8
3. drenažno nasutje	12,8	10,0

Ra unska površinska temperatura v tem delu KS odstopa za 1,2 °C od izmerjene.

Preglednica 57: Izra unane površinske temperature na stikih plasti v [°C] (KS medetažna ploš a) 13. 3. 2015

Številka plasti	NOTRI, povr. T [°C]	ZUNAJ, povr. T [°C]
1. stropni omet	18,2	18,1
2. »monta ploš a«	18,1	17,3
3. betonski estrih	17,3	17,2
4. hrastov parket	17,2	17,0

Ra unska površinska temperatura v tem delu KS odstopa za 0,2 °C od izmerjene.

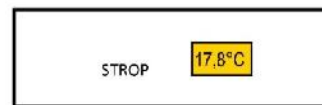
Slika 32: Prikaz izmerjenih meritev 13. 3. 2015 v dnevnom prostoru nadstropja. V rumenih okvir kih je prikazana povprečna površinska temperatura [°C] na notranji strani KS

DATUM 13.3.2015

TEM. ZUNAJ 11,5°C VLAGA 37%

OBJEKT BREDA NADSTROPJE

	DNEVNA	SPALNICA	KUHINJA	
TEMP.	19,1°C	16,7°C	20,2°C	
VLAGA	40,5%	46%	45,2%	



Preglednica 58: Izra unane površinske temperature na stikih plasti v [°C] (KS zid v nadstropju) 13. 3. 2015

Številka plasti	NOTRI, povr. T [°C]	ZUNAJ, povr. T [°C]
1. apnena malta	16,1	15,5
2. polna opeka	15,5	7,9
3. fasadni omet	7,9	5,9

Ravninska površinska temperatura v tem delu KS odstopa za 0,4 °C od izmerjene.

Preglednica 59: Izra unane površinske temperature na stikih plasti v [°C] (KS plošča proti podstrešju) 13. 3. 2015

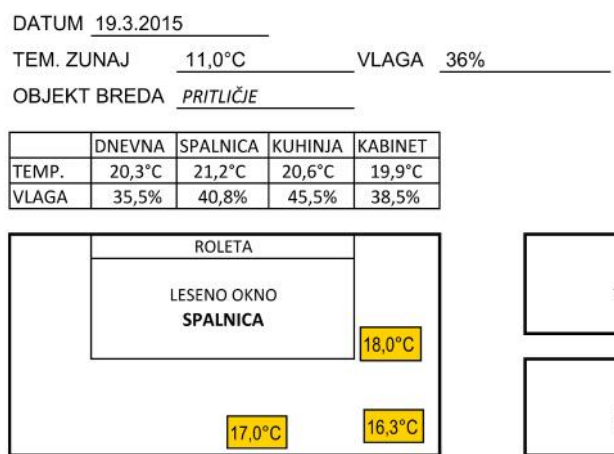
Številka plasti	NOTRI, povr. T [°C]	ZUNAJ, povr. T [°C]
1. stropni omet	18,1	17,9
2. »monta plošča«	17,9	15,0
3. betonski estrih	15,0	14,9
4. izolacija EPS 50	14,9	5,5
6. PVC FOLIJA, MEHKA	5,5	5,5
6. betonski estrih	5,5	5,3

Ravninska površinska temperatura v tem delu KS odstopa za 0,3 °C od izmerjene.

8.7 Rezultati terenskih meritev in primerjava rezultatov iz programa TEDI na dan 19. 3. 2015

Dne 19. 3. 2015 je bila zunanjna temperatura zraka 11 °C in relativna vlažnost 36%.

Slika 33: Prikaz izmerjenih meritev 19. 3. 2015 v spalnici pritli ja. V rumenih okvir kih je prikazana povprečna površinska temperatura [°C] na notranji strani KS



Preglednica 60: Izračuna površinske temperature na stikih plasti v [°C] (KS zid pod koto +0,8 m) 19. 3. 2015

Številka plasti	NOTRI, povr. T [°C]	ZUNAJ, povr. T [°C]
1. notranji omet	16,8	15,1
2. naravni kamen	15,1	6,4

Računska površinska temperatura v tem delu KS odstopa za 0,5 °C od izmerjene.

Preglednica 61: Izračuna površinske temperature na stikih plasti v [°C] (KS zid nad koto +0,8 m) 19. 3. 2015

Številka plasti	NOTRI, povr. T [°C]	ZUNAJ, povr. T [°C]
1. notranji omet	17,5	16,0
2. naravni kamen	16,0	8,6
3. fasadni omet	8,6	6,1

Računska površinska temperatura v tem delu KS odstopa za 0,5 °C od izmerjene.

Preglednica 62: Izra unane površinske temperature na stikih plasti v [°C] (KS tla na terenu)
19. 3. 2015

Številka plasti	NOTRI, povr. T [°C]	ZUNAJ, povr. T [°C]
1. hrastov parket	17,8	15,3
2. betonski estrih	15,3	13,7
3. drenažno nasutje	13,7	10,0

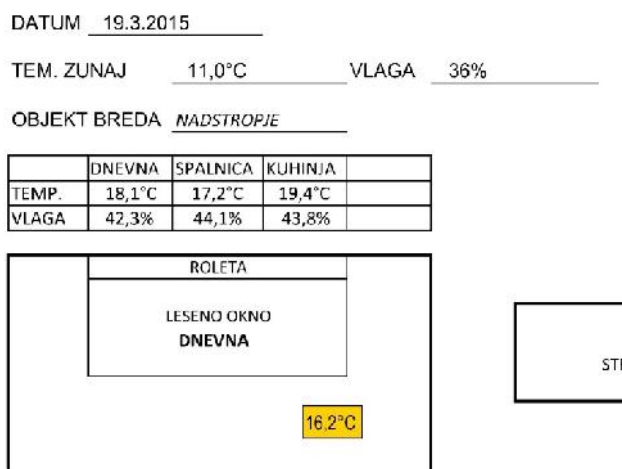
Ra unska površinska temperatura v tem delu KS odstopa za 2,2 °C od izmerjene.

Preglednica 63: Izra unane površinske temperature na stikih plasti v [°C] (KS medetažna ploš a) 19. 3. 2015

Številka plasti	NOTRI, povr. T [°C]	ZUNAJ, povr. T [°C]
1. stropni omet	20,5	20,4
2. »monta ploš a«	20,4	18,5
3. betonski estrih	18,5	18,4
4. hrastov parket	18,4	17,9

Ra unska površinska temperatura v tem delu KS odstopa za 0,5 °C od izmerjene.

Slika 34: Prikaz izmerjenih meritev 19. 3. 2015 v dnevnem prostoru nadstropja. V rumenih okvir kih je prikazana povpre na površinska temperatura [°C] na notranji strani KS



Preglednica 64: Izra unane površinske temperature na stikih plasti v [°C] (KS zid v nadstropju) 19. 3. 2015

Številka plasti	NOTRI, povr. T [°C]	ZUNAJ, povr. T [°C]
1. apnena malta	15,8	15,2
2. polna opeka	15,2	7,8
3. fasadni omet	7,8	5,9

Ra unska površinska temperatura v tem delu KS odstopa za 0,4 °C od izmerjene.

Preglednica 65: Izra unane površinske temperature na stikih plasti v [°C] (KS ploš a proti podstrešju) 19. 3. 2015

Številka plasti	NOTRI, povr. T [°C]	ZUNAJ, povr. T [°C]
1. stropni omet	17,7	17,5
2. »monta ploš a«	17,5	14,7
3. betonski estrih	14,7	14,6
4. izolacija EPS 50	14,6	5,5
6. PVC FOLIJA, MEHKA	5,5	5,5
6. betonski estrih	5,5	5,3

Ra unska površinska temperatura v tem delu KS odstopa za 0,2 °C od izmerjene.

Nizka površinska temperatura KS lahko vodi do pojava plesni in gliv. Možen vpliv gliv na zdravje bo predstavljen v nadaljevanju.

9.0 GLIVE IN NJIHOV VPLIV NA ZDRAVJE LJUDI V NJIHOVEM BIVALNEM OKOLJU

Glive so v naravi prisotne tako v notranjem kot zunanjem okolju in se lahko pojavijo kot paraziti, ki povzročajo bolezni pri loveku, živalih in rastlinah. Glive delimo na plesni, kvasovke in gobe. Pajek je v znanstvenem lanku [29] s pomočjo številnih študij preučil možne vzroke za pojav plesni v notranjem okolju, posledice njihovega vpliva na ljudi in definiral pogoje za njihov nastanek. V lanku navaja, da imajo glive v bivalnem okolju lahko negativen vpliv na zdravje. Poznamo tri glavne mehanizme obolenj, ki jih povzročajo, in sicer okužbe, alergije in zastrupitve, ki so odvisne od vrste gliv. Okužbe najpogosteje zajamejo kožo in plju, redkeje pa tudi centralni živni sistem, kosti, sklepe in bezgavke. Najpogostejše oblike bolezni so kronična obstruktivna plju na bolezen, astma, kašelj, težko dihanje ipd. Najbolj izpostavljeni so ljudje, ki so zaradi imunskega okvar manj odporni, kadilci in otroci [29].

Preglednica 66: Vpliv gliv (plesni) na zdravje ljudi pri različnih študijah [29]

ŠTUDIJE	VPLIV NA ZDRAVJE
[Simčič, 2010], Slovenija	Povzročajo bolezni dihal: cistično fibrozo, kronično obstruktivno plju na bolezen, druge bolezni dihal. Pojav bolezni je odvisen od zdravstvenega in imunskega stanja loveka. Pogosteje se bolezen pojavi pri kadilcih. Invazivne (bolnišni ne) okužbe s plesnimi Aspergillus sp. najpogosteje prizadenejo loveka po presaditvi srca ali plju .

Se nadaljuje ...

nadaljevanje...

<p>[edd, 2002], ZDA</p>	<p>Z vdihavanjem spor povzročajo okužbe dihal.</p> <p>Najpogosteja so alergijska obolenja, kot so: alergijski rinitis in konjuktivitis, alergijska astma in preob utljivostni pnevmonitis.</p> <p>Pri ljudeh z astmo v primeru izpostavljenosti plesnim povzročajo težko dihanje.</p> <p>Okužbe se pojavijo pri ob utljivih ljudeh (imunsko oslabljeni ljudje ali z zaletki plju ne bolezni), predvsem v bolnišnicah.</p> <p>Možna je povezava plesni s plju no krvavitvijo in izgubo spomina, a ni znanstveno dokazana.</p> <p>Izpostavljenost plesnim ne privede vedno do težav z zdravjem.</p>
<p>[Zock,2002], Španija in Velika Britanija</p>	<p>Lahko povzročajo astmo in bronhialno odzivnost ter simptome, kot so težko dihanje in piskanje v plju inih.</p> <p>Simptomi so lahko alergijski ali nealergijski.</p>
<p>[Gubina, 1998], Slovenija</p>	<p>Vedno ina okužb je oportunističnih. Izpostavljena skupina so imunsko oslabljeni ljudje.</p> <p>Povrhne okužbe prizadenejo sluznico ustne votline, požiralnika in nožnice. Globoke okužbe s kandido povzročajo vročino in obasne bolečine v zgornjem delu trebuha.</p> <p>Pri imunsko oslabelih aspergiloza najpogosteje prizadene plju a.</p>

Pomemben vzrok za nastanek in razvoj gliv v notranjem grajenem okolju je nepravilna gradnja oziroma konstrukcijske napake. Plesen nastane na delih, kjer zaradi nizke površinske temperature kondenzira vlaga iz prostora ali pa iz namotene konstrukcije. Nizka površinska temperatura je lahko posledica slabe izolirnosti ali pa topotnih mostov. Drugi pomemben vzrok so tudi živiljenjske navade uporabnikov, ki s svojimi aktivnostmi in nezadostnim prezračevanjem pove uvečajo vlažnost v prostoru. V zadnjem času se omenjeni vzroki pojavljajo še pogosteje zaradi grebenih posegov v ovoj stavbi, predvsem menjave oken, ki povzročajo večjo zrakotesnost objekta, uporabniki pa svojih živiljenjskih navad ne spremenijo (režim prezračevanja).

Pravilnika o uinkoviti rabi energije v stavbah [24] in tehnična smernica TSG [23] določata, da morajo biti objekti projektirani in zgrajeni tako, da se pri namenski uporabi vodna para, ki

zaradi procesa difuzije prodira v gradbeno konstrukcijo, ne kondenzira. Zagotoviti je potrebno, da celotna koli ina vodne pare, ki se je kondenzirala v gradbeni konstrukciji, niti na koncu ra unskega obdobja difuzijskega navlaževanja in izsuševanja niti med njim ne more povzročiti gradbene škode. Zahteve o minimalni izmenjavi zraka za preprečitev pojava kondenzacije najdemo v Pravilniku o prezračevanju in klimatizaciji stavb [13]. Priporočljiva relativna vlažnost zraka v bivalnih prostorih znaša pod 60 %, kar zmanjšuje možnost kondenzacije in posledi no rast alergenih in patogenih organizmov. Zagotoviti moramo takšno vlažnost zraka, da s svojim neposrednim ali posrednim učinkom ne vpliva na ugodje in zdravje ljudi. Iz pravilnikov lahko ugotovimo, da je prepovedano zadrževanje oziroma vdor vode in vlage v notranje okolje, ker takšne mikroklimatske razmere zmanjšajo možnost pojava in rasti gliv.

10.0 ZASNOVA PRENOVLJENIH KONSTUKCIJSKIH SKLOPOV

Pred izvedbo ukrepov je potrebno analizirati, kje je največja poraba energije. V mojem primeru ni dvoma, da je potrebno obnoviti vse konstrukcijske sklope, ki ne ustrezajo zahtevam Pravilnika o uporabi rabi energije v stavbah [24]. Naš glavni pokazatelj je koeficient specifičnih transmisijskih izgub, ki ima vrednost krepko preko dovoljene vrednosti. Ta rezultat nam pove, da je potrebno dodati toplotno izolacijo. Glavne konstrukcijske sklope sem obnovil s toplotnoizolacijskimi materiali tako, da sem dobil toplotno prevodnost, ki ustreza zakonskih zahtevam. Podatke o sestavi konstrukcijskih sklopov sem vnesel v program TEDI [5] in s pomočjo navodil za uporabo programa [35] določil toplotno prehodnost in difuzijo vodne pare.

10.1 Prenovljen zunanji zid v pritliju do višinske kote +0,75 m

Zunanji zid v pritliju sem v višini, kjer je samo kamen brez fasadnega ometa, oblekel z izolacijo STIROCOKL debeline 18 cm. Podnožje fasade mora biti izvedeno iz trdih izolacijskih plošč, ki so zelo malo vodo vpoljne. Zaključni ometi so lahko izdelani iz več materialov. V našem primeru sem izvedel zaključni sloj iz drobljenega marmorja, ki zagotavlja maksimalno barvno obstojnost. Podnožje ali cokel lahko oblečemo tudi z zaključnim slojem iz naravnega kamna ali podobno [30].

Preglednica 67: Prenovljen zunanji zid v pritli ju do višinske kote +0,75 m

SHEMA KS		SESTAVA KS		
ZUNAJ		št. plasti	material plasti	d (cm)
		1	zaklju ni sloj	0,2
		2	toplotna izolacija (stirocokl)	18
		3	naravni kamen	30
		4	apnena malta	4
ZNOTRAJ		TOPLOTNA PREHODNOST U (W/m2K)		
		Uizr = 0,187 < Umax = 0,280; USTREZA		

Razun difuzije vodne pare ni potreben, ker v KS ne pride do nastanka kondenza.

10.2 Prenovljen zunanji zid v pritli ju nad višinsko koto +0,75 m

Zunanji zid v pritli ju sem v delu, kjer že imamo obstoje fasadni omet, oblikel s toplotno izolacijo FRAGMAT EPS-F GRAPHITE debeline 15 cm. Obstoe o fasado dobro o istimo umazanije in preverimo trdoto podlage in na njo s stirolim lepilom prilepimo izolacijske ploše, ki jih po potrebi še dodatno pritrdimo s pritrtili. Armirni sloj izdelamo tako, da za prvi sloj nanesemo malto oziroma armirano fasadno lepilo in v sveži sloj malte vtisnemo armirno mrežico od zgoraj navzdol. Armirno mrežico prekrijemo z drugim slojem malte [30].

Preglednica 68: Prenovljen zunanji zid v pritli ju nad višinsko koto +0,75 m

SHEMA KS		SESTAVA KS		
ZUNAJ		št.plasti	material plasti	d (cm)
		1	zaklju ni sloj	0,2
		2	toplotna izolacija	15
		3	fasadni omet	6
		4	naravni kamen	30
		5	apnena malta	4
ZNOTRAJ		TOPLOTNA PREHODNOST U (W/m2K)		
		Uizr = 0,226 < Umax = 0,280; USTREZA		

Razun difuzije vodne pare ni potreben, ker v KS ne pride do nastanka kondenza.

10.3 Prenovljen zunanj zid v nadstropju

Zunanji zid v nadstropju sem obložili s toplotno izolacijo KANUF FPL-035. To je izolacija iz kamene volne, ki je primerna za prezra evane fasade. Ploš e imajo na zunanji strani kaširan dodatni sloj steklenega voala, ki služi kot vetrna zaš ita. Na obstoje fasadni omet pritrdimo aluminijasto podkonstrukcijo za pritrjevanje finalne obloge. Fasado obložimo z izolacijskimi ploš ami s pomo jo plasti nih pritrdil. Med izolacijo in finalno oblogo pustimo prezra evalni kanal širine 3 cm, po katerem se zrak izmenjuje. Zra ni sloj zagotavlja toplotno stabilnost in omogo a izsuševanje vlage, ki nastane ob kondenzaciji vodne pare, ki difuzijsko prehaja skozi konstrukcijo. Vлага, ki se ne izsuši, poslabša izolativne lastnosti izolacij [31].

Zaklju ni sloj izvedemo iz MAX EXTERIOR ploš . To so ploš e visokotla nih laminatnih ploš (HPL), namenjene uporabi na prostem. Ploš e imajo površino prevle eno z NT (acryl poliuretanski premaz), s katerim je še dodatno zaš itena in odporna na vremenske vplive in UV svetlobo. Izvedba fasade s to vrsto zaklju nega materiala ima veliko prednosti. Najpomembnejše so zagotovo odpornost na ekstremne vremenske vplive, optimalna obstojnost barv, odpornost na poškodbe, dolgotrajnost, enostavnost iš enja ... [32].

Preglednica 69: Prenovljen zunanj zid nadstropju

SLIKA KS		SESTAVA KS		
ZUNAJ	ZNOTRAJ	št. plasti	material plasti	d (cm)
		1	Funder max exterior ploš e	0,8
		2	zra ni sloj	3
		3	toplotna izolacija	14
		4	fasadni omet	6
		5	polna opeka	25
		6	apnena malta	2,5
TOPLITNA PREHODNOST U (W/m ² K)				
Uizr = 0,188 < Umax = 0,280; USTREZA				

V tem konstrukcijskem sistemu pride do difuzije vodne pare. Kondenz, ki nastane, se nabira v sloju toplotne izolacije. Zra ni sloj omogo a izsuševanje kondenza.

10.4 Prenovljen tlak v pritliju

Tla v pritliju bi zahtevala večji poseg in daljši čas izvedbe. Obstojе tlake bi bilo potrebno odstraniti in poglobiti izkope. Od nule tlaka bi bilo potrebno zemljino izkopati do globine 0,5 m ter nato nasuti in uvaljati gramoz, na katerega bi naredili podložni beton. Na podložni beton bi izvedli hidroizolacijo, ki bi jo zaključevali po vseh zidovih tik pod višino finalne obloge. Na hidroizolacijo bi položili FRAGMAT XPS topotno izolacijo. Plošče imajo visoko tlačno trdnost (300 kPa) in so namenjene za izolacijo tlakov. Na ta sloj topotne izolacije lahko izvedemo plavajoči estrih, nanj pa položimo zaključni sloj iz hrastovega parketa [33].

Preglednica 70: Prenovljen tlak v pritliju

SLIKA KS		SESTAVA KS		
ZUNAJ	ZNOTRAJ	št. plasti	material plasti	d (cm)
		1	hrastov parket	2
		2	betonski estrih	6
		3	XPS izolacija	10
		4	hidroizolacija	0,5
		5	podložni beton	10
		6	drenažno nasutje	15
		7	zemljina	
TOPLITNA PREHODNOST U (W/m ² K)				
U_{izr} = 0,327 < U_{max} = 0,350; USTREZA				

Razpoložljivost difuzije vodne pare ni potreben, 21. len pravilnika.

10.5 Prenovljen strop na neogrevano podstrešje

Stropno konstrukcijo proti neogrevanemu pohodnemu podstrešju bi topotno izolirali na podstrešju. Na obstojе i estrih bi namestili lesene distanse profile višine 14 cm, med katere bi položili mehko topotno izolacijo iz steklene volne. Ker želimo obdržati pohodno podstrešje, položimo OSB plošče. To so plošče, izdelane iz drobljenih furnirjev, ki so orientirani po plasteh znotraj plošče, kar daje plošči dobre mehanske lastnosti. Plošče so lepljene s PMDI (polimerni difenilmethandiisocianat) lepili, ki ne vsebujejo formaldehidov, zato jih odlikuje dobra obstojnost v vlagi [34].

Preglednica 71: Prenovljen strop na neogrevanem podstrešju

SLIKA KS		SESTAVA KS		
NEOGREVANO PODSTREŠJE		št. plasti	material plasti	d (cm)
1	OSB ploš e	2		
2	steklena volna	14		
3	betonski estrih	5		
4	PVC folija, mehka	0,1		
5	FRAGMAT EPS 50	5		
6	betonski estrih	4		
7	monta ploš a ope ni votlak	22		
6	apnena malta	2		
TOPLOTNA PREHODNOST U (W/m ² K)				
U_{izr} = 0,180 < U_{max} = 0,200; USTREZA				

Ra un difuzije vodne pare ni potreben, ker v KS ne pride do nastanka kondenza.

Z rezultati topotne prehodnosti prenovljenih konstrukcijskih sklopov sem ponovno preveril transmisijeske topotne izgube Q(T) [kWh]. Za izra un sem ponovno uporabil program TOST [6].

V izra unih upoštevam, da izdelujem dokumentacijo za pridobitev gradbenega dovoljenja in ne upoštevam topotnih mostov, ker bi jih s temeljito obnovo obdelali. Za ogrevanje objekta nisem spremenjal sistema, uporablja se stara pe na kuriolno olje, za katero ni to nih podatkov za generacijo, distribucijo in emisije, zato sem omenjene vrednosti povzel iz priporo enih vrednosti, ki so podane v uporabniškem priro niknu programa TOST [6]. V objekt nisem dodajal naprav za hlajenje, ogrevanje sanitarne vode pa ostaja preko son nih kolektorjev.

V obnovi sem upošteval, da se vgradijo okna, ki imajo topotno prevodnost (steklo in okvir) manjšo od U_w 1,3 W/m²K in koeficient skupnega prehoda son ne energije skozi zastekljeno steklo g 0,58. Tako zadovoljimo kriterije [23].

Za obe coni sem upošteval zahtevo 14. lena Pravilnika o prezra evanju in klimatizaciji stavb po zagotavljanju priporo ljive temperature vasu ogrevanja 20 °C in vasu brez ogrevanja maksimalno 26 °C. Prezra evanje je v celotnem objektu naravno, zato sem upošteval minimalno urno izmenjavo zraka 0,5 h⁻¹, ki jo dolo a 8. len Pravilnika o prezra evanju in klimatizaciji stavb [13].

Preglednica 72: Rezultat iz programa TOST, koeficient specifičnih transmisijskih topotnih izgub stavbe s prenovljenimi konstrukcijskimi sklopi

	Izračunan	Največji dovoljen
Koeficient specifičnih transmisijskih topotnih izgub stavbe	$H'_{T} = 0,37 \text{ W/m}^2\text{K}$	$H'_{Tmax} = 0,38 \text{ W/m}^2\text{K}$

Iz rezultata vidimo, da je izračunani koeficient bistveno manjši od dovoljenega. Ta rezultat nam pove, da smo ustrezno obdelali glavne konstrukcijske sklope.

11.0 REZULTATI

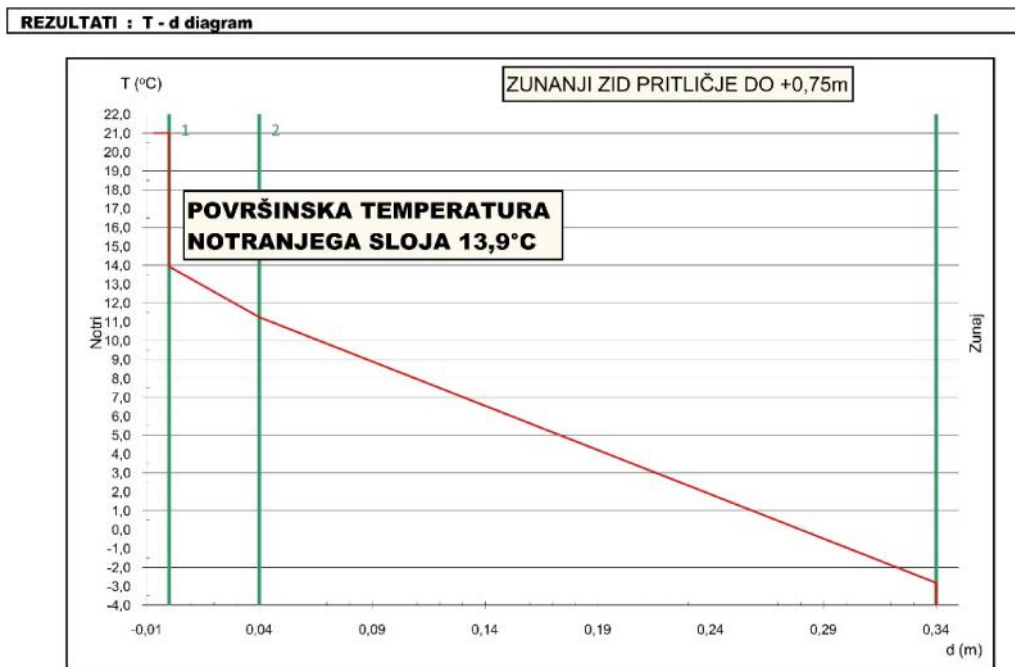
Pri meritvah pritli ja sem opazil, da površinska temperatura po steni naraš a od tal proti stropu in da je nižja v bližini oken. Na nekaterih delih sten sem praviloma izmeril vedno nižjo površinsko temperaturo kot po celotni steni. V teh delih sten se pojavljajo obmoja plesni, ki so posledica nizke površinske temperature in difuzije vodne pare, ki sta dva od pogojev za kondenzacijo in posledi no nastanek plesni. Opazil sem, da je na teh delih veja razlika med izmerjeno in izračunano površinsko temperaturo.

Slika 35: Slika plesni v delu zidu z nizko površinsko temperaturo (lasten vir, 2015)

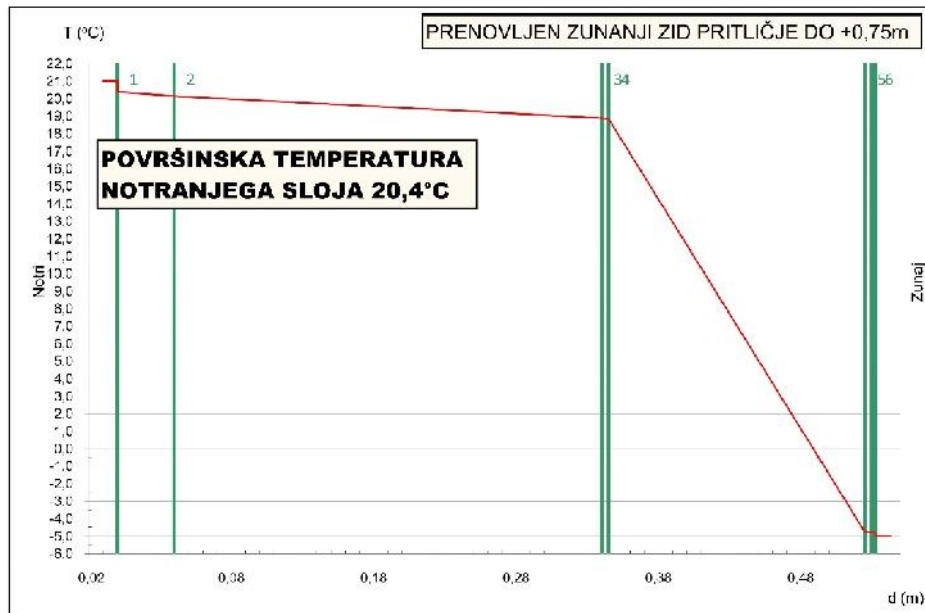


Ugotovil sem, da so meritve podobne v vseh prostorih. V spodnjem delu do višine 75 cm od tal imamo nižjo površinsko temperaturo, ker ni zunanjega fasadnega ometa. Od višine 75 cm od tal imamo nekoliko višjo površinsko temperaturo, ki je posledica zunanjega fasadnega ometa.

Grafikon 1: Potek temperature skozi sloje obstoje ega zidu v pritli ju do kote +0,75 m [6]

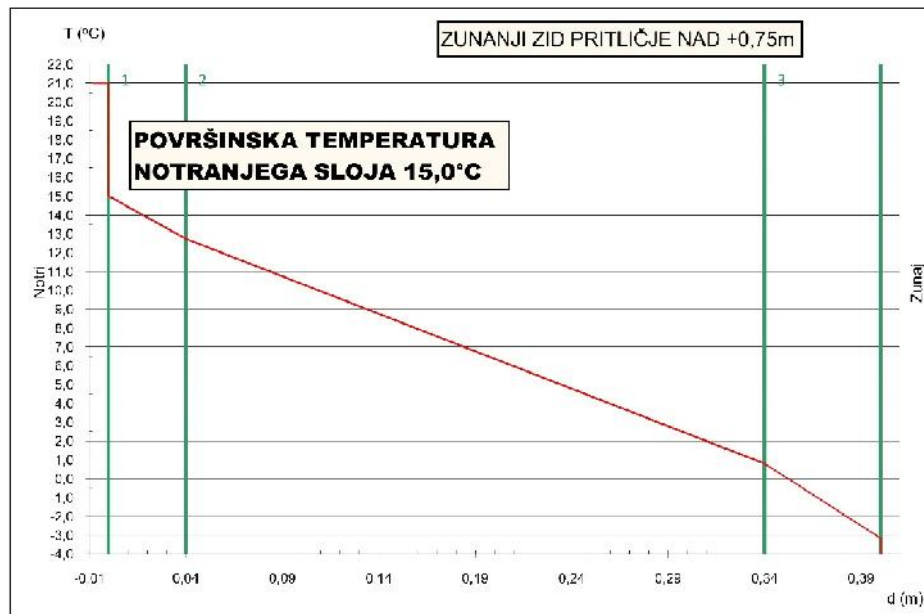


Grafikon 2: Potek temperature skozi sloje prenovljenega zidu v pritli ju do kote +0,75 m [6]

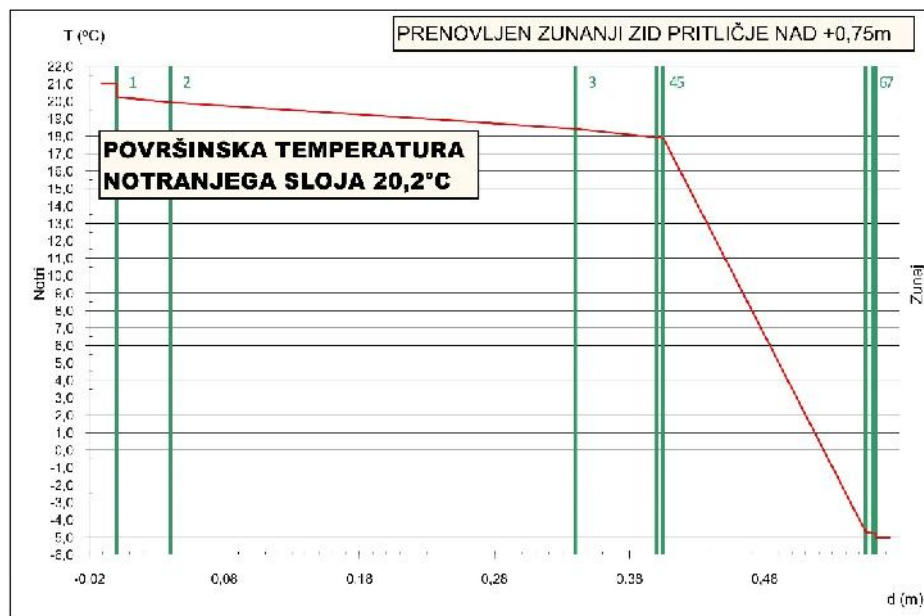


Iz zgornjih grafov vidimo, da je površinska temperatura obnovljenega konstrukcijskega sklopa notranjega sloja višja za 6,5 °C. Takšna površinska temperatura bistveno zmanjša možnost nastanka plesni in izboljša bivalne razmere.

Grafikon 3: Potek temperature skozi sloje obstoječega zidu v pritliju nad koto +0,75 m [6]

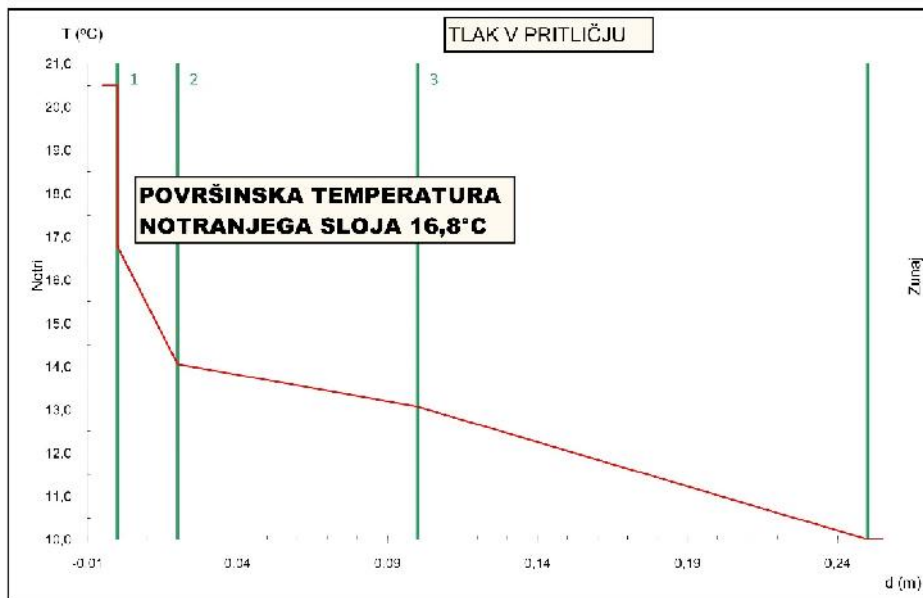


Grafikon 4: Potek temperature skozi sloje prenovljenega zidu v pritliju ju nad koto +0,75 m [6]

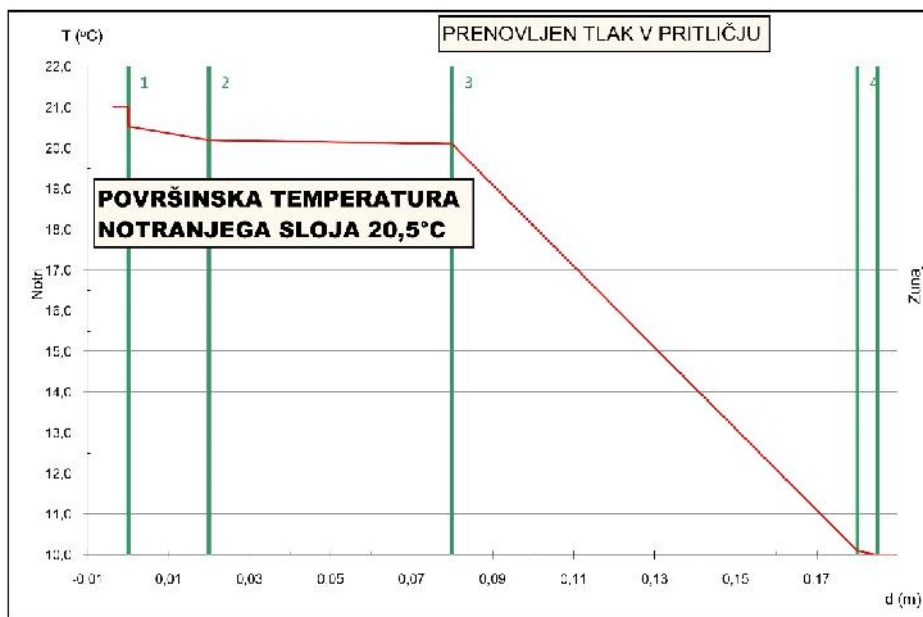


Iz zgornjih grafov vidimo, da je tudi v delu stene z obstoječim zunanjim ometom površinska temperatura notranjega sloja obnovljenega konstrukcijskega sklopa višja za 5,2 °C. Tako dobimo enotno površinsko temperaturo notranjega sloja po celotni višini zidu.

Grafikon 5: Potek temperature skozi sloje obstoječega tlaka v pritličju [6]

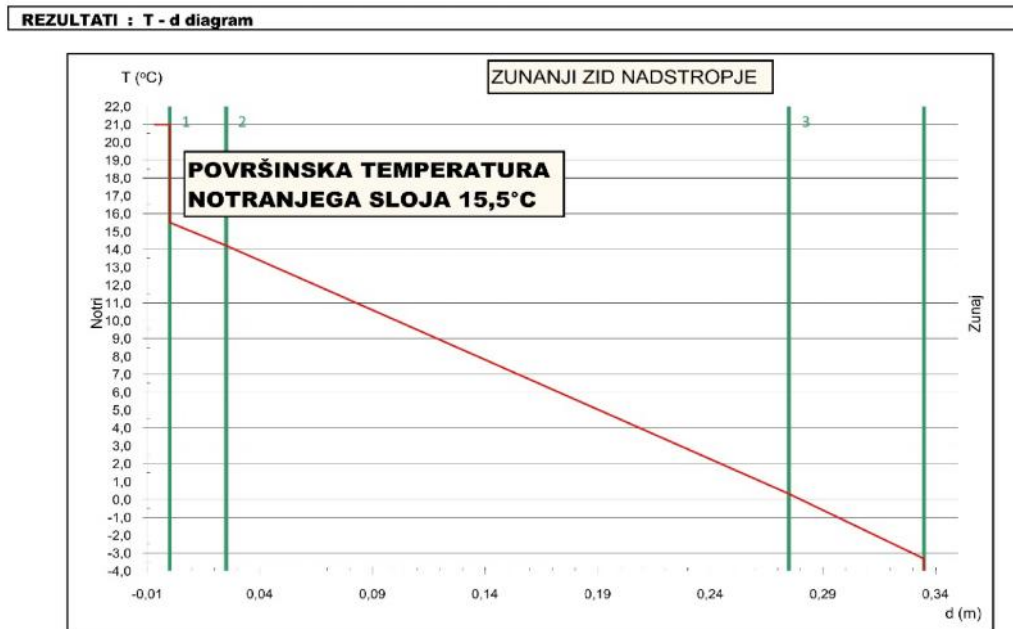


Grafikon 6: Potek temperature skozi sloje prenovljenega tlaka v pritličju [6]

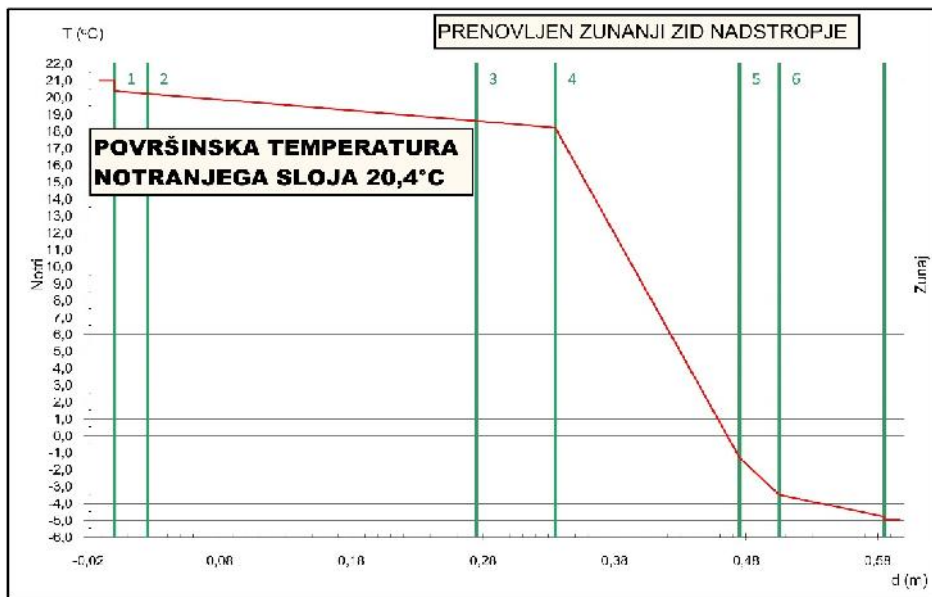


Pri meritvah površinske temperature tal je bilo opaziti, da je površinska temperatura finalne obloge padala proti zunanji steni. Izmerjeni podatki niso povsem relevantni, ker to na sestava tlaka ni natan no znana. Vseeno je od približka sestave tal in prenovljene sestave tal velika razlika v površinski temperaturi finalnega sloja za $3,7^{\circ}\text{C}$. S prenovljeno sestavo in rešenim toplotnim mostom na stiku s steno dobimo po celotni površini enakomerno površinsko temperaturo.

Grafikon 7: Potek temperature skozi sloje obstoje ega zidu v nadstropju [6]

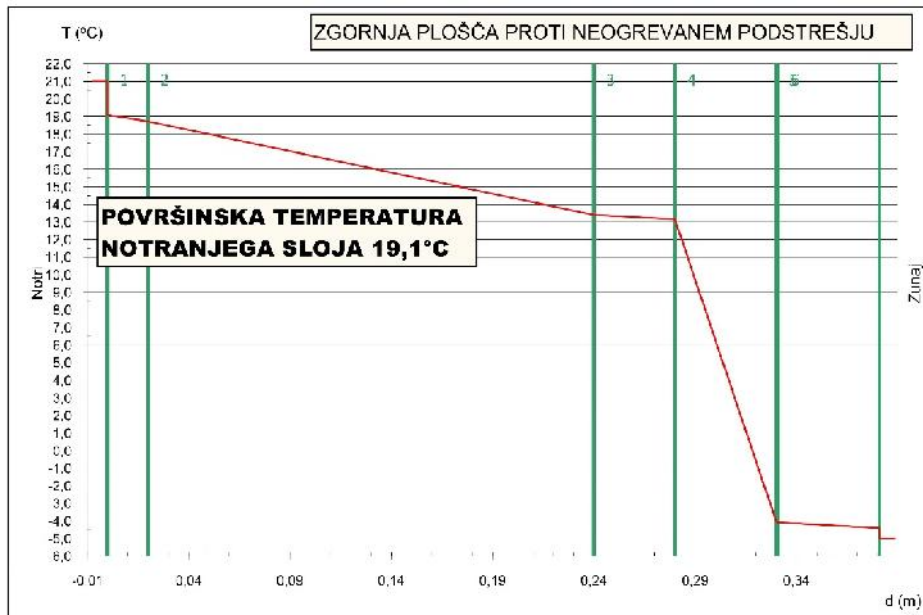


Grafikon 8: Potek temperature skozi sloje prenovljenega zidu v nadstropju [6]

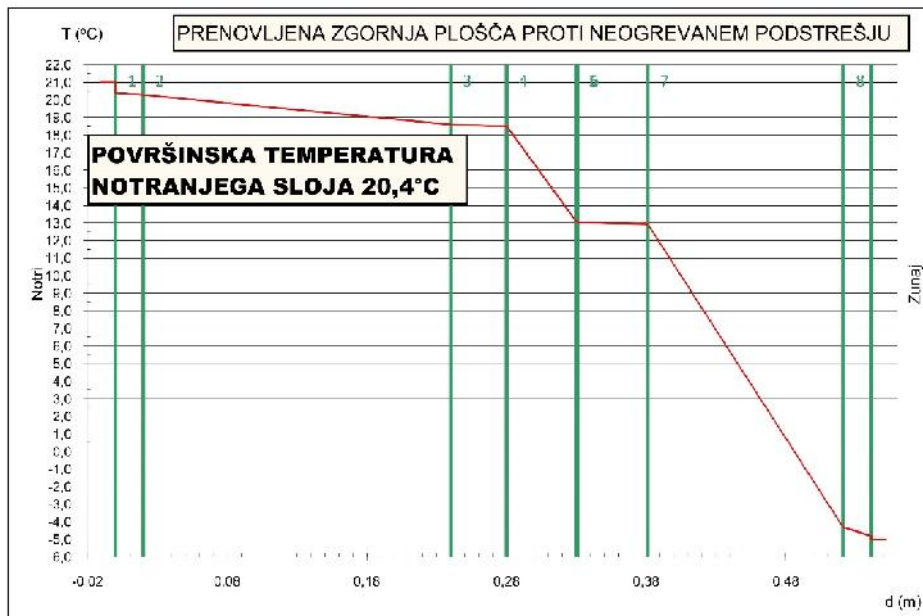


Pri meritvah nadstropja sem opazil, da površinska temperatura po višini stene ostaja konstantna. Manjša je le v okolini oken, kar je rezultat slabe kakovosti oken. Iz zgornjih grafov vidimo, da je tudi v delu stene z obstoje im zunanjim ometom površinska temperatura notranjega sloja obnovljenega konstrukcijskega sklopa višja za 4,9 °C.

Grafikon 9: Potek temperature skozi sloje obstoječe stropne plošče proti neogrevanemu podstrešju [6]



Grafikon 10: Potek temperature skozi sloje prenovljene stropne plošče proti neogrevanemu podstrešju [6]



Bistveno pri izolaciji ovoja je dobro izoliran strop oziroma zadnji sklop, ki meji na zunanjost. Topel zrak se giblje navzgor, zato skozi slabo izoliran strop ali streho izgubimo veliko temperature. Iz grafov lahko razberemo, da je površinska temperatura ometa na stropu, ki meji na neogrevano podstrešje za $1,3^{\circ}\text{C}$, manjša, kot bi bila pri obnovljeni stropni konstrukciji.

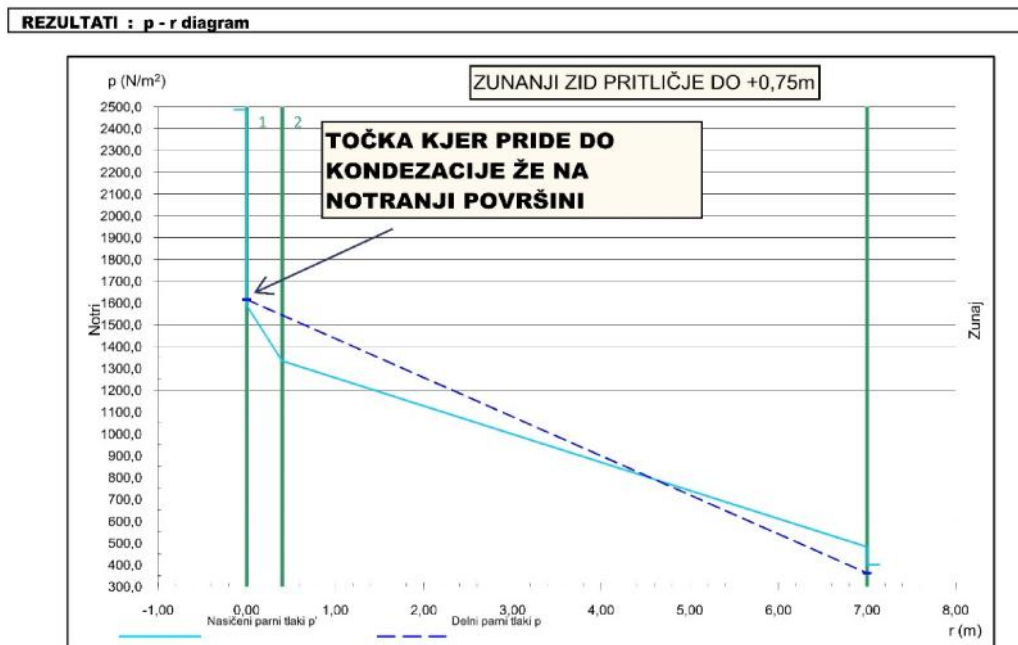
Preglednica 73: Primerjava H'_T obstoje ega in prenovljenega stanja z maksimalnim dovoljenim [6]

	IZRA UNAN H'_T OBSTOJE E STANJE	IZRA UNAN H'_T PRENOVLJENO STANJE	NAJVE JI DOVOLJEN
KOEFICIENT SPECIFI NIH TRANSMISIJSKIH TOPLOTNIH IZGUB STAVBE H'_T	1,38	0,37	0,38

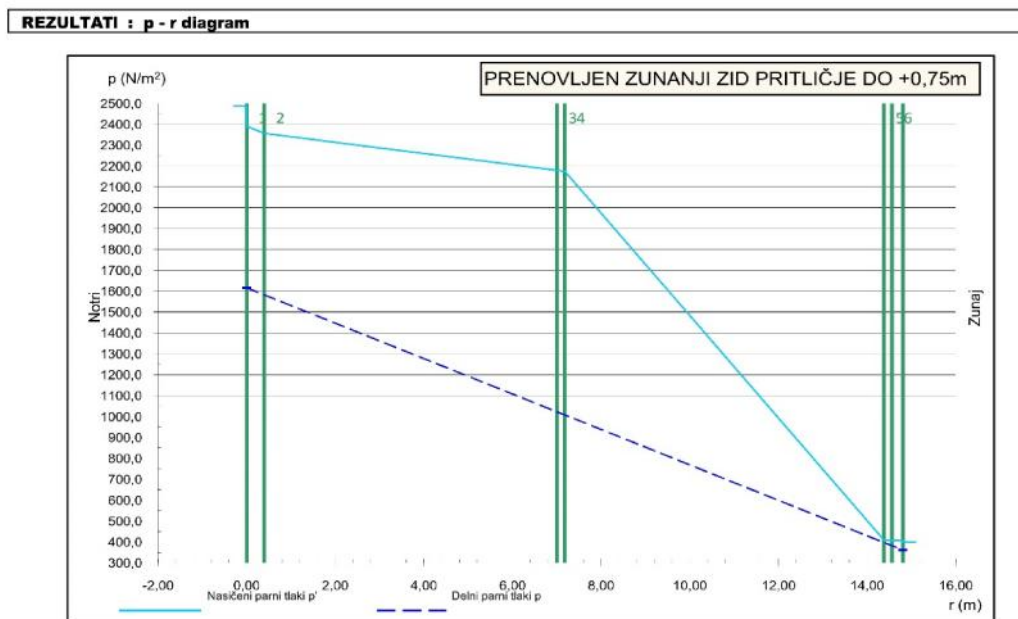
Iz rezultatov transmisijskih izgub objekta obстоje ega stanja in stanja, ki bi ga pridobili z obdelavo glavnih zunanjih konstrukcijskih sklopov, lahko razberemo, da bi imela stavba za ve kot 70 % manjši prehod toplove skozi ovoj stavbe.

Pomembna kontrola je tudi difuzija vodne pare, predvsem v zimskem asu. Zaradi difuzije vodne pare lahko pride do kondenzacije v posameznih plasteh konstrukcijskega sklopa, kar poslabša topotno prevodnost materiala ali pa celo poškoduje konstrukcijski sklop. Pri mojem obstoje em objektu je najve ja težava zidu do kote 0,75 m v pritli ju. Tu nastaja kondenz na notranji površini.

Grafikon 11: Graf parnih tlakov obstoječega zidu v pritliju do kote +0,75 m [6]



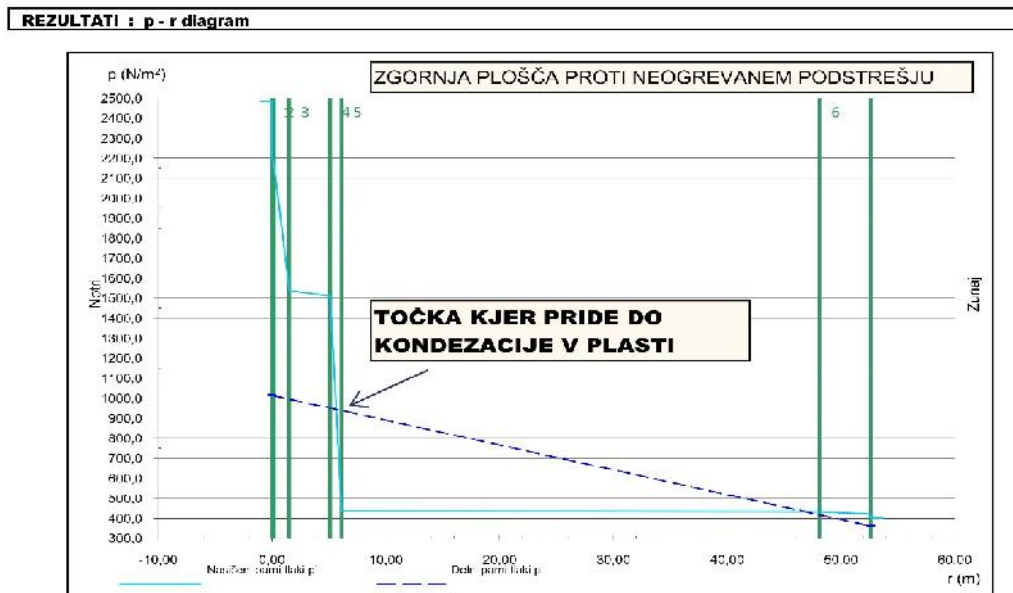
Grafikon 12: Graf parnih tlakov prenovljenega zidu v pritliju do kote +0,75 m [6]



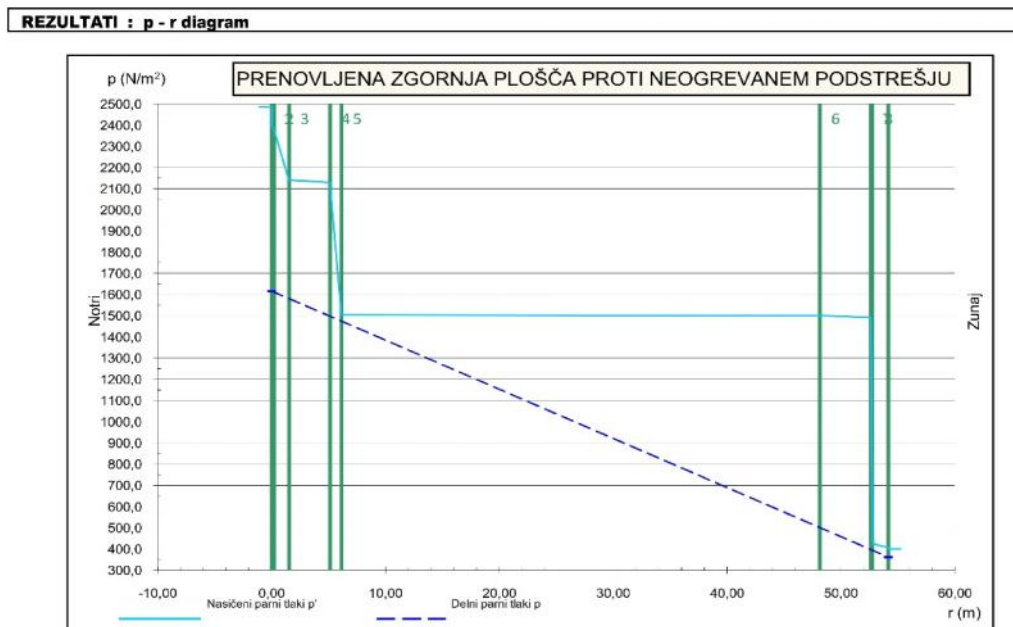
Iz zgornjega grafa lahko razberemo, da nasičen parni tlak ne pada pod mejo delnega parnega tlaka in tako ne pride do kondenzacije.

V ostalih obstoječih konstrukcijskih sklopih prihaja do kondenzacije v slojih na zunanji strani, kjer lahko določimo koliko ino kondenzirane vodne pare in potreben je čas za izsušitev. Največji problem je zgornja obloga a plošča proti neogrevanemu podstrešju, ki za izsušitev kondenzirane vode potrebuje 54 dni, kar je sicer še vedno pod mejo 60 dni.

Grafikon 13: Graf parnih tlakov obstoječe zgornje plošče proti neogrevanemu podstrešju [6]



Grafikon 14: Graf parnih tlakov prenovljene plošče proti neogrevanemu podstrešju [6]

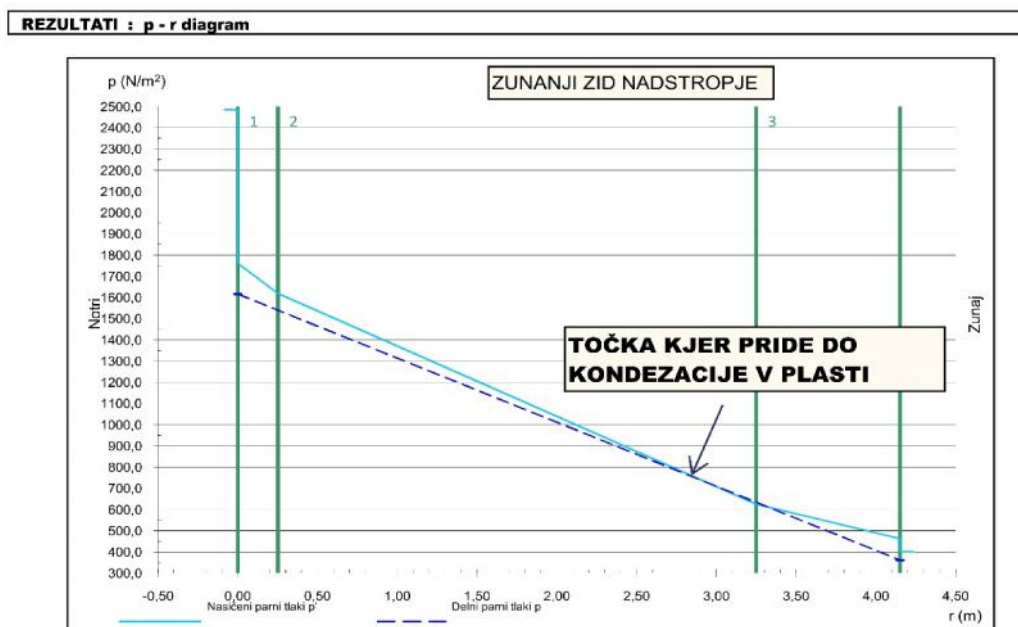


Iz zgornjega grafa lahko razberemo, da nasičen parni tlak ne pada pod mejo delnega parnega tlaka in tako ne pride do kondenzacije.

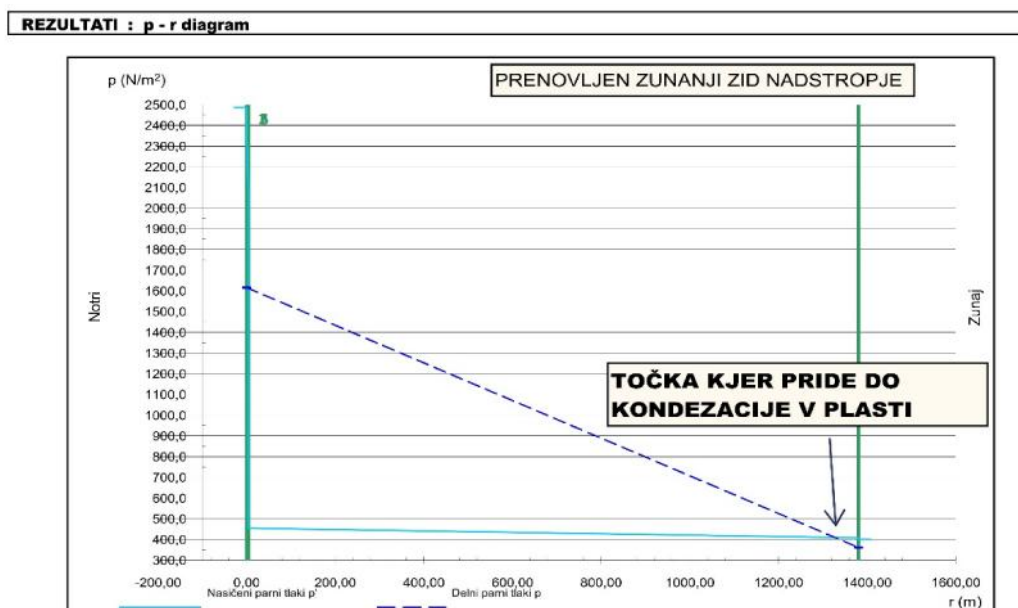
Izrednega pomena pri obnovi konstrukcijskih sklopov, kjer imamo več slojne konstrukcije, je pomemben vrstni red slojev. Tu pazimo na tako imenovano »dihanje stene«, kar pomeni, da omogočimo difuzijo vodne pare iz prostora v zunanjost in s tem zaščitimo konstrukcijski sklop pred prevelikim navlaževanjem in posledicami notranje kondenzacije, ki povzroči nezaželeno rast gliv in plesni.

V nadstropju imamo obstoje konstrukcijski sklop zunanje stene, v katerem nastane kondenz v zunanjem sloju fasadnega ometa, as potreben za izsušitev kondenzirane vode pa je 1 dan. Pri prenovljenem konstrukcijskem sklopu zunanjega zidu imamo kondenzacijo, ki nastane v zunanjem delu toplotne izolacije. Ker smo izbrali prezračevano fasado z zrnikom kanalom, ta poskrbi, da se kondenzirana vlaga posuši in tako ne vpliva na poslabšanje lastnosti toplotne izolacije.

Grafikon 15: Graf parnih tlakov obstoječega zunanjega zidu v nadstropju [6]



Grafikon 16: Graf parnih tlakov obnovljenega zunanjega zidu v nadstropju [6]



12. ZAKLJUČEK

Diplomsko delo sem zastavil tako, da sem za el z meritvami parametrov notranje klime obravnavanega obstoje ega objekta. Že prve meritve površinske temperature konstrukcijskih sklopov zunanjega ovoja so pokazale, da so vrednosti pri akovano nizke, saj stavba nima dodatne topotne izolacije, temve samo nosilno zidovje iz opeke in naravnega kamna z enostranskim ali obojestranskim ometom. Tekom izvajanja meritev sem ugotovili, da so površinske temperature na delih, kjer so vidne rne lise plesni, še dodatno nižje kot na ostalih delih ovoja. Za vsako meritev sem s pomočjo raunalniškega programa TEDI [5] izraunal prehod temperature skozi sloje glavnih konstrukcijskih sklopov in jih primerjal z rezultati, dobljenimi s pomočjo meritev na objektu. Raunski rezultati se v primerjavi z meritvami razlikujejo v redu velikosti do največ 3 °C, v povprečju precej manj. Razlika je lahko posledica tolerance meritne naprave, nehomogene sestave materialov, vpliva bo nih prenosov topote, napačne nastavitev ali upoštevanja vrednosti emisivnosti notranjih površin in posledi nega zaznavanja meritnega inštrumenta, enakomernega odmika meritne naprave od meritne površine. Razlika lahko nastane tudi zaradi izmerjene trenutne temperature notranjega zraka, ki sem jo uporabil pri izračunu. Izmerjena notranja temperatura je lahko bila nižja zaradi zračenja tik pred meritvami, dejanska pa je bila večja preko dneva, zato bi lahko imeli stene drugačno površinsko temperaturo, kot pa sem jo izračunal s programom. Pri analizi celotne potrebne energije za obratovanje stavbe sem se osredotočil samo na pogoj o transmisijskih izgubah skozi ovoj stavbe, ki sem ga izračunal s programom TOST [6]. Za celotno analizo, ki jo določa pravilnik o uinkovitih rabi energije v stavbah [24], bi bilo potrebno določiti potrebno energijo po ogrevanju, hlajenju, pripravi sanitarnih voda in razsvetljavi notranjih prostorov, vendar to ni bil cilj diplomske naloge. Izračunan koeficient specifičnih transmisijskih izgub znaša kar 1,38, kar je veliko več od maksimalne dovoljene vrednosti 0,38. Ta podatek je potrdil, da je glavna prioriteta obnova topotnega ovoja stavbe. Glavne konstrukcijske sklope sem poskušal izboljšati tako, da sem dodajal topotno izolacijo do te mere, da sem prišel minimalno pod mejo dovoljenih vrednosti topotnega prehoda za posamezne konstrukcijske sklope, ki jih določa TSG-1-004:2010 [23]. Topotno prehodnost obnovljenih sklopov sem ponovno izračunal s programom TEDI [5] in dobljene rezultate primerjal z obstoječim stanjem. Površinske temperature notranjih slojev so v primerih prenovljenih konstrukcijskih sklopov bistveno višje. Stena v pritličju do kote +0,75 m ima po izračunu v skladu s predvideno sanacijo površinsko temperaturo višjo za 6,5 °C, stena v pritličju nad kote +0,75 m za 5,2 °C, stena v nadstropju za 4,9 °C, tla na terenu v pritličju za 3,7 °C, strop proti neogrevanemu podstrešju pa ima površinsko temperaturo večjo za 1,3 °C. S tem sem potrdil znano in pričakovano dejstvo, da imajo izolirane stene, tla in strop večjo površinsko temperaturo slojev kot neizolirane, kar ima bistven vpliv na obuteno temperaturo

v prostoru. Če poveamo površinsko temperaturo notranjih slojev za 1 °C, lahko za isto ob uteno temperaturo v prostoru zrak prostora segrejemo za 1 °C manj, kar vpliva na bivalne razmere in na zmanjšanje porabe energije za ogrevanje. V ponovnem izračunu specifičnih transmisijskih izgub s programom TOST [6] sem dobil potrditev, saj je izračunan koeficient specifičnih transmisijskih izgub 0,37, kar je manj od dovoljenega, ki znaša 0,38. Neizolirane stene skrivajo mnoge težave, ki nam slabšajo kakovost bivanja z občasno ali stalno prisotnostjo vlage (nabiranje kondenza), rastjo plesni, lišajev na zidovih in povzročajo poškodbe v obliki odpadanja ometa. Dokaz je obravnavan primer, kjer smo na delih s prisotnostjo plesni dobili rezultate, ki potrjujejo njihov nastanek. Najhujša posledica neizoliranih sten je predvsem zdravju izredno škodljiva notranja klima.

Glavni cilji diplomske naloge so bili ugotoviti, ali se izmerjene vrednosti notranje klime razlikujejo od izračunanih in kakšen vpliv imajo na udobje bivanja. Ugotovil sem, da z obnovo zunanjega ovoja, ki ustreza predpisanim zahtevam v standardu, bistveno pridobimo na udobju bivanja in pri topotnih izgubah stavb, kar posledi vpliva na količino porabljenih energij za ogrevanje in ohlajevanje ter na končno varovanje z energijo in na varovanje okolja.

Uporabljeni viri:

- [1] Nemanic, K., 2011. Za višje subvencije za fasade; intervju s predsednikom gospodarsko interesnega združenja Bevk, D.
<http://www.knaufinsulation.si/sites/si.knaufinsulation.net/files/za-visje-subvencije-zafasade.pdf> (Pridobljeno 4. 4. 2015.)
- [2] Dovjak, M., Kukec, A., Krainer, A. 2013. Prepoznavanje in obvladovanje dejavnikov tveganja za zdravje v bolnišni nem okolju z vidika uporabnika, stavbe in sistemov = Identification and control of health risks in hospital environment from the aspects of users, buildings and systems. *Zdravstveno varstvo*, 52, 4: 304-315.
- [3] ENSVET energetsko svetovanje, 2013. Toplotna zaščita zunanjih sten.
<http://energetskaizkaznica.si/nasveti/toplotna-zascita-zunanjih-sten/> (Pridobljeno 4. 4. 2015.)
- [4] Krainer, A., Košir, M., Krist, Ž, Dovjak, M. 2008. Pasivna hiša proti bioklimatski hiši = Passive house versus bioclimatic house. *Gradbeni vestnik*, 57, 3: 58-68.
- [5] Krainer, Predan. 2009. Raunalniški program (TEDI) za analizo toplotnega prehoda, toplotne stabilnosti in difuzije vodne pare skozi veplastne KS. Ljubljana, Univerza v Ljubljani-FGG.
- [6] Krainer, Predan. 2009. Raunalniški program (TOST) za izračun podatkov, potrebnih za konceptno poročilo oziroma dokaz o ustreznosti toplotne zaščite stavbe. Ljubljana, Univerza v Ljubljani-FGG.
- [7] Kladnik, R. 1985. Visokošolska fizika 1. del, Mehanski in toplotni pojavi. Ljubljana DZS.
- [8] Stavbarstvo OG. 2009. Toplotna prehodnost in difuzija vodne pare. Ljubljana, Univerza v Ljubljani-FGG, Katedra za stavbe in konstrukcijske elemente.
<ftp://www.fgg.uni-lj.si/Sendable/Patricia/STAVBARSTVO/Stavbarstvo%20II%202009-10/%8Eva%20Teorija%20PDFji/3toplotna%20prehodnost%20in%20difuzija%20vodne%20pare.pdf> (Pridobljeno 4. 4. 2015.)
- [9] Stavbarstvo OG. 2009. Toplotna prehodnost in difuzija vodne pare. Ljubljana, Univerza v Ljubljani-FGG, Katedra za stavbe in konstrukcijske elemente.
<ftp://ftp.fgg.uni-lj.si/Sendable/Patricia/STAVBARSTVO/Stavbarstvo%20II%202009-10/Krainer%20Staro%20stavbarstvo/Stavbarstvo1/8%20difuzija%20toplote%20in%20vodne%20pare.pdf> (Pridobljeno 4. 4. 2015.)
- [10] Evans, G. W., & McCoy, J. M. 1998. When building don't work: The role of architecture in human health. *Journal of Environmental Psychology*
<http://citeseerx.ist.psu.edu/viewdoc/download?doi=10.1.1.4.5633&rep=rep1&type=pdf>
- [11] Simoni, M., Jaakkola, M.S., Carrozza, L., Baldacci, S., Di Pede, F., Viegi, G. 2013. Indoor air pollution and respiratory health in the elderly. *European Respiratory Journal*.
<doi: 10.1183/09031936.03.00403603>
http://erj.ersjournals.com/content/21/40_suppl/15s.full.pdf+html

- [12] Grobovšek, B. b.d. Izpodrivno prezra evanje prostorov. ZRMK.
http://gcs.gi-zrmk.si/Svetovanje/Clanki/Grobovsek/PT153.htm#_ftnref1
(Pridobljeno 4. 4. 2015.)
- [13] Pravilnik o prezra evanju in klimatizaciji stavb. Uradni list RS, št. 42/2002.
- [14] Kravanja, D. 2013. Prezentacija Udobje in energija. ZRMK.
<http://ekosola.si/uploads/2010-08/KONFERENCA%20EKO%20SOL%20BRDO%2023%209%202013.pdf>
(Pridobljeno 31. 5. 2015.)
- [15] Prek, M. 2013. Toplotno okolje in ugodje v prostoru III; predloga laboratorijske vaje. Univerza v Ljubljani-FGG, Laboratorij za ogrevalno, sanitarno in solarno tehniko ter klimatizacijo.
- [16] Dovjak, M. 2015. Prezentacija Toplotno udobje. Ljubljana, Univerza v Ljubljani-FGG, Katedra za stavbe in konstrukcijske elemente.
- [17] SIST EN ISO 7730:2005 Ergonomija toplotnega okolja - Analitično ugotavljanje in interpretacija toplotnega ugodja z izra unom PMV in PPD vrednosti ter merili za lokalno toplotno ugodje
- [18] Prek, M. 2013. Toplotno okolje in ugodje v prostoru II; Lokalno neugodje; predloga laboratorijske vaje. Univerza v Ljubljani-FGG, Laboratorij za ogrevalno, sanitarno in solarno tehniko ter klimatizacijo.
- [19] SIST EN ISO 10211:2008; Toplotni mostovi v stavbah - Toplotni tokovi in površinske temperature - Podrobni izra uni (ISO 10211:2007)
- [20] SIST 1025:2002; Toplotna tehnika v gradbeništvu - Metoda izra una difuzije vodne pare v stavbah
- [21] SIST EN ISO 6946:2008; Gradbene komponente in gradbeni elementi - Toplotna upornost in toplotna prehodnost - Ra unske metode (ISO 6946:2007)
- [22] SIST 13790:2008; Energiskske lastnosti stavb - Ra un rabe energije za ogrevanje in hlajenje prostorov (ISO 13790:2008)
- [23] Tehnična smernica za graditev TSG-1-004:2010. U inkovita raba energije. Ministrstvo za okolje in prostor.
- [24] Pravilnik o u inkoviti rabi energije v stavbah. Uradni list RS št. 52/2010.
- [25] Slika meritne naprave VOLTCRAFT Infrarot-Thermometer IR 900-30S
http://www.produktinfo.conrad.com/datenblaetter/100000-124999/100920-an-01-sl-IR_900_30S.pdf (Pridobljeno 17. 5. 2015.)
- [26] Navodila za uporabo VOLTCRAFT Infrarot-Thermometer IR 900-30S
http://www.produktinfo.conrad.com/datenblaetter/100000-124999/100920-an-01-sl-IR_900_30S.pdf (Pridobljeno 17. 5. 2015.)
- [27] Slika meritne naprave VOLTCRAFT DT 8820

<http://www.conrad.com/ce/en/product/101040/Voltcraft-DT-8820-Multifunctional-Environment-Measuring-Instrument-4-in-1> (Pridobljeno 17. 5. 2015.)

[28] Navodila za uporabo VOLTCRAFT DT 8820

<http://www.produktinfo.conrad.com/datenblaetter/100000-124999/101040-an-01-sl-mulfunkcijskimerilnik.pdf> (Pridobljeno 17. 5. 2015.)

[29] Pajek, L., Dovjak, M., Kristl, Ž. 2013. Vpliv gliv v grajenem okolju na zdravje ljudi. *Gradbeni vestnik*, 62, 176-187.

[30] DEMIT d.o.o. 2012. Navodila za na rtovanje, vgradnjo in vzdrževanje fasadnih sistemov DEMIT. Laško.

http://www.demit.si/images/stories/navodila_za_vgradnjo/NAVODILA%20za%20nacrtovanje,%20vgradnjo%20in%20vzdrzevanje%20fasadnih%20sistemov%20DEMIT.pdf
(Pridobljeno 24. 3. 2015.)

[31] Knauf insulation. 2015.

<http://www.knaufinsulation.si/proizvodi-0> (Pridobljeno 5. 9. 2015.)

[32] FunderMAX. 2015.

<https://www.fundermax.at/en/exterior.html> (Pridobljeno 5. 9. 2015)

[33] Fragmat. b.d.

<http://www.fragmat.si/slo/04b.htm> (Pridobljeno 5. 9. 2015)

[34] Eko Produkt materiali za ekološko gradnjo. b.d.

<http://www.ekoprodukt.si/osb-plosce-prva-stran.html> (Pridobljeno 5. 9. 2015.)

[35] Krainer, Predan. 2009. Navodila za uporabo raunalniškega programa (TEDI) za analizo toplotnega prehoda, toplotne stabilnosti in difuzije vodne pare skozi ve plastne KS. Ljubljana, Univerza v Ljubljani-FGG.

[36] Krainer, Predan. 2009. Navodila za uporabo raunalniškega programa (TOST) za izraun podatkov, potrebnih za končno poročilo ozziroma dokaz o ustreznosti toplotne zašite stavbe. Ljubljana, Univerza v Ljubljani-FGG.

PRILOGE

13.1 ARHITEKTURA-TLORIS PRITLI JA

13.2 ARHITEKTURA –TLORIS NADSTROPJA

13.3 ARHITEKTURA –FASADNI PAS